

Universidad de **Cádiz**

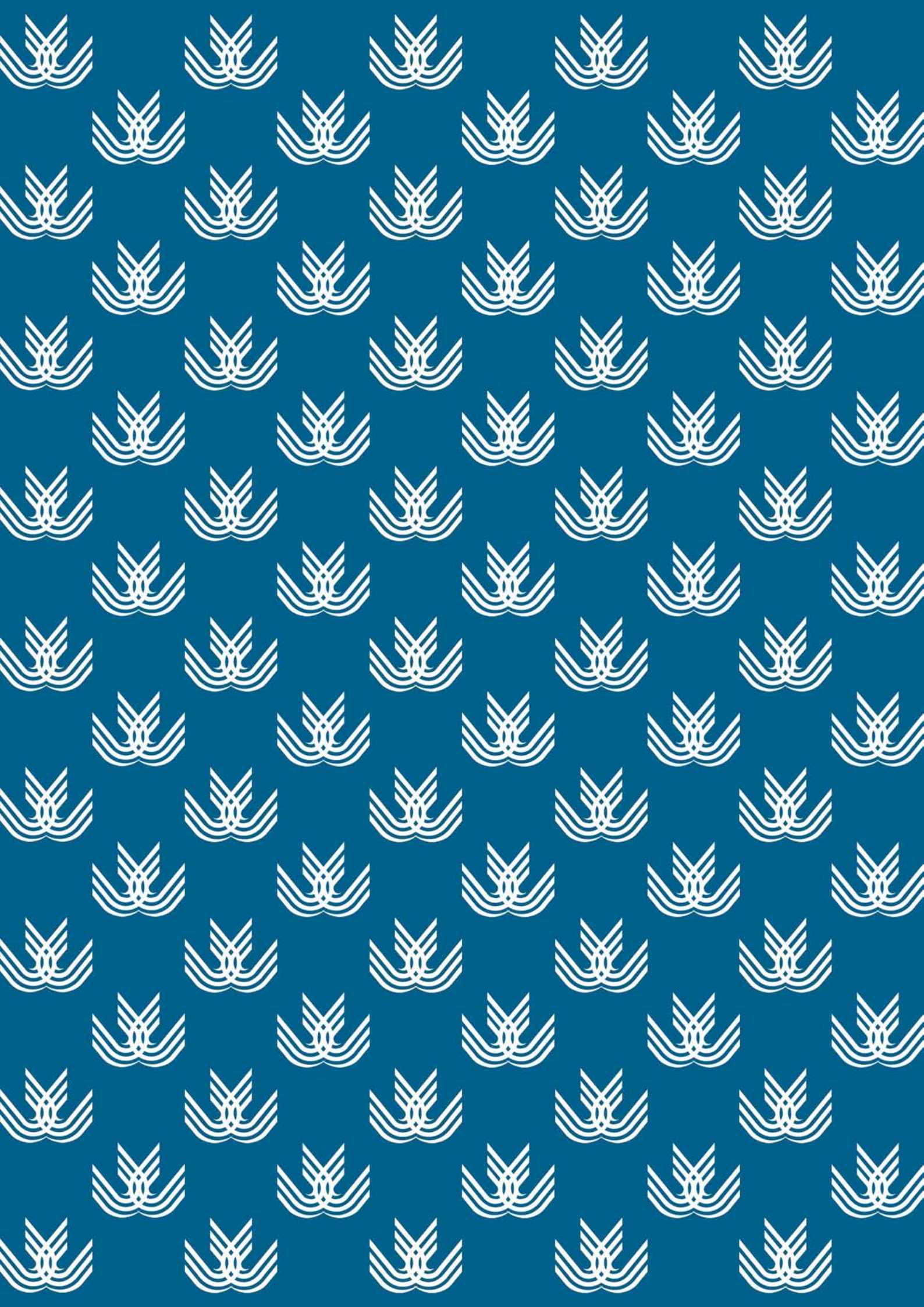
Proyectos de fin de carrera de **Ingeniería Técnica Naval**

DISEÑO DEL SISTEMA DE TRANSMISIÓN DE POTENCIA DE UN BUQUE ROPAX CON PROPULSIÓN CODAD (4 MOTORES DE 3360 BKW, 2 LÍNEAS DE EJES, 21 NUDOS Y 2500 TONELADAS DE DESPLAZAMIENTO).

Juan Antonio RODRÍGUEZ CASTAÑO



Centro: **E. U. I. T. NAVAL**
Titulación: **I. T. NAVAL**
Fecha: **Octubre 2011**



AVISO IMPORTANTE:

El único responsable del contenido de este proyecto es el alumno que lo ha realizado.

La Universidad de Cádiz, La Escuela Universitaria de Ingeniería Técnica Naval, los Departamentos a los que pertenecen el profesor tutor y los miembros del Tribunal de Proyectos Fin de Carrera así como el mismo profesor tutor **NO SON RESPONSABLES DEL CONTENIDO DE ESTE PROYECTO.**

Los proyectos fin de carrera pueden contener errores detectados por el Tribunal de Proyectos Fin de Carrera y que estos no hayan sido implementados o corregidos en la versión aquí expuesta.

La calificación de los proyectos fin de carrera puede variar desde el aprobado (5) hasta la matrícula de honor (10), por lo que el tipo y número de errores que contienen puede ser muy diferentes de un proyecto a otro.

Este proyecto fin de carrera está redactado y elaborado con una finalidad académica y nunca se deberá hacer uso profesional del mismo, ya que puede contener errores que podrían poner en peligro vidas humanas.

Fdo. La Comisión de Proyectos de Fin de Carrera
Escuela Universitaria de Ingeniería Técnica Naval
Universidad de Cádiz

DISEÑO DEL SISTEMA DE TRANSMISIÓN DE POTENCIA DE UN BUQUE ROPAX CON PROPULSIÓN CODAD (4 MOTORES DE 3360 BKW, 2 LÍNEAS DE EJES, 21 NUDOS Y 2500 TONS DE DESPLAZAMIENTO)

ÍNDICE

| | | |
|--------------------|---|-----------|
| CAPÍTULO 1. | INTRODUCCIÓN..... | 1 |
| 1.1. | DEFINICIÓN DE RO-PAX | 1 |
| 1.2. | OBJETO DEL PROYECTO..... | 2 |
| 1.3. | REFERENCIAS TÉCNICAS DE LA PLATAFORMA | 3 |
| 1.4. | SOCIEDAD DE CLASIFICACIÓN | 4 |
| CAPÍTULO 2. | DATOS FUNCIONALES DE DISEÑO | 5 |
| 2.1. | REFERENCIAS DE EQUIPOS Y ELEMENTOS MECÁNICOS | 5 |
| 2.1.1. | <i>Motores propulsores</i> | <i>5</i> |
| 2.1.2. | <i>Reductor.....</i> | <i>8</i> |
| 2.1.3. | <i>Líneas de ejes.....</i> | <i>10</i> |
| 2.1.4. | <i>Acoplamientos.....</i> | <i>11</i> |
| 2.1.5. | <i>Cojinetes de apoyo de los ejes</i> | <i>11</i> |
| 2.1.6. | <i>Sellos del tubo de bocina.....</i> | <i>11</i> |
| 2.1.7. | <i>Pasamamparo estanco del eje.....</i> | <i>11</i> |
| 2.1.8. | <i>Tubo de Bocina</i> | <i>11</i> |
| 2.1.9. | <i>Hélice</i> | <i>12</i> |
| 2.1.10. | <i>Cálculo curva de potencia</i> | <i>12</i> |
| CAPÍTULO 3. | DIÁMETRO DEL EJE POR CÁLCULO DIRECTO | 17 |
| 3.1. | CÁLCULO MOMENTO TORSOR | 17 |
| 3.2. | TENSIÓN CORTANTE MÁXIMA..... | 18 |
| 3.3. | DIÁMETRO EXTERIOR DEL EJE | 18 |
| 3.4. | REGLA DEL 30% (σ_{ELAST}) Ó 18% ($\sigma_{MÁX.}$)..... | 18 |
| 3.5. | MOMENTO FLECTOR..... | 19 |
| 3.6. | PESO DEL EJE POR METRO LINEAL | 19 |
| 3.7. | DISTANCIA ENTRE APOYOS DEL EJE..... | 20 |
| CAPÍTULO 4. | DIMENSIONAMIENTO DE LA LÍNEA DE EJES POR LA LLOYD'S NAVAL | 23 |

DISEÑO DEL SISTEMA DE TRANSMISIÓN DE POTENCIA DE UN BUQUE ROPAX CON PROPULSIÓN CODAD (4 MOTORES DE 3360 BKW, 2 LÍNEAS DE EJES, 21 NUDOS Y 2500 TONS DE DESPLAZAMIENTO)

ÍNDICE

| | | |
|--------------------|--|-----------|
| 4.1. | DATOS DE PARTIDA | 23 |
| 4.2. | CÁLCULO DEL DIÁMETRO MÍNIMO EXTERIOR DE LOS EJES | 24 |
| 4.3. | COMPROBACIÓN DE LOS DIÁMETROS FINALES..... | 25 |
| CAPÍTULO 5. | SEPARACIÓN MÁXIMA ENTRE APOYOS DE LOS EJES..... | 29 |
| 5.1. | SEPARACIÓN MÁXIMA ENTRE APOYOS | 29 |
| 5.1.1. | <i>Cálculo de la distancia máxima del eje de proa</i> | <i>31</i> |
| 5.1.2. | <i>Cálculo de la distancia máxima del eje intermedio</i> | <i>31</i> |
| 5.1.3. | <i>Cálculo de la distancia máxima del eje de cola.....</i> | <i>31</i> |
| 5.2. | SITUACIÓN DE LOS APOYOS | 32 |
| 5.3. | COMPROBACIÓN DISTANCIA FINAL | 32 |
| 5.3.1. | <i>Requisitos de vibración de Whirling</i> | <i>33</i> |
| 5.3.2. | <i>Tensión combinada del acero del eje.....</i> | <i>33</i> |
| 5.4. | COMPROBACIÓN DE LA FRECUENCIA NATURAL A TRAVÉS DE BUREAU VERITAS | 36 |
| 5.5. | CÁLCULO DE VIBRACIÓN AXIAL POR LLOYD'S REGISTER..... | 38 |
| CAPÍTULO 6. | CÁLCULO DE LAS UNIONES DE LOS EJES DE LA TRANSMISIÓN | 43 |
| 6.1. | TIPOS DE ACOPLAMIENTOS | 44 |
| 6.1.1. | <i>Acoplamientos Rígidos.....</i> | <i>44</i> |
| 6.1.2. | <i>Acoplamientos flexibles.....</i> | <i>44</i> |
| 6.1.3. | <i>Acoplamientos torsioelásticos.....</i> | <i>45</i> |
| 6.2. | TIPOS DE UNIONES BASADAS EN EL EFECTO DE FORMA | 45 |
| 6.2.1. | <i>Unión Estriada.....</i> | <i>45</i> |
| 6.2.2. | <i>Por inserción de elementos de bloqueo.....</i> | <i>46</i> |
| 6.2.2.1. | Unión de bridas empernadas | 46 |
| 6.2.2.2. | Uniones de chavetas..... | 47 |
| 6.2.3. | <i>Por la acción de fuerzas de rozamiento</i> | <i>47</i> |
| 6.2.3.1. | Unión de interferencia..... | 47 |
| 6.2.3.2. | Unión de interferencia hidráulica..... | 48 |

DISEÑO DEL SISTEMA DE TRANSMISIÓN DE POTENCIA DE UN BUQUE ROPAX CON PROPULSIÓN CODAD (4 MOTORES DE 3360 BKW, 2 LÍNEAS DE EJES, 21 NUDOS Y 2500 TONS DE DESPLAZAMIENTO)

ÍNDICE

| | | |
|--------------------|--|-----------|
| 6.3. | SELECCIÓN DE LAS DISTINTAS UNIONES | 50 |
| 6.3.1. | <i>Unión eje/eje</i> | 51 |
| 6.3.1.1. | Tramo de proa a tramo intermedio | 51 |
| 6.3.1.2. | Tramo intermedio a tramo de cola | 52 |
| 6.3.2. | <i>Unión eje/reductor</i> | 52 |
| 6.3.3. | <i>Acoplamiento entre motor propulsor y reductor</i> | 53 |
| CAPÍTULO 7. | CÁLCULO DE LA UNIÓN EMPERNADA | 55 |
| 7.1. | DATOS DE LA BRIDA DEL REDUCTOR..... | 55 |
| 7.2. | DIMENSIONES DE LA ARANDELA SEGÚN ISO 7089 | 55 |
| 7.3. | DIMENSIONES DE LA TUERCA SEGÚN ISO 4032 | 56 |
| 7.4. | CÁLCULOS POR SOCIEDAD DE CLASIFICACIÓN | 57 |
| 7.4.1. | <i>Diámetro mínimo de los pernos</i> | 57 |
| 7.4.2. | <i>Espesor mínimo de la brida</i> | 58 |
| 7.5. | CÁLCULO DE LA LONGITUD TOTAL DEL PERNO | 58 |
| 7.6. | CÁLCULOS DIRECTOS..... | 60 |
| 7.6.1. | <i>Diámetro de los pernos de la brida</i> | 60 |
| 7.6.2. | <i>Espesor mínimo de la brida</i> | 63 |
| 7.6.2.1. | Análisis a esfuerzo cortante | 63 |
| 7.6.2.2. | Análisis a esfuerzo normal | 64 |
| CAPÍTULO 8. | CÁLCULO DE LA SITUACIÓN DE LOS APOYOS | 67 |
| 8.1. | DATOS DE PARTIDA PARA TRABAJAR CON SOFTWARE | 67 |
| 8.1.1. | <i>Cargas distribuidas por metro</i> | 68 |
| 8.1.1.1. | Acoplamientos | 68 |
| 8.1.1.2. | Tramo de ejes..... | 68 |
| 8.1.2. | <i>Cargas puntuales</i> | 68 |
| 8.1.3. | <i>Área de las secciones</i> | 68 |
| 8.1.3.1. | Segmentos de los ejes | 68 |
| 8.1.3.2. | Segmentos de los acoplamientos..... | 68 |

**DISEÑO DEL SISTEMA DE TRANSMISIÓN DE POTENCIA DE UN BUQUE ROPAX CON
PROPULSIÓN CODAD (4 MOTORES DE 3360 BKW, 2 LÍNEAS DE EJES, 21 NUDOS Y 2500
TONS DE DESPLAZAMIENTO)**

ÍNDICE

| | | |
|---|--|-----------|
| 8.1.4. | <i>Momento de inercia</i> | 69 |
| 8.1.4.1. | Segmentos de los ejes | 69 |
| 8.1.4.2. | Segmentos de los acoplamientos..... | 69 |
| 8.1.5. | <i>Módulo de elasticidad del acero (E)</i> | 69 |
| 8.1.6. | <i>Densidad del acero (ρ)</i> | 69 |
| 8.1.7. | <i>Distancia entre los apoyos</i> | 69 |
| 8.2. | DATOS OBTENIDO CON EL SOFTWARE..... | 70 |
| 8.2.1. | <i>Reacciones en los apoyos</i> | 71 |
| 8.2.2. | <i>Esfuerzos cortantes máximos y mínimos</i> | 72 |
| 8.2.3. | <i>Momentos máximos y mínimos</i> | 72 |
| 8.2.4. | <i>Flexión máxima y mínima</i> | 72 |
| 8.3. | COMPROBACIÓN POR CÁLCULO DIRECTO CON LOS DATOS OBTENIDOS | 72 |
| CAPÍTULO 9. ELECCIÓN DE LOS APOYOS Y SELLOS DE BOCINA..... | | 75 |
| 9.1. | APOYOS | 75 |
| 9.2. | CÁLCULO DE LOS COJINETES DE LOS APOYOS | 77 |
| 9.2.1. | <i>Cojinete del primer apoyo (popa del tubo de bocina)</i> | 79 |
| 9.2.2. | <i>Cojinete del segundo apoyo</i> | 79 |
| 9.2.3. | <i>Cojinete del tercer apoyo</i> | 80 |
| 9.2.4. | <i>Cojinete del cuarto apoyo (proa del tubo de bocina)</i> | 81 |
| 9.2.5. | <i>Cojinete del apoyo intermedio (cámara de máquinas)</i> | 81 |
| 9.3. | SELLOS DE BOCINA..... | 83 |
| 9.4. | PASAMAMPARO ESTANCO DEL EJE..... | 83 |
| BIBLIOGRAFIA | | 85 |
| SOFTWARE UTILIZADOS | | 85 |
| PÁGINAS WEB CONSULTADAS..... | | 85 |
| ANEXO | | 87 |

| | |
|--|----|
| Figura1. 1 Rampa de popa | 1 |
| Figura1. 2 Rampa de proa..... | 2 |
| Figura 2. 1 Dimensiones del motor | 6 |
| Tabla: 2.1 Dimensiones principales del motor..... | 6 |
| Figura 2. 2 Curva del motor para hélice paso variable..... | 7 |
| Figura 2. 3 Dimensiones mín. entre motores paralelos y mamparos adyacentes | 8 |
| Figura 2. 4 Caja reductora | 9 |
| Figura 2. 5 Configuración de los ejes y los motores..... | 10 |
| Tabla 2.2 Potencia absorbida al 85 % y 100 % | 14 |
| Figura 2. 6 Curva demanda de potencia del consumidor | 15 |
| Figura 3. 1 Viga Biapoyada | 20 |
| Tabla 4. 1 Diámetro de los ejes..... | 25 |
| Tabla 5. 1 tabla de los armónicos para una viga en distintas situaciones..... | 37 |
| Tabla 5. 2 Frecuencia en Hz y rpm para los distintos armónicos | 38 |
| Figura 6. 1 Unión estriada | 46 |
| Figura 6. 2 Bridas empernadas | 46 |
| Figura 6. 3 Unión enchavetada..... | 47 |
| Figura 6. 4 Unión por interferencia | 48 |
| Figura 6. 5 Unión por interferencia hidráulica..... | 49 |
| Figura 7. 1 Arandela ISO 7089 | 55 |
| Tabla 7. 1 Dimensiones arandela 64 HV 200..... | 56 |
| Figura 7. 2 Tuerca ISO 4032..... | 56 |
| Figura 7. 3 Perno ISO 4014 | 60 |
| Tabla 7. 2 Dimensiones M64x260-8.8..... | 60 |

| | |
|---|-----------|
| Figura 7. 4 Sección crítica de la brida | 63 |
| Figura 8. 1 Distancia entre apoyos..... | 69 |
| Figura 8. 2 Datos introducidos en el software | 70 |
| Figura 8. 3 Diagramas de cortante, momentos y flecha | 71 |
| Tabla 8. 1 Reacciones en los distintos apoyos | 71 |
| Figura 9. 1 Presión de trabajo cojinete..... | 78 |
| Tabla 9. 1 Longitud cojinetes | 82 |

CAPÍTULO 1. INTRODUCCIÓN

1.1. DEFINICIÓN DE RO-PAX

Se llama RO-PAX a un buque RO-RO equipado con una cabina habilitada para permitir la estancia a cientos de pasajeros, ofreciéndole a éstos la comodidad y el confort de un ferry convencional, con la diferencia de que dos o más cubiertas del buque están destinadas para el transporte de vehículos, con una serie de rampas o ascensores interiores, para permitir el tránsito de coches entre las cubiertas habilitadas para ello. Al igual que los Ro-Ro, estos barcos disponen de una gran puerta abatible a proa o popa, que permite el tránsito de la carga rodada.

A continuación podemos ver las ilustraciones de buques Ro-Pax con rampas a popa y a proa.

Figura 1. 1 Rampa de popa

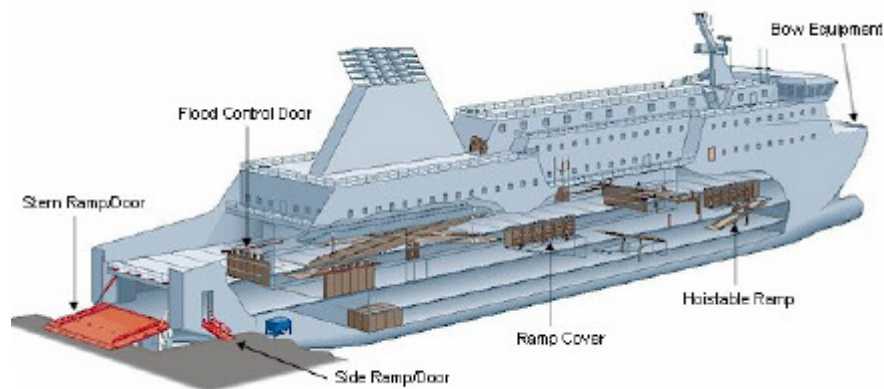
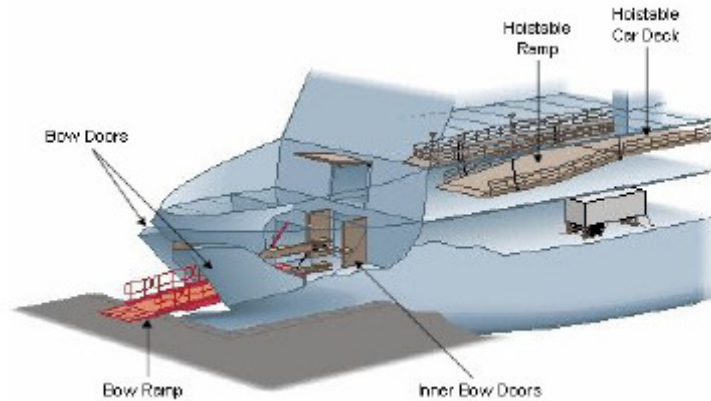


Figura 1. 2 Rampa de proa



1.2. OBJETO DEL PROYECTO

El objetivo del proyecto es el dimensionamiento, cálculo y selección de los diferentes elementos que componen el sistema de transmisión, desde el elemento de generación de energía (motor propulsor) hasta el elemento de generación de empuje (hélice). Esta cadena de transmisión está compuesta por: motor propulsor, reductor de engranajes, línea de ejes, acoplamientos, apoyos del eje, tubo bocina y hélice de paso variable.

La configuración de la planta de propulsión será CODAD¹, con dos líneas de ejes simétricas y cuatro motores propulsores. Las líneas de ejes irán acopladas cada una de ellas a dos de los motores propulsores por medio de un reductor.

Dicha configuración debe ser dimensionada y calculada para poder ser instalada en un buque del tipo Ro-Pax.

¹Combined Diesel And Diesel (Combinación de diesel y diesel)

1.3. REFERENCIAS TÉCNICAS DE LA PLATAFORMA

El buque está diseñado para operar en condiciones de vientos de fuerte intensidad, elevados estados de la mar y en puertos con accesos extremadamente complicados. En estas condiciones, es requerimiento habitual diseñar los sistemas para temperaturas ambientales de hasta -20 °C. Su capacidad de carga admite además de pasajeros, coches, trailers, MAFI trailers, caravanas y mercancías peligrosas en dos cubiertas de garaje, una de ellas móvil del tipo car-deck. Los accesos de vehículos y pasajeros al buque se realizan mediante dos rampas situadas en popa y una rampa situada en el costado de estribor. La planta propulsora está compuesta por cuatro motores diesel MAN B&W 7L 32/40 acoplados por parejas a reductores de doble entrada que accionan líneas de ejes con hélices de paso variable. La generación de energía a bordo la realizan cuatro grupos generadores accionados por motores diesel y un generador de emergencia.

Dispone de dos hélices de maniobra en proa accionadas por motores eléctricos; tanques de compensación de escora con capacidad suficiente para contrarrestar la acción de dos trailers moviéndose simultáneamente a lo largo de una misma banda y de una pareja de aletas estabilizadoras del tipo replegable, que permiten una reducción de hasta un 90 % del movimiento de balance del buque.

La cámara de máquinas está totalmente automatizada, cumpliendo íntegramente con los requerimientos de la Sociedad de Clasificación para cámara de máquinas desatendida, pudiéndose controlar todos los parámetros de funcionamiento desde la consola de control del puente de gobierno.

Características técnicas

- Eslora total: 135 m
- Manga: 22,70 m
- Puntal a cubierta intemperie: 13,60 m
- Calado de diseño: 5,60 m
- Peso muerto de diseño: 2100 t
- Velocidad de servicio: 21 nudos
- Propulsión: 13440 Kw
- Autonomía: 5700 millas
- Pasajeros: 976
- Vehículos: 200 coches / 970 m de carril
- Tripulación: 24
- Camarotes de pasaje: 34

1.4. SOCIEDAD DE CLASIFICACIÓN

El reglamento del que se ha hecho uso en el presente proyecto es el correspondiente a Lloyd's Register of Shipping.

CAPÍTULO 2. DATOS FUNCIONALES DE DISEÑO

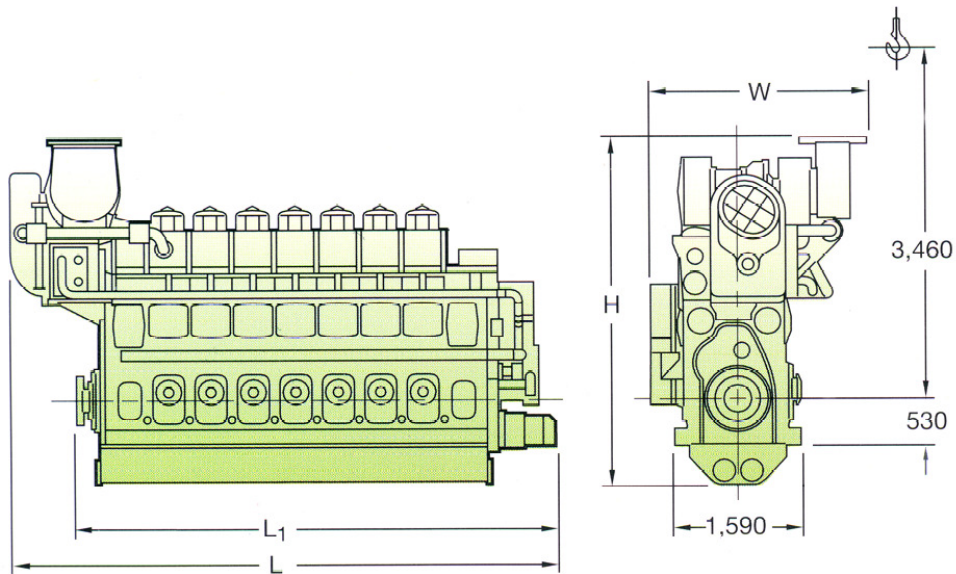
2.1. REFERENCIAS DE EQUIPOS Y ELEMENTOS MECÁNICOS

2.1.1. Motores propulsores

- Fabricante: IZAR-MOTORES
- Modelo: 7 L 32/40
- Ciclos: 4 Tiempos
- Combustible: Diesel
- MCR² (kW): 3360
- Número de pistones: 7 en línea
- Carrera del pistón: 400 mm
- Diámetro del pistón: 320 mm.
- Velocidad de giro del motor: 750 rpm

² Potencia máxima continua

Figura 2. 1 Dimensiones del motor



Catálogo MAN

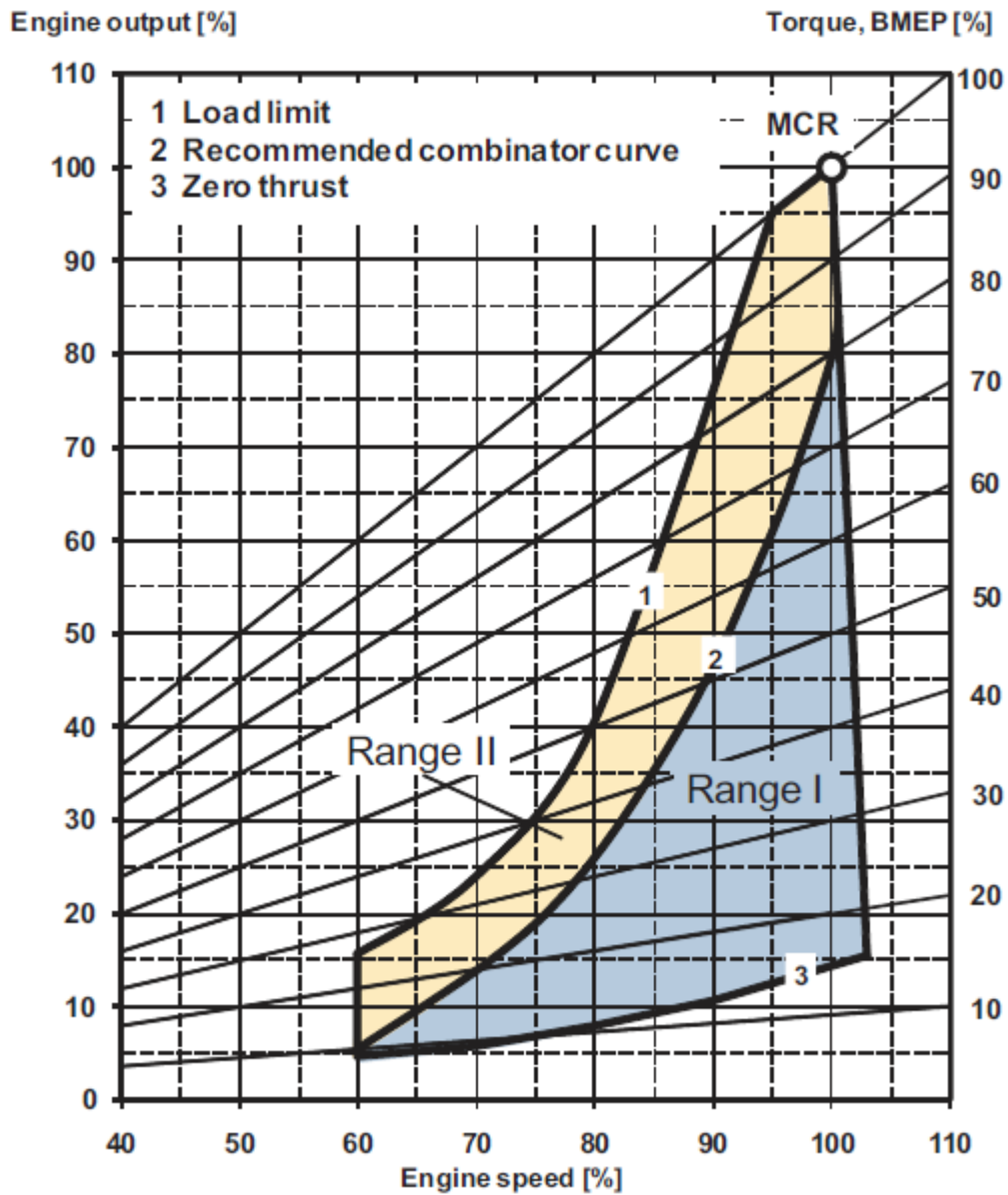
Tabla: 2.1 Dimensiones principales del motor

| Dimensiones principales | | | |
|-------------------------|---------|----------|---------------------|
| Longitud L | Ancho W | Altura H | Peso sin el volante |
| 6470 mm | 2630 mm | 4010 mm | 42 t |

Catálogo MAN

El rango de operación del motor para hélices de paso variable se muestra a continuación.

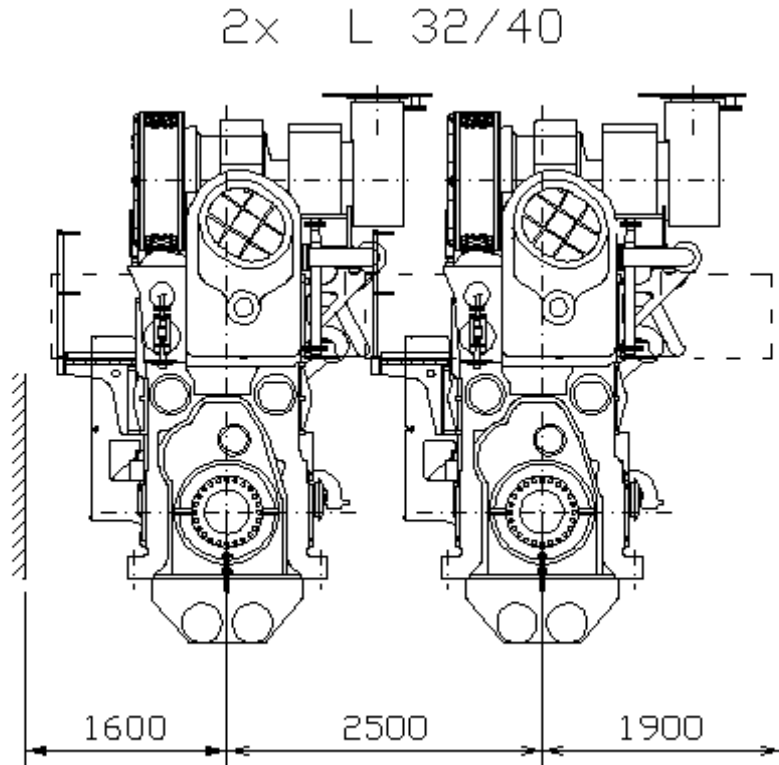
Figura 2. 2 Curva del motor para hélice paso variable



Catálogo MAN

El número total de motores serán cuatro, con una configuración de dos motores por reductor y eje. La distancia mínima de montaje para motores en paralelo, es la que se muestra en la figura 2.3

Figura 2. 3 Dimensiones mín. entre motores paralelos y mamparos adyacentes



Catálogo MAN

2.1.2. Reductor

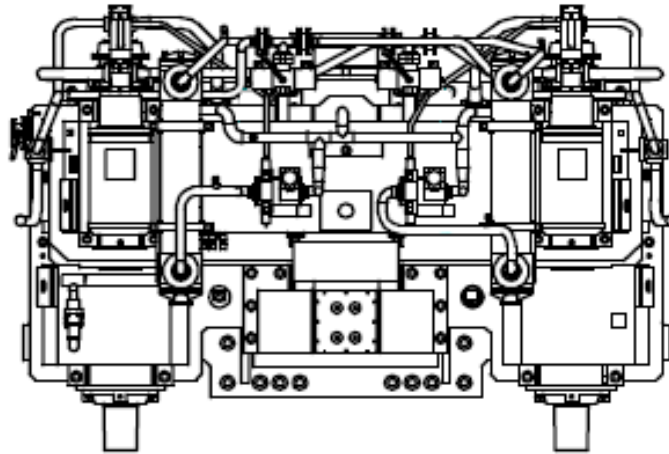
La reductora pertenece a la casa Reintjes modelo DLG 5551 K41 con una relación de reducción de 5:1

Está compuesta por los siguientes elementos:

- Embragues: El accionamiento de los mismos es hidráulico. Llevan incorporado sus propios sistemas de refrigeración y elementos para su control y seguridad.
- Dos entradas de ejes. La distancia mínima entre las entradas es de 2500 mm.

- Una salida de eje PTO³ para conducir el alternador principal.
- Engranajes endurecidos y de alta resistencia.
- Un cojinete de empuje incorporado para soportar los máximos empujes de la hélice hacia proa y hacia popa.
- Dos bombas de aceite.
- Dos válvulas de control
- Dos filtros de aceite.
- Dos cambiadores de calor.

Figura 2. 4 Caja reductora



Reintjes reductores

³ Power TakeOff (Toma de fuerza)

2.1.3. Líneas de ejes

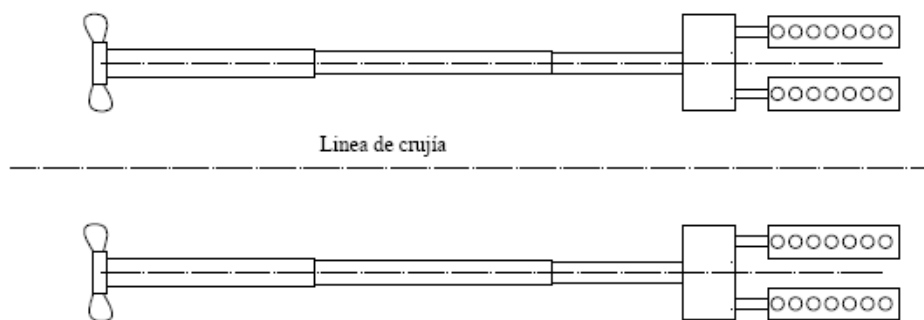
El buque consta de dos líneas de ejes paralelas entre sí y simétricas respecto a la línea de crujía. Cada eje distará de la línea de crujía 5200 mm. Ambas líneas tendrán una inclinación de 0,8 grados.

Por tener dos ejes paralelos uno girará al contrario del otro. Este cambio de giro estará producido por los motores propulsores, haciendo que los motores de la banda de estribor giren en sentido horario y los de babor en sentido antihorario. El sentido de giro se ha definido situándose mirando de popa a proa la brida de salida de potencia del motor.

Debido a la caja reductora el sentido de giro de los ejes será el siguiente:

- Eje de estribor: levógiro (sentido antihorario)
- Eje de babor: dextrógiro (sentido horario)

Figura 2. 5 Configuración de los ejes y los motores



Los ejes son huecos, de acero tipo C45E, con sus correspondientes elementos para la transmisión de potencia.

La longitud total de cada línea será de 37399 mm y estará compuesta por tres tramos diferentes, en los que variará la longitud y el diámetro exterior.

El diámetro interior será el hueco por donde se canalizarán los tubos hidráulicos para operar la hélice de paso variable. Será el mismo en los tres tramos.

Todas las longitudes y diámetros cumplirán con la normativa de la Sociedad de Clasificación.

2.1.4. *Acoplamientos*

Se usarán acoplamientos de interferencia por presión hidráulica del tipo eje-eje, eje-máquina de la casa SKF.

2.1.5. *Cojinetes de apoyo de los ejes*

Los cojinetes de apoyo, tanto los del tubo de bocina como los intermedios, serán de metal blanco del fabricante Cedervall & Söner.

2.1.6. *Sellos del tubo de bocina*

La misión de los sellos de bocina es evitar que el agua del mar pueda entrar en el buque, y a su vez evitar que el aceite de refrigeración de los cojinetes del tubo de bocina sea vertido al mar. Serán dos y del fabricante Cedervall & Söner.

2.1.7. *Pasamamparo estanco del eje*

La misión del pasamamparo estanco es evitar que un compartimento pierda su estanqueidad por la abertura practicada en el mamparo por donde pasa el eje.

2.1.8. *Tubo de Bocina*

El eje de cola ha de pasar a través del casco del buque en la zona de obra viva, paso que necesariamente debe quedar en forma estanca al agua de mar. Esta estanqueidad se consigue por medio de la bocina que cumple una doble misión: servir de soporte al eje y asegurar la citada estanqueidad por medio de dos sellos hidráulicos.

Estará formado básicamente de un tubo, que servirá de soporte y protegerá el tramo del eje que queda fuera del casco del buque. El tubo dispone de un sello hidráulico en cada uno de sus extremos, cuya misión será la de impedir que pueda entrar el agua salada dentro del buque y evitar que salga el aceite en el que está sumergido el tramo de eje. Este aceite proviene de un tanque de compensación que le proporciona, además, una presión superior que la del exterior del tubo de bocina, evitando en todo momento la entrada de agua salada.

2.1.9. Hélice

Nuestra hélice será de paso variable (KAMEWA 102 XF5/4) y sus principales características son:

- Peso: 7100 Kg
- Número de palas: 4
- Diámetro: 4300 mm
- Velocidad: 150 rpm
- Material: CuNiAl

2.1.10. Cálculo curva de potencia

Una ecuación aproximada de la curva de demanda de potencia absorbida por el consumidor, en función de su velocidad, es:

$$\text{Pot} = F \times n^3 = K \times n^3$$

Donde:

- Pot: Potencia absorbida por el consumidor y medida en DkW.

- n: Revoluciones de giro del consumidor.
- K: Es una constante.

Los datos de diseño para la determinación de la curva de potencia son:

- Potencia máxima entregada al eje.
- Revoluciones a las que gira la hélice.

El diseño constará de dos ejes, cada uno de ellos acoplado a dos motores mediante una reductora. Con dicha configuración (motores más reductor), se dispondrá de una potencia en la entrada del reductor de 6720 BkW⁴, a 750 rpm y en la salida obtendremos 6518,4 DkW⁵ a 150 rpm, teniendo en cuenta que hay una pérdida del 3% por rozamiento en el reductor.

El valor de K puede ser constante o variable en función de si la hélice que se use, sea de paso fijo o controlable. En este caso la hélice es de paso variable, lo cual presenta la ventaja de poder modificar el ángulo de ataque de las palas y así variar el paso de la misma. Por lo tanto K será variable, logrando así optimizar el consumo de potencia y el de combustible en función de las condiciones operativas del buque.

El valor de K se obtiene despejando en la siguiente fórmula:

$$\text{Pot} = F \times n^3 = K \times n^3 \quad (2.1)$$

$$K = \frac{\text{Pot(DkW)}}{n^3} = \frac{6518,4}{150^3} = 1,93 \times 10^{-3}$$

- Pot = 6518,4 DkW

⁴ Brake Kilowatio (Potencia en el freno)

⁵ Delivered Kilowatio (Potencia entregada)

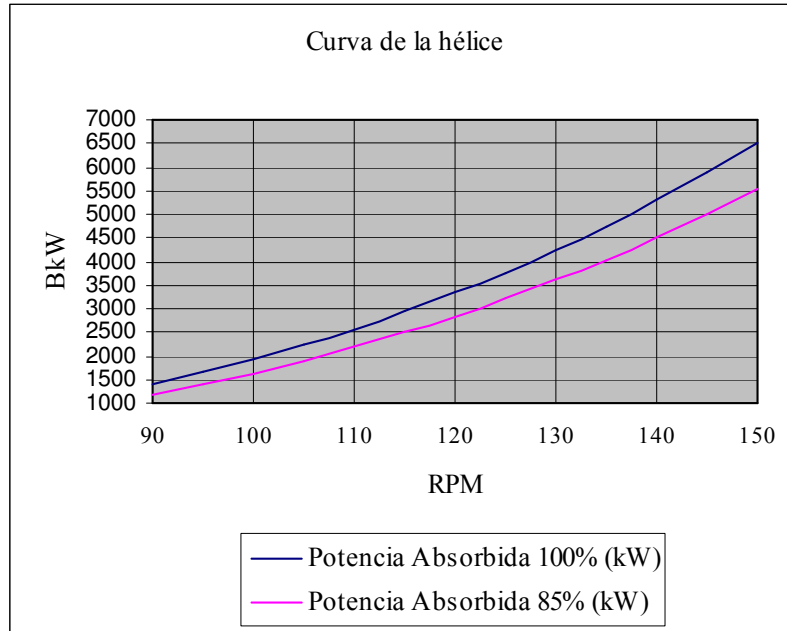
- $n = 150$ rpm

Sustituyendo las revoluciones y el valor de K en (2.1), se tendrá una tabla de valores para levantar la curva de demanda, en DkW a distintas rpm, con una potencia entregada del 100% y 85%.

Tabla 2.2 Potencia absorbida al 85 % y 100 %

| rpm hélice | Potencia Absorbida 100% (kW) | Potencia Absorbida 85% (kW) |
|------------|------------------------------|-----------------------------|
| 90 | 1407,97 | 1196,78 |
| 95 | 1655,92 | 1407,53 |
| 100 | 1931,38 | 1641,67 |
| 105 | 2235,81 | 1900,44 |
| 110 | 2570,66 | 2185,06 |
| 115 | 2937,38 | 2496,78 |
| 120 | 3337,42 | 2836,81 |
| 125 | 3772,22 | 3206,39 |
| 130 | 4243,24 | 3606,75 |
| 135 | 4751,91 | 4039,13 |
| 140 | 5299,70 | 4504,75 |
| 145 | 5888,05 | 5004,84 |
| 150 | 6518,40 | 5540,64 |

Figura 2. 6 Curva demanda de potencia del consumidor



La curva de demanda del consumidor se ha calculado para la potencia total por línea de eje y teniendo en cuenta que cada uno está impulsado por dos motores acoplados de las mismas características, que en condiciones normales de trabajo comparten la carga al 50%.

No obstante se puede dar el caso que uno de los motores esté inoperativo. Las hélices de paso variable permiten variar la cúbica de demanda de potencia, cambiando el ángulo de las palas hasta poder absorber la potencia máxima que es capaz de generar el motor, permitiéndonos optimizar el rendimiento tras la pérdida de uno de ellos.

CAPÍTULO 3. DIÁMETRO DEL EJE POR CÁLCULO DIRECTO

3.1. CÁLCULO MOMENTO TORSOR

Sabiendo que el eje estará sometido a torsión, flexión y fuerza axial, los cálculos se realizarán básicamente para el esfuerzo a torsión, ya que es el más restrictivo. Los demás esfuerzos se tendrán en cuenta y estarán controlados.

Como dato de partida, se conoce la potencia que se entrega al eje, las revoluciones a las que girará y el diámetro interior. Este diámetro interior viene impuesto por la hélice para poder alojar los circuitos hidráulicos que accionan sus palas.

La potencia entregada a la hélice (DkW) será la suma de la potencia de dos motores menos las pérdidas por rozamiento del reductor 3%.

- DkW= $3360 \times 2 \times 0,97 = 6518,40$ kW
- Rpm= 150
- Diámetro interior (d)= 110 mm.
- Tipo de acero del eje= C45E

Teniendo todo esto en cuenta, el momento torsor de diseño del eje viene dado por:

$$M_t = \frac{9,55 \times kW}{RPM}$$
$$M_t = \frac{9,55 \times 6518,4}{150} = 415 \text{ kN} \times \text{m.}$$

3.2. TENSION CORTANTE MÁXIMA

La tensión cortante (τ_{cort}) viene dada aproximadamente por:

$$\tau_{\text{cort}} = \frac{\sigma_{\text{elast}}}{\sqrt{3}} \quad (3.1)$$

Como el tipo de acero del eje tiene un límite elástico (σ_{elast}) de 330 N/mm², despejando en (3.1) se obtiene:

$$\tau_{\text{max}} = \frac{330}{\sqrt{3}} = 190,53 \text{ N / mm}^2$$

NOTA: Habrá que tener en cuenta que si se toma este valor de tensión cortante no se le estará aplicando ningún coeficiente de seguridad.

3.3. DIÁMETRO EXTERIOR DEL EJE

El diámetro exterior mínimo (D) del eje se calculará despejándolo de la fórmula:

$$\tau_{\text{cort}} = \frac{16 \times Mt \times D}{\pi \times (D^4 - d^4)} \quad (3.2)$$

Para $\tau_{\text{cort}} = 190,53 \text{ N/mm}^2$, $d = 110 \text{ mm}$ y $Mt = 415 \text{ kN} \times \text{m}$ se obtiene que: $D = 227,26 \text{ mm}$.

3.4. REGLA DEL 30% (σ_{ELAST}) Ó 18% ($\sigma_{\text{MÁX.}}$)

A falta de requerimiento específico, una forma habitual de calcular las tensiones del eje es restringir el límite elástico (σ_{elast}) al 30% o límite máximo de rotura ($\sigma_{\text{máx.}}$) al 18%. Se usará el menor de los resultados ya que es el más restrictivo como valor de la tensión combinada (σ_{comb}).

$$30\% \text{ de } 330 \text{ N/mm}^2 = 99 \text{ N/mm}^2$$

$$18\% \text{ de } 600 \text{ N/mm}^2 = 108 \text{ N/mm}^2$$

El esfuerzo axial (σ_{axial}) se hallará despejándolo de la fórmula:

$$\sigma_{\text{comb}} = \sqrt{\sigma_{\text{axial}}^2 + 3 \times \tau_{\text{cort}}^2} \Rightarrow \sigma_{\text{axial}} = \sqrt{\sigma_{\text{comb}}^2 - 3 \times \tau_{\text{cort}}^2}$$

Para $\sigma_{\text{combinada}} = 99 \text{ N/mm}^2$ y restringiendo la tensión cortante a 55 N/mm^2 , se obtiene:

$$\sigma_{\text{axial}} = \sqrt{99^2 - 3 \times 55^2} = 26,94 \text{ N/mm}^2$$

Al restringir la tensión cortante se hace necesario recalcular el diámetro exterior del eje. Se ha obtenido a partir de la fórmula (3.2) un valor de $D = 338,72 \text{ mm}$.

3.5. MOMENTO FLECTOR

La resistencia de materiales nos dice que:

$$M_f = \frac{\sigma_{\text{axial}} \times \pi \times (D^4 - d^4)}{32 \times D}$$

Sustituyendo los datos obtenidos en la fórmula se obtiene que:

$$M_f = \frac{26,94 \times \pi \times (338,72^4 - 110^4)}{32 \times 338,72} = 101656,03 \text{ N} \times \text{m}$$

3.6. PESO DEL EJE POR METRO LINEAL

El peso del eje por metro lineal viene dado por:

$$\frac{\text{peso}}{\text{m}} = \rho \times A \times g$$

Donde:

- ρ = densidad acero 7850 Kg/m³
- A = área de la sección del eje mm²
- g = gravedad 9,81m/s²

El área de una sección transversal del eje será:

$$A = \pi \times \frac{D^2 - d^2}{4}$$

$$A = \pi \times \frac{338,72^2 - 110^2}{4} = 80606,39 \text{ mm}^2$$

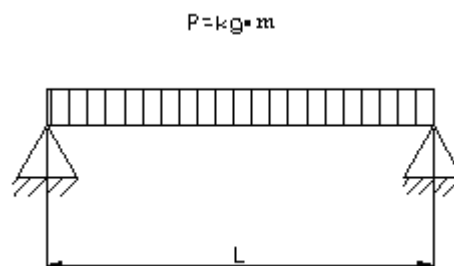
Con lo que se obtiene:

$$\text{peso} = 7850 \times 80606,39 \times 10^{-6} \times 9,81 = 6207,38 \text{ N/m}$$

3.7. DISTANCIA ENTRE APOYOS DEL EJE

Para una viga biapoyada, condición similar a nuestro eje se obtiene la fórmula del M_f .

Figura 3. 1 Viga Biapoyada



Despejando la longitud (l):

$$M_f = \frac{\text{peso} \times l^2}{8} \Rightarrow l = \sqrt{\frac{M_f \times 8}{\text{peso}}}$$

Y usando los datos obtenidos por cálculo directo:

- Tensión combinada máxima = 99 N/mm²
- Tensión cortante máxima = 55 N/mm²
- Tensión axial máxima = 26,94 N/mm²
- Diámetro exterior del eje = 338,72 mm
- Diámetro interior del eje = 110 mm

Se tiene una distancia máxima entre apoyos del eje de:

$$l = \sqrt{\frac{101656,03 \times 8}{6207,38}} = 11,45 \text{ m.}$$

CAPÍTULO 4. DIMENSIONAMIENTO DE LA LÍNEA DE EJES POR LA LLOYD'S REGISTER

4.1. DATOS DE PARTIDA

En este capítulo se calculará el eje según las normas de la Sociedad de Clasificación.

Los datos de partida y material del eje son:

- $DkW = 3360 \times 2 \times 0,97 = 6518,40$
- Rpm= 150
- Diámetro interior (d)= 110 mm
- Tipo de acero del eje= C45E

La Sociedad de Clasificación diferencia tres diámetros exteriores según la posición de los tramos:

- Tramo de eje de cola: es el tramo más próximo al propulsor.
- Tramo de eje intermedio: será continuación del eje de cola hasta sobrepasar 1500 milímetros del sello de proa del tubo de bocina.
- Tramo de eje de proa: será continuación del tramo intermedio hasta la brida de acoplamiento del reductor.

Para evitar puntos de concentraciones de esfuerzos cortantes, la transición de los distintos diámetros de los ejes se hará por una reducción progresiva del diámetro con una inclinación de diez grados.

4.2. CÁLCULO DEL DIÁMETRO MÍNIMO EXTERIOR DE LOS EJES

La fórmula para el cálculo del diámetro mínimo de los ejes se ha extraído de las normas de la Sociedad de Clasificación, Volumen 2, Part 3, Chapter 2 Section 4.2.

$$D_{\min} = F \times k \times \sqrt[3]{\frac{P}{R} \times \left(\frac{560}{\sigma_u + 160}\right)} \quad \text{mm}$$

Para los datos:

- $F = 100$ (por tratarse de un motor diesel)
- $k =$ constante (variará dependiendo del tramo de eje que estemos calculando)
- $P =$ potencia entregada al eje por los motores (DkW)
- $R =$ revoluciones de diseño del eje
- $\sigma_u =$ carga de rotura mínima del material (600 N/mm^2)
- $\sigma_{\text{elast}} =$ carga de fluencia del material (330 N/mm^2)

Valores de k . El Lloyd's Register establece que:

- $k = 1$ tramo de eje proa
- $k = 1,15$ tramo de eje intermedio
- $k = 1,22$ tramo eje de cola

Se obtiene un diámetro para el eje de proa de:

$$D = 100 \times 1 \times \sqrt[3]{\frac{6518,4}{150} \times \left(\frac{560}{600 + 160}\right)} = 317,55 \text{ mm.}$$

Un eje intermedio de:

$$D = 100 \times 1,15 \times \sqrt[3]{\frac{6518,4}{150} \times \left(\frac{560}{600+160}\right)} = 365,18 \text{ mm.}$$

Un eje de cola de:

$$D = 100 \times 1,22 \times \sqrt[3]{\frac{6518,4}{150} \times \left(\frac{560}{600+160}\right)} = 387,41 \text{ mm.}$$

Estos diámetros exteriores obtenidos, se redondearán al alza para poder ajustarlos a las medidas de los elementos de unión que se van a usar. A partir de ahora se trabajará con los nuevos diámetros que se muestran en la tabla 4.1.

Tabla 4. 1 Diámetro de los ejes

| Tramo | Diámetro según norma (mm) | Nuevo diámetro (mm) |
|----------------|---------------------------|---------------------|
| Eje de proa | 317,55 | 320 |
| Eje intermedio | 365,18 | 370 |
| Eje de cola | 387,41 | 390 |

4.3. COMPROBACIÓN DE LOS DIÁMETROS FINALES

El diámetro interior (d) mínimo exigido por el fabricante de la hélice es 110 mm. La Sociedad de Clasificación establece que: si $d \leq 0,4 D$ no será necesario corregir el diámetro exterior ya que se cumplirá la regla del 40%. Comprobémoslo:

- Diámetro eje de proa de 320 mm:
 $0,4 \times 320 = 128 \text{ mm} > 110 \text{ mm}$
- Diámetro eje intermedio de 370 mm:

$$0,4 \times 370 = 148 \text{ mm} > 110 \text{ mm}$$

- Diámetro eje de cola de 390 mm:

$$0,4 \times 390 = 156 \text{ mm} > 110 \text{ mm}$$

Luego no será necesario corregirlos.

También deberá cumplirse que las tensiones cortantes de los ejes sean menores que la máxima del material. Ésta viene dada por la relación $\tau_{\text{cort}} = \frac{\sigma_{\text{elast}}}{\sqrt{3}}$. Luego:

$$\tau_{\text{cort}} = \frac{330}{\sqrt{3}} = 190,53 \text{ N/mm}^2$$

El esfuerzo interno o resultante de las tensiones paralelas (cortantes) a la sección transversal del eje se calculará mediante la fórmula:

$$\tau_{\text{cort}} = \frac{16 \times Mt \times D}{\pi \times (D^4 - d^4)}$$

Donde:

- Mt= momento torsor.
- D= diámetro exterior del eje.
- d= diámetro interior del eje.

El momento torsor o par motor es la componente paralela al eje longitudinal del momento de fuerza resultante de una distribución de tensiones sobre una sección transversal del eje. Se hallará con la fórmula:

$$Mt = \frac{9'55 \times KW}{\text{rpm}}$$

Donde:

- Kw = potencia entregada al eje por los motores.
- Rpm = revoluciones máximas del eje.

$$Mt = \frac{9'55 \times 6518,4}{150} = 415,00 \text{ KN} \times \text{m}$$

Calculemos las tensiones cortantes:

- Eje de proa:

$$\tau_{\text{cort}} = \frac{16 \times 415 \times 10^6 \times 320}{\pi \times (320^4 - 110^4)} = 64,79 \text{ N/mm}^2$$

- Eje intermedio:

$$\tau_{\text{cort}} = \frac{16 \times 415 \times 10^6 \times 370}{\pi \times (370^4 - 110^4)} = 41,83 \text{ N/mm}^2$$

- Eje de cola:

$$\tau_{\text{cort}} = \frac{16 \times 415 \times 10^6 \times 390}{\pi \times (390^4 - 110^4)} = 35,70 \text{ N/mm}^2$$

De todas estas tensiones la máxima es de 64,79 N/mm², por lo que en el peor de los casos se tendrá un coeficiente de seguridad de:

$$\text{Coef} = \frac{\tau_{\text{cort}}}{\tau_{\text{cort max}}} \Rightarrow \text{Coef} = \frac{190,53}{64,79} = 2,94$$

Luego los diámetros son adecuados.

CAPÍTULO 5. SEPARACIÓN MÁXIMA ENTRE APOYOS DE LOS EJES

5.1. SEPARACIÓN MÁXIMA ENTRE APOYOS

El objetivo fundamental es poner el menor número posible de soportes a lo largo de la línea de eje, sin olvidar en ningún momento, la seguridad de la instalación ni las normas de la Sociedad de Clasificación.

Se empezará calculando las distancias entre apoyos, usando los diámetros exteriores obtenidos anteriormente, el diámetro interior de 110 mm y la longitud del eje 37399 mm (distancia comprendida entre la brida del reductor y la conexión con el núcleo de la hélice).

Las longitudes máximas entre apoyos se limitarán verificándose mediante la fórmula de la velocidad crítica de Whirling.

$$n_k = 300 \times \sqrt{\frac{78,3 \times E \times I_{axial}}{G \times L^4}} \quad (5.1) \quad \Rightarrow \quad L = \sqrt[4]{\frac{300^2 \times 78,3 \times E \times I_{axial}}{G \times n_k}} \quad (5.2)$$

Donde:

- n_k = velocidad crítica (rpm)
- E = módulo de Young ($20,6 \times 10^4$ N/mm²)
- G = peso del eje por metro según tramo (Kg/mm)
- L = longitud máxima entre dos apoyos consecutivos (mm)
- I = momento de inercia axial (mm⁴)

La velocidad crítica ha de ser un 20 % mayor que las revoluciones máximas del eje:

$$n_k = 1,2 \times 150 \times 4 = 720 \text{ rpm}$$

Para calcular el peso por metro lineal del eje se usará la fórmula:

$$G = \rho \times A \times L \text{ (kg} \times \text{mm)} \quad (5.3)$$

Donde:

- ρ = densidad del acero
- A = área del eje
- L = longitud (mm)

Se ha tomado una densidad del acero de 7850 Kg/m^3

El área de la sección circular del eje circular del eje se hallará mediante la fórmula:

$$A = \pi \times \frac{D^2 - d^2}{4} \text{ (mm}^2\text{)} \quad (5.4)$$

Donde:

- D = diámetro exterior del eje
- d = diámetro interior del eje

El momento de inercia refleja la distribución de masa del eje propulsor respecto a su eje de giro y se calculará con la siguiente fórmula:

$$I_p = \pi \times \frac{(D^4 - d^4)}{32} \text{ mm}^4 \quad (5.5)$$

5.1.1. Cálculo de la distancia máxima del eje de proa

$$A = \pi \times \frac{320^2 - 110^2}{4} = 70921,45 \text{ mm}^2 \Rightarrow A = 0,070921 \text{ m}^2$$

$$G = 7850 \times 0,070921 \times 1 = 556,73 \text{ (kg} \times \text{m)} \Rightarrow G = 0,56 \text{ (kg} \times \text{mm)}$$

$$I_p = \pi \times \frac{(320^4 - 110^4)}{32} = 1015063312,59 \text{ mm}^4 \Rightarrow I_p = 0,0010150633 \text{ m}^4$$

$$L = \sqrt[4]{\frac{300^2 \times 78,3 \times 20,6 \times 10^4 \times 1015063312,59}{0,56 \times 720}} = 8453,06 \text{ mm}$$

5.1.2. Cálculo de la distancia máxima del eje intermedio

$$A = \pi \times \frac{370^2 - 110^2}{4} = 98017,69 \text{ mm}^2 \Rightarrow A = 0,098018 \text{ m}^2$$

$$G = 7850 \times 0,098018 \times 1 = 769,44 \text{ (kg} \times \text{m)} \Rightarrow G = 0,77 \text{ (kg} \times \text{mm)}$$

$$I_p = \pi \times \frac{(370^4 - 110^4)}{32} = 1825579491,00 \text{ mm}^4 \Rightarrow I_p = 0,0018255795 \text{ m}^4$$

$$L = \sqrt[4]{\frac{300^2 \times 78,3 \times 20,6 \times 10^4 \times 1825579491,00}{0,77 \times 720}} = 9028,34 \text{ mm}$$

5.1.3. Cálculo de la distancia máxima del eje de cola

$$A = \pi \times \frac{390^2 - 110^2}{4} = 109955,74 \text{ mm}^2 \Rightarrow A = 0,109956 \text{ m}^2$$

$$G = 7850 \times 0,109956 \times 1 = 863,15 \text{ (kg} \times \text{m)} \Rightarrow G = 0,86 \text{ (kg} \times \text{mm)}$$

$$I_p = \pi \times \frac{(390^4 - 110^4)}{32} = 2256841622,52 \text{ mm}^4 \Rightarrow I_p = 0,0022568416 \text{ m}^4$$

$$L = \sqrt[4]{\frac{300^2 \times 78,3 \times 20,6 \times 10^4 \times 2256841622,52}{0,86 \times 720}} = 9250,29 \text{ mm}$$

5.2. SITUACIÓN DE LOS APOYOS

Una vez calculadas las distancias máximas de los apoyos, habrá que ver cuántos y dónde se van a poner, teniendo en cuenta los requisitos siguientes:

- El primer apoyo será el inmediato al propulsor. Estará situado lo más próximo posible a la hélice, para reducir al máximo el momento flector, debido al gran peso de la misma.
- Todos los apoyos deben transmitir los esfuerzos a través de la estructura del buque.
- El intervalo entre dos apoyos consecutivos no debe superar la distancia máxima.

Para ubicar la situación de los apoyos, se aprovecharán los elementos resistentes de la estructura teniendo en cuenta que no superen las distancias máximas.

Una vez definida la posición de cada apoyo se tendrán las longitudes reales.

5.3. COMPROBACIÓN DISTANCIA FINAL

Sólo se comprobará el tramo más desfavorable, el de cola, puesto que es el que mayor luz va a tener y es el más restrictivo.

Estará comprendido entre el primer y el segundo apoyo y su distancia es $L=8926 \text{ mm}$.

Si este tramo cumple los requisitos de Whirling y de tensión combinada el resto de tramos también lo harán.

5.3.1. Requisitos de vibración de Whirling

$$n_k = 300 \times \sqrt{\frac{78,3 \times E \times I_{\text{axial}}}{G \times L^4}}$$

$$n_k = 300 \times \sqrt{\frac{78,3 \times 20,6 \times 10^4 \times 1825579491}{0,77 \times 8926^4}} = 736,34 \text{ rpm.}$$

Las revoluciones que se han obtenido 736,34 son superiores a 720, por lo que habrá un margen mejor para que la frecuencia de vibración no coincida con la propia del eje, evitando el temido efecto de resonancia y el deterioro del conjunto por fatiga.

5.3.2. Tensión combinada del acero del eje

Habrà que comprobar que esta tensión está dentro de los límites de la regla del 30% del límite de fluencia ó del 18% del de rotura del material.

La tensión del acero del eje es:

$$\sigma_{\text{comb}} = \sqrt{\sigma_{\text{axial}}^2 + 3 \times \tau_{\text{cort}}^2} \Rightarrow \sigma_{\text{axial}} = \sqrt{\sigma_{\text{comb}}^2 - 3 \times \tau_{\text{cort}}^2}$$

$$\sigma_{\text{axial}} = \sqrt{99^2 - 3 \times 55^2} = 26,94 \text{ N/mm}^2$$

A partir de la siguiente fórmula:

$$M_f = \frac{\sigma_{\text{axial}} \times \pi \times (D^4 - d^4)}{32 \times D} \Rightarrow \sigma_{\text{axial}} = \frac{32 \times M_f \times D}{\pi \times (D^4 - d^4)}$$

Se calculará la tensión axial del tramo intermedio.

Donde:

- M_f = momento flector
- D = diámetro exterior del tramo de eje
- d = diámetro interior del tramo de eje

El momento flector se hallará mediante la fórmula:

$$M_f = \frac{p \times l^2}{8}$$

Ya que la condición de nuestro eje es similar a la de una viga biapoyada

Donde:

- p = peso por metro lineal (N/m)
- l = longitud de la viga (m)

El peso por metro lineal del tramo dado se determinará con la fórmula:

$$\frac{\text{peso}}{m} = \rho \times A \times g$$

Donde:

- ρ = densidad acero 7850 Kg/m³
- A = área de la sección del eje mm²
- g = gravedad 9,81m/s²

El área de una sección transversal del eje viene dado por:

$$A = \pi \times \frac{D^2 - d^2}{4}$$

Así que:

$$A = \pi \times \frac{370^2 - 110^2}{4} = 67370,04 \text{ mm}^2$$

Con lo que se obtiene un peso por metro lineal de:

$$\text{Peso} = 7850 \times 80606,39 \times 10^{-6} \times 9,81 = 7548,2 \text{ N/m}$$

Por lo tanto, el momento flector es:

$$M_f = \frac{7548,2 \times 8,45^2}{8} = 67370,04 \text{ N/m}$$

Y la tensión axial:

$$\sigma_{\text{axial}} = \frac{32 \times M_f \times D}{\pi \times (D^4 - d^4)}$$

$$\sigma_{\text{axial}} = \frac{32 \times 67370,04 \times 10^3 \times 370}{\pi \times (370^4 - 110^4)} = 13,65 \text{ N/mm}^2$$

La tensión cortante viene dada por:

$$\tau_{\text{cort}} = \frac{16 \times M_t \times D}{\pi \times (D^4 - d^4)}$$

$$\tau_{\text{cort}} = \frac{16 \times 415 \times 10^6 \times 370}{\pi \times (370^4 - 110^4)} = 42,06 \text{ N/mm}^2$$

La tensión combinada viene dada por:

$$\sigma_{\text{comb}} = \sqrt{\sigma_{\text{axial}}^2 + 3 \times \tau_{\text{cor tan te}}^2}$$

Así que:

$$\sigma_{\text{comb}} = \sqrt{13,65^2 + 3 \times 42,06^2} = 74,12 \text{ N/mm}^2$$

Comprobaremos si está dentro de los límites:

- 30% de 330 N/mm² = 99 N/mm² ⇒ 99 > 74,12
- 18% de 600 N/mm² = 108 N/mm² ⇒ 108 > 74,12

Luego la tensión combinada del material está dentro de las restricciones impuestas. Por lo tanto es válida la longitud de eje seleccionada.

5.4. COMPROBACIÓN DE LA FRECUENCIA NATURAL A TRAVÉS DE BUREAU VERITAS

Es importante analizar lo que indica la sociedad clasificadora del buque en relación a la frecuencia natural. La Sociedad de Clasificación utilizada no tiene especificado un método concreto para este cálculo, por lo que se ha optado por la Sociedad de Clasificación Bureau Veritas de reconocido prestigio.

Según esta sociedad de clasificación la frecuencia natural viene expresada como:

$$f_n = \frac{a_n}{2 \times \pi} \times \sqrt{\frac{E \times I}{\mu \times l^4}}$$

Donde:

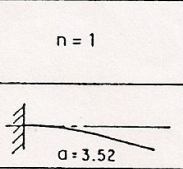
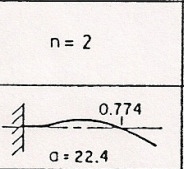
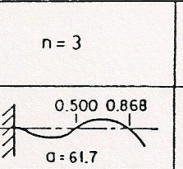
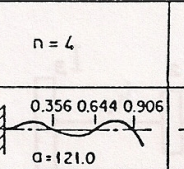
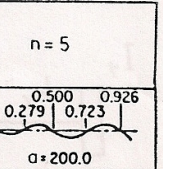
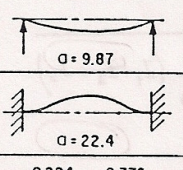
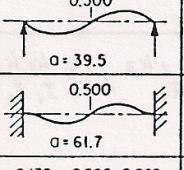
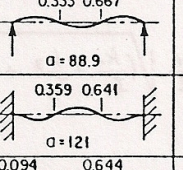
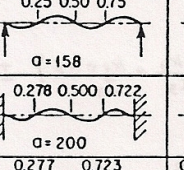
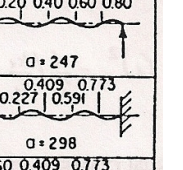
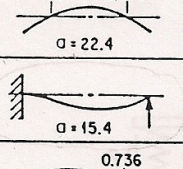
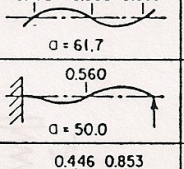
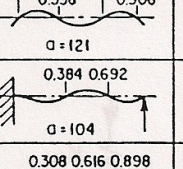
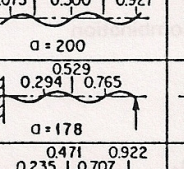
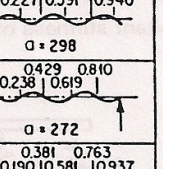
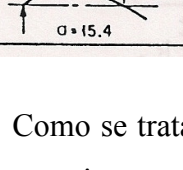
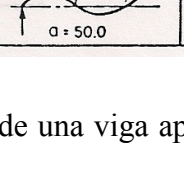
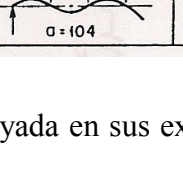
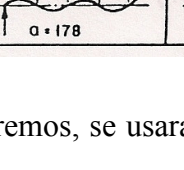
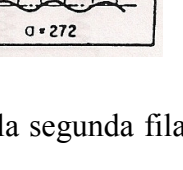
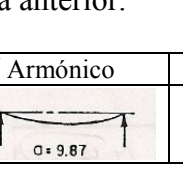
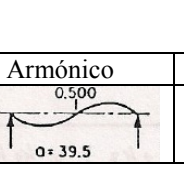
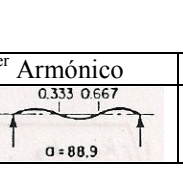
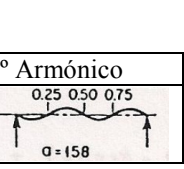
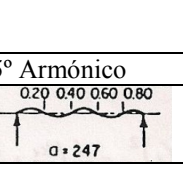
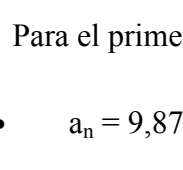
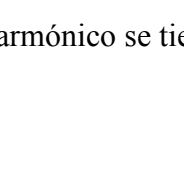
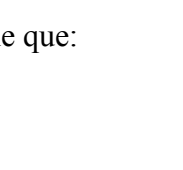
- a_n = Constante según tabla 5.1

DISEÑO DEL SISTEMA DE TRANSMISIÓN DE POTENCIA DE UN BUQUE ROPAX CON PROPULSIÓN CODAD (4 MOTORES DE 3360 BKW, 2 LÍNEAS DE EJES, 21 NUDOS Y 2500 TONS DE DESPLAZAMIENTO)

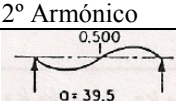
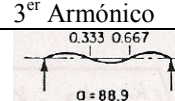
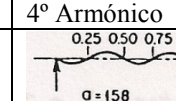
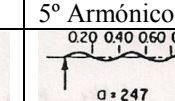
CAPÍTULO 5: SEPARACIÓN MÁXIMA ENTRE APOYOS DE LOS EJES

- $E =$ Módulo de Young (N/m^2)
- $l =$ Longitud de la viga (m)
- $I =$ Momento de inercia lateral (m^4)
- $\mu =$ Masa por unidad de longitud (Kg/m)

Tabla 5. 1 tabla de los armónicos para una viga en distintas situaciones.

| n = 1 | n = 2 | n = 3 | n = 4 | n = 5 |
|---|---|---|--|---|
|  |  |  |  |  |
|  |  |  |  |  |
|  |  |  |  |  |
|  |  |  |  |  |
|  |  |  |  |  |
|  |  |  |  |  |

Como se trata de una viga apoyada en sus extremos, se usará la segunda fila de la tabla anterior.

| 1 ^{er} Armónico | 2 ^o Armónico | 3 ^{er} Armónico | 4 ^o Armónico | 5 ^o Armónico |
|---|---|---|--|---|
|  |  |  |  |  |

Para el primer armónico se tiene que:

- $a_n = 9,87$
- $E = 20,6 \times 10^4 N/mm^2 \Rightarrow E = 2,06 \times 10^{10} N/m^2$

- $l = 8,926 \text{ m}$
- $I = 0,0022568416 \text{ m}^4 \Rightarrow I = 2256841622,52 \times 10^{-12} \text{ m}^4$
- $\mu = 863,15 \text{ Kg/m}$

Luego:

$$f_n = \frac{9,87}{2 \times \pi} \times \sqrt{\frac{206 \times 10^{10} \times 1825579491 \times 10^{-12}}{769,44 \times 8,926^4}} = 15,38 \text{ Hz}$$

Los armónicos restantes se han calculado de manera análoga.

Tabla 5. 2 Frecuencia en Hz y rpm para los distintos armónicos

| Eje de cola | 1 ^{er} Armónico | 2 ^o Armónico | 3 ^{er} Armónico | 4 ^o Armónico | 5 ^o Armónico |
|-------------------------------|--------------------------|-------------------------|--------------------------|-------------------------|-------------------------|
| Frecuencia (Hz) | 15,38 | 61,55 | 138,53 | 246,21 | 384,9 |
| Frecuencia (rpm) ⁶ | 922,8 | 3693 | 8311,8 | 14772,6 | 23094 |

Las frecuencias naturales de los armónicos (922,8 rpm) están muy alejadas de las 600 rpm que es la frecuencia natural del eje. Luego las longitudes de separación de apoyos propuestas son válidas ya que nunca entrarán en resonancia.

5.5. CÁLCULO DE VIBRACIÓN AXIAL POR LLOYD'S REGISTER

Hay que comprobar que la velocidad crítica de vibración axial sea mayor que la frecuencia natural del eje. Calculémosla:

⁶ La frecuencia en rpm se ha obtenidos multiplicando los Hertzios por 60.

$$150 \frac{\text{rev}}{\text{min}} \times \frac{\text{min}}{60 \text{ s}} \times 4 = 10\text{Hz} \Rightarrow 10 \times 1,2 = 12\text{Hz} \Rightarrow 720 \text{ rev / min}$$

Donde:

- 150 rpm son las revoluciones máximas del eje.
- 4 es el número de palas de la hélice.
- 1,2 es el incremento de seguridad.

Así que la velocidad crítica deberá ser mayor que 720 rev / min.

La fórmula para el cálculo de la velocidad crítica se ha extraído de las normas de la Sociedad de Clasificación volumen 2, Part 5, Chapter 2, Section 3.2. y es la siguiente:

$$N_c = \frac{0,98}{n} \times \left(\frac{ab}{a+b} \right)^{1/2} = (\text{rev / min})$$

Donde:

N_c = Velocidad crítica (rev/min)

$$a = \frac{E}{Gl^2} (66,2 + 97,5A - 8,88A^2)^2 = (\text{c / min}^2)$$

$$b = 91,2 \frac{k}{M_e} = (\text{c / min}^2)$$

n = número de palas de la hélice.

E = Módulo de elasticidad del material del eje (N/mm^2)

G = Densidad del material (Kg/mm^3)

l = Longitud de la línea de eje entre la hélice y el cojinete de empuje (mm)

$$A = \frac{m}{M}$$

M = peso de la hélice (Kg)

$m = 0,785 \times (D^2 - d^2) \times G \times l =$ masa del eje considerada en Kg

D = Diámetro exterior (mm)

d = Diámetro interior (mm)

$M_e = M \times (A + 2)$

k = rigidez cojinete de empuje (N/m)

A partir de los datos:

D = 320 mm

d = 110 mm

l = 37399mm

M = 7100 kg

n = 4

$k = 3,15 \times 10^9$ N/m

$E = 206000$ N/mm²

$G = 7,85 \times 10^{-6}$ Kg/mm³

Y realizando los cálculos pertinentes:

$m = 0,785 \times (D^2 - d^2) \times G \times l = 20810,72$ kg

$$A = \frac{20810,72}{7100} = 2,93$$

$$a = \frac{206000}{7,85 \times 10^{-6} \times 37399^2} (66,2 + 97,5 \times 2,93 - 8,88 \times 2,93^2)^2 = 1426005,40 \text{ c/min}^2$$

$$M_c = 7100 \times (2,93 + 2) = 35010,72$$

$$b = 91,2 \times \frac{3,15 \times 10^9}{35010,72} = 8205487,36 \text{ (c/min}^2\text{)}$$

$$N_c = \frac{0,98}{4} \times \left(\frac{1426005,40 \times 8205487,36}{1426005,40 + 8205487,36} \right)^{1/2} = 1009,35 \text{ rev/min}$$

Obtenemos que:

$$N_c = 1009,35 \text{ rev/min} > 720 \text{ rev/min}$$

CAPÍTULO 6. CÁLCULO DE LAS UNIONES DE LOS EJES DE LA TRANSMISIÓN

El diseño de los acoplamientos se hará desde el punto de vista estructural o resistente, utilizando los mismos criterios dimensionales usados en el diseño de los ejes que acoplan y de forma que no reduzcan la capacidad mecánica de la transmisión. En consecuencia, los acoplamientos podrán soportar y transmitir íntegramente todos los esfuerzos a los que se ven sometidos los ejes que conecta.

Por lo anterior, podemos asegurar que el montaje entre eje y acoplamiento es realizado de manera que la “unión” garantiza la transmisión de los esfuerzos recíprocos entre ejes y acoplamientos y viceversa.

En función del nivel de las solicitaciones que actúen entre los elementos unidos, las prestaciones estructurales de la unión serán más o menos exigentes. La elección final del tipo de unión a utilizar debe realizarse considerando condiciones del contorno como:

- Espacio disponible.
- Facilidad de montaje y desmontaje.
- Frecuencia de desmontaje.
- Rapidez de montaje y desmontaje.
- Fiabilidad.

6.1. TIPOS DE ACOPLAMIENTOS

6.1.1. Acoplamientos Rígidos

Se caracterizan porque transmiten íntegramente los esfuerzos de flexión y los axiales que se apliquen a los ejes que acoplan. Por tanto, transmiten íntegramente los movimientos permitidos al eje.

Se utilizan principalmente en los siguientes casos:

- Ejes con velocidades de rotación medias o bajas.
- Las máquinas que conectan son soportadas rígidamente.
- Se necesita de alineación muy precisa que se debe de mantener durante la operación de trabajo.
- Estabilidad térmica, es decir ausencia de pequeñas dilataciones relativas.

6.1.2. Acoplamientos flexibles

En este tipo de acoplamiento no se transmiten íntegramente los esfuerzos de flexión y/o axiales que se apliquen a los ejes y por tanto, no transmiten íntegramente los movimientos relativos entre los ejes (o máquinas) que conectan, absorbiendo parcial o totalmente dichos movimientos. La alineación requerida es menos precisa.

Podemos destacar como principales casos de utilización:

- Conectando máquinas con soportado elástico.
- Cuando las máquinas están sobre una base poco rígida.

6.1.3. Acoplamientos torsioelásticos

Son acoplamientos flexibles a torsión exclusivamente o simultáneamente con flexibilidad axial, y/o radial, y/o angular. Son, por tanto, acoplamientos que transmitiendo íntegramente el par torsor estacionario adquieren por acción de éste una deformación torsional elástica significativamente mayor que la de los ejes que acoplan.

Atendiendo al principio básico de diseño podemos decir que las uniones entre ejes derivan de alguno de los tres tipos siguientes:

- Basadas en efectos de forma.
- Por inserción de elementos de bloqueo.
- Por la acción de fuerzas de rozamiento.

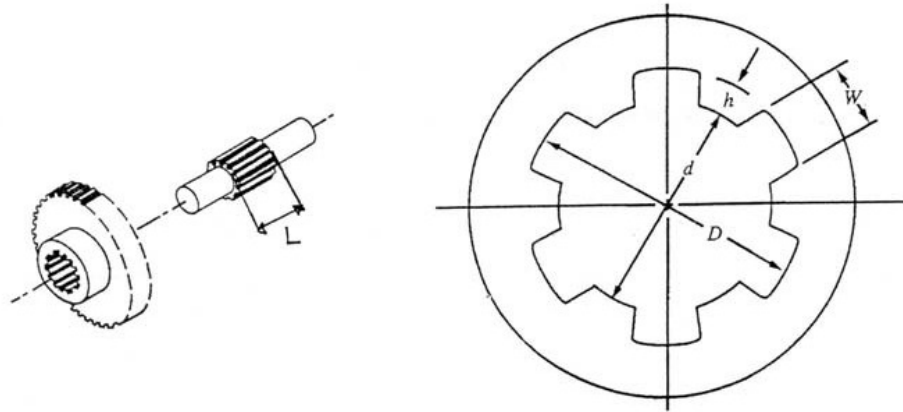
6.2. TIPOS DE UNIONES BASADAS EN EL EFECTO DE FORMA

6.2.1. Unión Estriada

Ambos ejes quedan torsionalmente conectados por contacto entre las diversas acanaladuras formadas por los correspondientes estriados macho de un eje y hembra del otro. En este caso, las uniones estriadas mantienen en todo momento el contacto entre todos y cada uno de sus dientes, transmitiendo el par torsor sin que exista movimiento relativo entre ellos.

La ausencia de fricción hace innecesaria la lubricación de este tipo de unión.

Figura 6.1 Unión estriada



Apuntes Cálculo Estructural

6.2.2. Por inserción de elementos de bloqueo

6.2.2.1. Unión de bridas empernadas

Es la unión más común y tradicional en la construcción naval. La unión es simple y consiste en enfrentarse las bridas o platos a unir, realizándose a ambos taladros pasantes, diametralmente opuestos, del mismo diámetro concéntrico al que se ajustan los pernos. Éstos deben ser perpendiculares a la superficie de contacto entre bridas. Los pernos transmiten el par torsor trabajando a esfuerzo cortante.

Figura 6.2 Bridas empernadas



Apuntes Cálculo Estructural

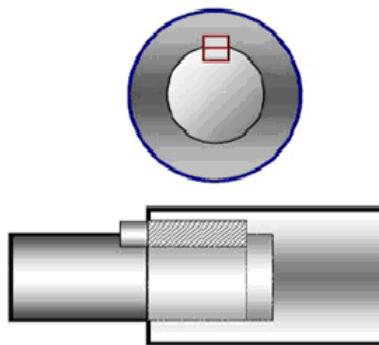
6.2.2.2. Uniones de chavetas

Se denomina así a la unión macho-hembra entre dos elementos (conductor y conducido) montados con ajuste, en la que el bloqueo al giro se efectúa por la inserción de otro elemento resistente dispuesto en una acanaladura practicada sobre una generatriz común.

El elemento de inserción se denomina chaveta y la acanaladura practicada en cada uno de los elementos unidos se denomina chavetero.

Las dimensiones de las chavetas dependen del momento torsor a transmitir y, por tanto, directamente relacionadas con el diámetro del eje.

Figura 6. 3 Unión enchavetada



Apuntes Cálculo Estructural

6.2.3. Por la acción de fuerzas de rozamiento

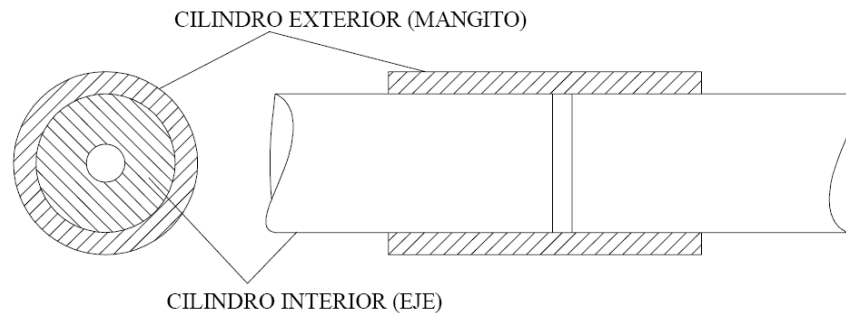
6.2.3.1. Unión de interferencia

Se denomina así a la unión de dos cilindros en el que el diámetro exterior de uno de ellos sea ligeramente superior al diámetro interior del otro y al montarlos

concéntricamente uno sobre el otro, se obtendrá por la elasticidad del material una determinada presión en las superficies de contacto.

La diferencia entre el diámetro exterior del cilindro interior y el diámetro interior del cilindro exterior, que denominamos interferencia, establece el valor de la presión de contacto.

Figura 6. 4 Unión por interferencia

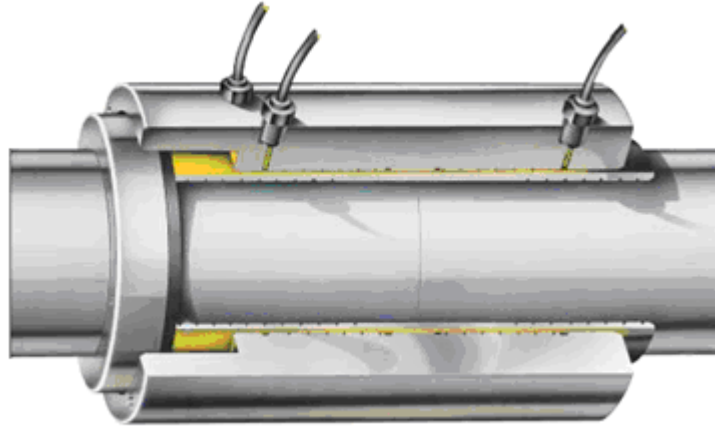


6.2.3.2. Unión de interferencia hidráulica

El origen y el soporte técnico son similares a lo descrito anteriormente (uniones de interferencia), pero el enfoque del diseño orientado hacia la reutilización, facilidad de montaje y desmontaje y a la fiabilidad, supone un desarrollo tecnológico respecto a la unión de interferencia clásica.

La dilatación del elemento externo se realiza con aceite hidráulico a alta presión. En consecuencia, el proceso de dilatación de dicho elemento externo se efectúa sin modificaciones locales de forma y con valores de dilatación tan altos como permita la elasticidad del material. Entre el elemento externo y el interno se intercala un manguito cónico, exteriormente adaptado en su forma al interior del elemento externo, que actúa además como obturador de aceite. El elemento externo es desplazado hidráulicamente sobre el manguito intermedio produciendo un efecto adicional de acuanamiento.

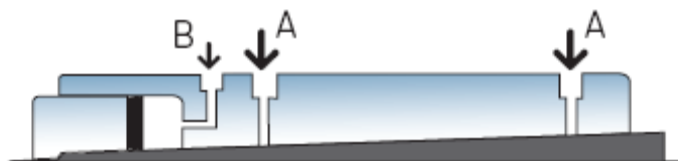
Figura 6. 5 Unión por interferencia hidráulica



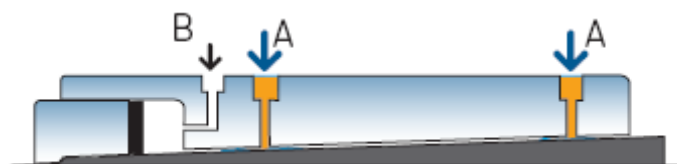
Este tipo de unión es la que proporciona los mejores efectos hidrodinámicos ya que presenta una menor resistencia al avance del buque.

Procedimiento de montaje de las uniones de interferencia hidráulica

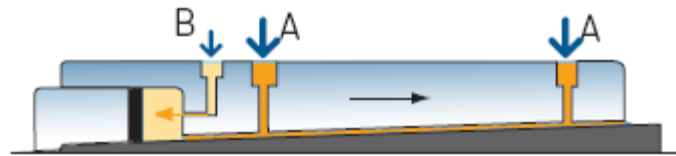
El acoplamiento se coloca de tal forma que quede repartida toda su longitud en dos partes iguales entre los dos ejes a unir.



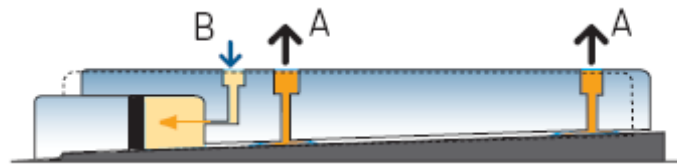
El aceite es inyectado a alta presión (A), para crear una película entre la cara interior del manguito cónico y la cara exterior del eje. Así se consigue eliminar el contacto de las mismas para reducir la fricción.



Cuando hay una buena película de aceite entre las superficies interiores, se bombea aceite por la conexión de baja presión (B) haciendo que el elemento exterior se desplace en sentido axial y produciendo un acuñaamiento entre el eje y el manguito cónico.



Cuando se alcanza la posición final, se para la bomba y se libera la presión de las conexiones A, aunque la cámara de presión de la conexión B seguirá presurizada.



Una vez drenado el aceite de las superficies de contacto y restaurada la fricción entre los elementos a unir se despresurizará la conexión B. Cuando están taponadas todas las conexiones ya está lista la unión.



6.3. SELECCIÓN DE LAS DISTINTAS UNIONES

En la elección del tipo de unión se ha tenido en cuenta las condiciones de contorno:

- Espacio disponible.
- Facilidad de montaje y desmontaje.

- Frecuencia de desmontaje.
- Rapidez de montaje y desmontaje.
- Fiabilidad.

Y los elementos a unir:

- Del tipo eje a eje
- Tramo de proa a tramo intermedio
- Tramo intermedio a tramo de cola
- Eje a reductor
- Reductor a motor propulsor

Las uniones de los tramos de eje a eje y la brida del eje al reductor, serán por interferencia hidráulica. En su elección se tendrá en cuenta el diámetro exterior del eje a unir y el par torsor a transmitir.

La unión de la brida del eje a la brida del reductor se hará mediante tornillos.

Las distintas uniones se elegirán de las tablas contenidas en el anexo y han sido obtenidas del catálogo OK shaft coupling de la casa SKF.

6.3.1. Unión eje/eje

6.3.1.1. Tramo de proa a tramo intermedio

Para la unión de eje a eje se usarán las del tipo OKC, seleccionando el más adecuado en el catálogo del anexo.

Teniendo en cuenta el par máximo a transmitir más un 30% de margen de seguridad, 539,5 kN×m, y el diámetro exterior del tramo de proa, 320 mm, se elegirá OKC 320 ya que el par torsor máximo que puede transmitir es de 852 kN×m que es superior al necesario.

6.3.1.2. Tramo intermedio a tramo de cola

En la elección de este tramo se han usado los mismos criterios que en el anterior, pero con los datos:

$$\text{Momento torsor} = 539,5 \text{ kN}\times\text{m}$$

$$\text{Diámetro exterior} = 370 \text{ mm}$$

Se elegirá el acoplamiento OKC 370 que puede transmitir un par torsor de 1320 kN×m superior al necesario.

6.3.2. Unión eje/reductor

En esta unión un extremo se fijará al eje por presión hidráulica y el otro extremo se unirá a la brida del reductor mediante pernos. El cálculo de estos últimos se verá detalladamente en el siguiente capítulo.

Para la elegir la unión, se ha seguido el mismo criterio anterior pero usando la tabla OKF 310-700 y con los datos:

$$\text{Momento torsor} = 539,5 \text{ kN}\times\text{m}$$

$$\text{Diámetro exterior} = 320 \text{ mm}$$

Se elegirá el acoplamiento OKF 320, con capacidad de transmitir un par torsor de 852 kN×m, superior al necesario.

6.3.3. Acoplamiento entre motor propulsor y reductor

Entre el motor y el reductor se usará un acoplamiento del tipo torsioelástico, de la casa Vulkan, que es capaz de absorber las desviaciones axiales, angulares y torsionales.

El momento máximo a transmitir deberá ser menor o igual que el par nominal del acoplamiento.

El momento máximo viene dado por:

$$M_t = \frac{9,55 \times kW}{rpm}$$

Para kW= 3360 y rpm= 150, se obtiene que:

$$M_t = \frac{9,55 \times 3360}{750} = 42,78 \text{ kN} \times \text{m}$$

Teniendo este dato en cuenta, se elegirá el acoplamiento RATO R G 312Z R, del catálogo que se muestra en el anexo, con un par nominal de 50 kN×m, con desplazamientos axial y radial de 7 y 17 mm, respectivamente.

CAPÍTULO 7. CÁLCULO DE LA UNIÓN EMPERNADA

7.1. DATOS DE LA BRIDA DEL REDUCTOR

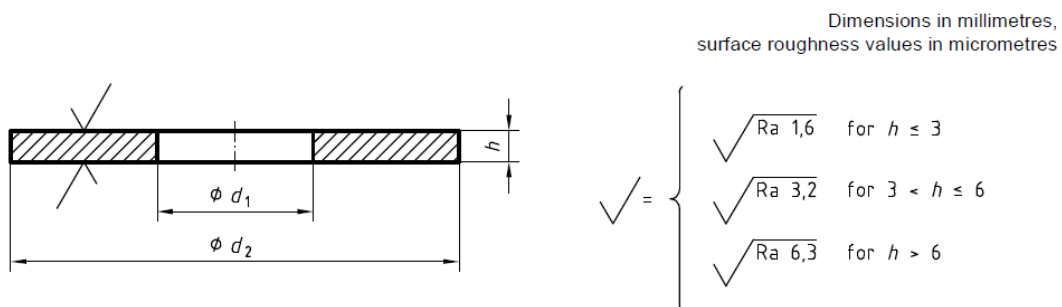
Se propone una brida de salida de potencia del reductor con las siguientes características:

| | |
|--------------------------|----------|
| Número de taladros | 8 |
| Diámetro de los taladros | 64 mm |
| Diámetro entre taladros | 592,6 mm |
| Espesor de la brida | 64 mm |

7.2. DIMENSIONES DE LA ARANDELA SEGÚN ISO 7089

Atendiendo a la norma ISO 7089, las arandelas serán ISO 7089-64 HV 200.

Figura 7. 1 Arandela ISO 7089



Norma ISO 7089

Tabla 7. 1 Dimensiones arandela 64 HV 200

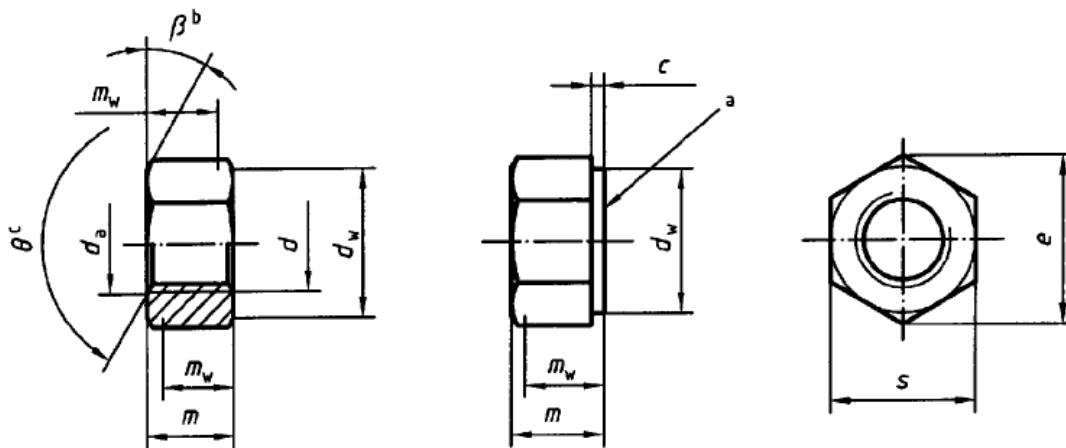
| Nominal size (Nominal thread diameter, d) | Clearance | | Outside diameter | | Thickness | | |
|---|----------------|---------|------------------|----------|-----------|-------|------|
| | d ₁ | | d ₂ | | h | | |
| | nom (mín) | máx | nom (máx) | mín | nom | máx | mín |
| 64 mm | 70 mm | 70,4 mm | 115 mm | 113,6 mm | 10 mm | 11 mm | 9 mm |

7.3. DIMENSIONES DE LA TUERCA SEGÚN ISO 4032

Atendiendo a la norma ISO 4032, se usarán tuercas hexagonales ISO 4032-M64-

8.

Figura 7. 2 Tuerca ISO 4032



Norma ISO 4032

7.4. CÁLCULOS POR SOCIEDAD DE CLASIFICACIÓN

7.4.1. Diámetro mínimo de los pernos

La calidad del material de los pernos, será la correspondiente a la de un perno de la clase 8.8, según ISO 4014.

El diámetro de los pernos es de 64 mm. Se comprobará su idoneidad.

Según las normas de la Sociedad de Clasificación volumen 2, Part 3, Chapter 2, Section 4.7.1, el diámetro de los pernos no debe ser menor que el obtenido en la siguiente fórmula:

$$d_b = \sqrt{\frac{240 \times 10^6 \times P}{n \times D \times \sigma_u \times R}} \quad \text{mm}$$

Donde:

- n = número de pernos
- D = diámetro primitivo entre centro de pernos (mm)
- σ_u = límite elástico de los pernos (N/mm^2)
- P = potencia (kW)
- R = revoluciones de la hélice

Comprobémoslo.

Los datos de partida son:

- $n = 8$
- $D = 592,6 \text{ mm}$

- $\sigma_u = 640 \text{ N/mm}^2$
- $P = 6518,4 \text{ kW}$
- $R = 150 \text{ rpm}$

$$d_b = \sqrt{\frac{240 \times 10^6 \times 6518,40}{8 \times 592,6 \times 640 \times 150}} = 58,63 \text{ mm}$$

Luego el diámetro de los pernos cumple esta norma.

7.4.2. *Espesor mínimo de la brida*

El espesor de la brida del acoplamiento OKF 320 es 64 mm.

Según las normas de la Sociedad de Clasificación en el volumen 2, Part 3, Chapter 2, Section 4.8.1, el espesor mínimo de la brida será igual al diámetro mínimo del perno.

En el apartado anterior se ha obtenido un diámetro mínimo de 58,63 mm. Luego el espesor de la brida cumple la norma.

7.5. CÁLCULO DE LA LONGITUD TOTAL DEL PERNO

La longitud del perno estará determinada por:

- Espesores de las bridas
- Espesor de la arandela
- Espesor de la tuerca

La longitud mínima viene dada por:

$$L = t_1 + t_2 + s + m$$

Donde:

t_1 = espesor brida del reductor

t_2 = espesor brida del eje

s = espesor de la arandela

m = espesor de la tuerca

Se usarán pernos de cabeza hexagonal ISO 4014-M64×260-8.8, arandelas ISO 7089-64 HV 200 y tuercas hexagonales ISO 4032-M64-8. Así que los datos son:

$t_1 = 64 \text{ mm}$

$t_2 = 64 \text{ mm}$

$s = 10 \text{ mm}$

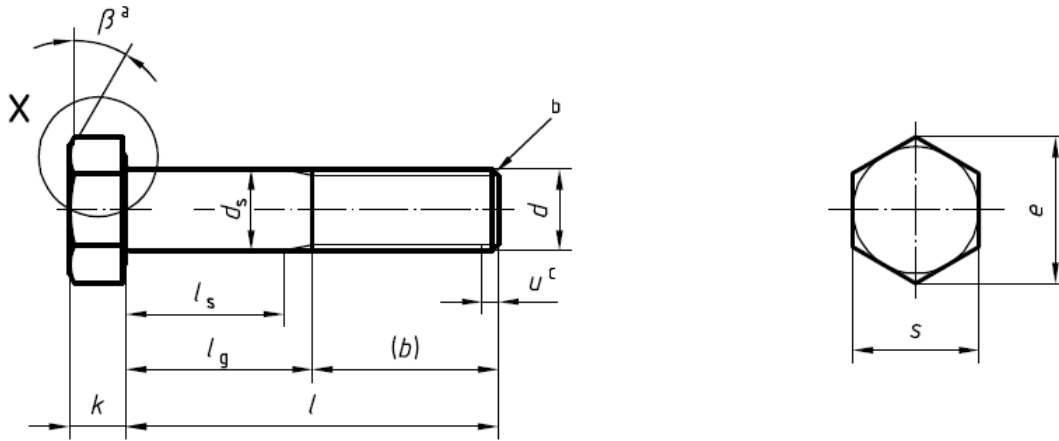
$m = 51 \text{ mm}$

Luego la longitud mínima es:

$$L = 64 + 64 + 10 + 51 = 189 \text{ mm}$$

Se usarán tornillos de 260 mm que son de una longitud mayor que la mínima exigida.

Figura 7. 3 Perno ISO 4014



Norma ISO 4014

Tabla 7. 2 Dimensiones M64x260-8.8

| d_1 | L | l_s | e | s |
|-------|--------|-------|-----------|-------|
| 64 mm | 260 mm | 77 mm | 104,86 mm | 95 mm |

7.6. CÁLCULOS DIRECTOS

Estos cálculos se realizarán para poder compararlos con los obtenidos por la Sociedad de Clasificación.

7.6.1. Diámetro de los pernos de la brida

Como norma, las características mecánicas del material de los pernos, ha de ser superior a la de las bridas que va a unir. Luego al menos serán de:

- $\sigma_{\max} = 600 \text{ N/mm}^2$
- $\sigma_{\text{elast}} = 330 \text{ N/mm}^2$

- $\tau_{\text{cort}} = 190,53 \text{ N/mm}^2$

Los pernos que se utilizarán serán de la clase 8.8 y, según la ISO 898-1, sus características mecánicas son:

- límite de rotura (σ_{max}) = 800 N/mm²
- límite elástico 640 N/mm²

Sabemos que:

$$\tau_{\text{cort}} = \frac{\sigma_{\text{elast}}}{\sqrt{3}}$$

Así que la τ_{cort} del perno clase 8.8 será:

$$\tau_{\text{cort}} = \frac{640}{\sqrt{3}} = 369,5 \text{ N/mm}^2$$

En una unión de bridas empernadas, los pernos transmiten el par torsor trabajando a esfuerzo cortante. La sección crítica del perno es la correspondiente a $\frac{\pi \times d^2}{4}$. Luego el esfuerzo cortante que tienen que soportar los pernos viene dado por la siguiente fórmula:

$$F_c = n_{\text{per}} \times \tau \times \pi \times \frac{d_{\text{per}}^2}{4} \quad (7.1)$$

Donde:

- n_{per} = Número de pernos
- τ = Tensión cortante del perno
- d_{per} = Diámetro de los pernos

Si D_p es el diámetro entre centros de pernos, la capacidad de transmisión de par torsor de los pernos trabajando a esfuerzo cortante es:

$$M_t = F_c \times \frac{D_p}{2} \quad (7.2)$$

Despejando de F_c de (7.2):

$$F_c = \frac{M_t \times 2}{D_p}$$

Y sustituyendo en (7.1) y operando convenientemente, se obtiene el esfuerzo cortante máximo que puede soportar cada perno:

$$\tau = \frac{F_c \times 4}{n_{\text{per}} \times \pi \times d_{\text{per}}^2}$$

Sabiendo que:

- $n_{\text{per}} = 8$
- $d_p = 64 \text{ mm}$
- $D_p = 592,6 \text{ mm}$
- $M_t = 415 \text{ kN}\times\text{m}$

Y haciendo los cálculos oportunos:

$$F_c = \frac{415 \times 10^6 \times 2}{592,6} = 1400623,69 \text{ N}$$

$$\tau = \frac{1400623,69 \times 4}{6 \times \pi \times 64^2} = 54,42 \text{ N/mm}^2$$

Obtenemos una tensión cortante de 54,42 N/mm² frente a los 369,5 N/mm². Se puede comprobar que existe un margen de seguridad de 6.79.

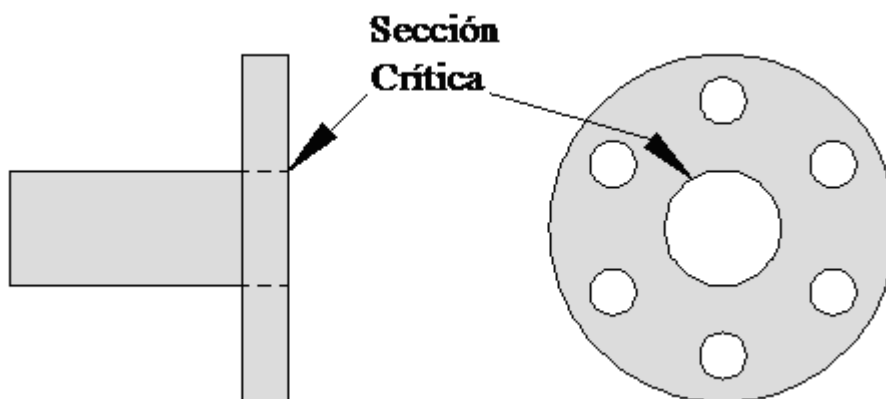
7.6.2. Espesor mínimo de la brida

El análisis del espesor mínimo de la brida se realizará a esfuerzos cortantes y a esfuerzos normales.

7.6.2.1. Análisis a esfuerzo cortante

Sabemos que la zona crítica es la unión de la brida al eje, o al núcleo del acoplamiento, también llamado cubo.

Figura 7. 4 Sección crítica de la brida



Si τ es la tensión cortante de trabajo que se permitirá al material de la brida, el momento que podrá transmitirse será:

$$M_t = \tau \times \pi \times D \times t \times \frac{D}{2} \quad (7.3)$$

Donde:

- D = Diámetro del eje o del cubo

- t = espesor mínimo de la brida

Despejando “ t ” de (7.3), se tendrá el espesor mínimo:

$$t = \frac{M_t \times 2}{\tau \times \pi \times D^2}$$

Los datos son:

- $M_t = 415 \text{ kN}\times\text{m}$
- $\tau_{\text{cort}} = 190,53 \text{ N/mm}^2$
- $D = 320 \text{ mm}$

Luego:

$$t = \frac{415 * 10^6 \times 2}{190,53 \times \pi \times 320^2} = 13,54 \text{ mm}$$

7.6.2.2. Análisis a esfuerzo normal

Los esfuerzos normales se producirán en la superficie de contacto entre los pernos y la brida.

Si σ es la tensión normal de trabajo que se permitirá al material de la brida, el momento que podrá transmitirse será:

$$M_t = \sigma \times d \times t \times n \times \frac{D_p}{2} \quad (7.4)$$

Donde:

- d = diámetro de los pernos
- t = espesor de la brida

- n = número de pernos
- D_p = diámetro entre centro de pernos

Despejando “ t ” de (7.4), se tendrá el espesor mínimo:

$$t = \frac{M_t \times 2}{\sigma \times d \times n \times D_p}$$

Los datos son:

- $M_t = 415 \text{ kN}\times\text{m}$
- $\sigma = 330 \text{ N/mm}^2$
- $d = 64 \text{ mm}$
- $n = 8$
- $D_p = 592,6 \text{ mm}$

Luego:

$$t = \frac{415 \times 10^6 \times 2}{330 \times 64 \times 8 \times 592,6} = 8,29 \text{ mm}$$

Conclusión:

Según los datos obtenidos en el análisis tanto a cortante como a normal, se tomará como espesor mínimo el de mayor valor, 13,54 mm, ya que con este espesor la brida será capaz de soportar los esfuerzos normales y cortantes.

CAPÍTULO 8. CÁLCULO DE LA SITUACIÓN DE LOS APOYOS

A continuación se mostrará la situación más adecuada de los apoyos.

Los cálculos se han realizado con un software de resistencia de materiales llamado DT Beam y teniendo en cuenta las características del eje.

Los segmentos de los ejes en los que se encuentran los acoplamientos se han considerado como tramos de un diámetro mayor: el diámetro exterior del acoplamiento.

La situación de los apoyos se ha obtenido tras varias pruebas, modificando la distancia de los apoyos que lo permitían.

Conocida estas distancias se obtendrán las reacciones que hay en cada apoyo, las tensiones axiales, los esfuerzos cortantes y la flecha máxima (δ) entre dos apoyos consecutivos.

8.1. DATOS DE PARTIDA PARA TRABAJAR CON SOFTWARE

Las unidades que se han usado para trabajar con el programa son las siguientes:

- Distancia entre los apoyos: mm
- Área: mm²
- Momentos de inercia: mm⁴
- Elasticidad del acero: kN/mm²
- Densidad del acero: kN/mm³

8.1.1. Cargas distribuidas por metro

8.1.1.1. Acoplamientos

- OKC 320: 10,26 kN
- OKC 370: 13,52 kN

8.1.1.2. Tramo de ejes

- Proa: 5,57 kN
- Intermedio: 7,69 kN
- Cola: 8,63 kN

8.1.2. Cargas puntuales

- Hélice: 71 kN

8.1.3. Área de las secciones

8.1.3.1. Segmentos de los ejes

- Proa: 70921,45 mm²
- Intermedio: 98017,69 mm²
- Cola: 109955,74 mm²

8.1.3.2. Segmentos de los acoplamientos

- OKC 320: 202868,35 mm²
- OKC 370: 273240,02 mm²

8.1.4. Momento de inercia

8.1.4.1. Segmentos de los ejes

- Proa: 1015063312,59 mm⁴
- Intermedio: 1825579491,00 mm⁴
- Cola: 2256841622,52 mm⁴

8.1.4.2. Segmentos de los acoplamientos

- OKC 320: 7163788454,2 mm⁴
- OKC 370: 12709076478 mm⁴

8.1.5. Módulo de elasticidad del acero (E)

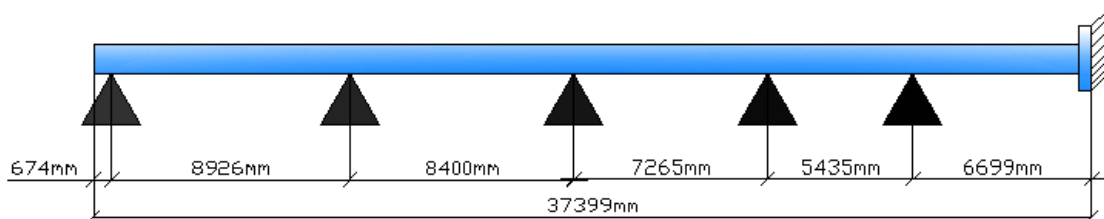
- Acero C45E: 206 kN/mm²

8.1.6. Densidad del acero (ρ)

- ρ : $7,85 \times 10^{-8}$ kN/mm³

8.1.7. Distancia entre los apoyos

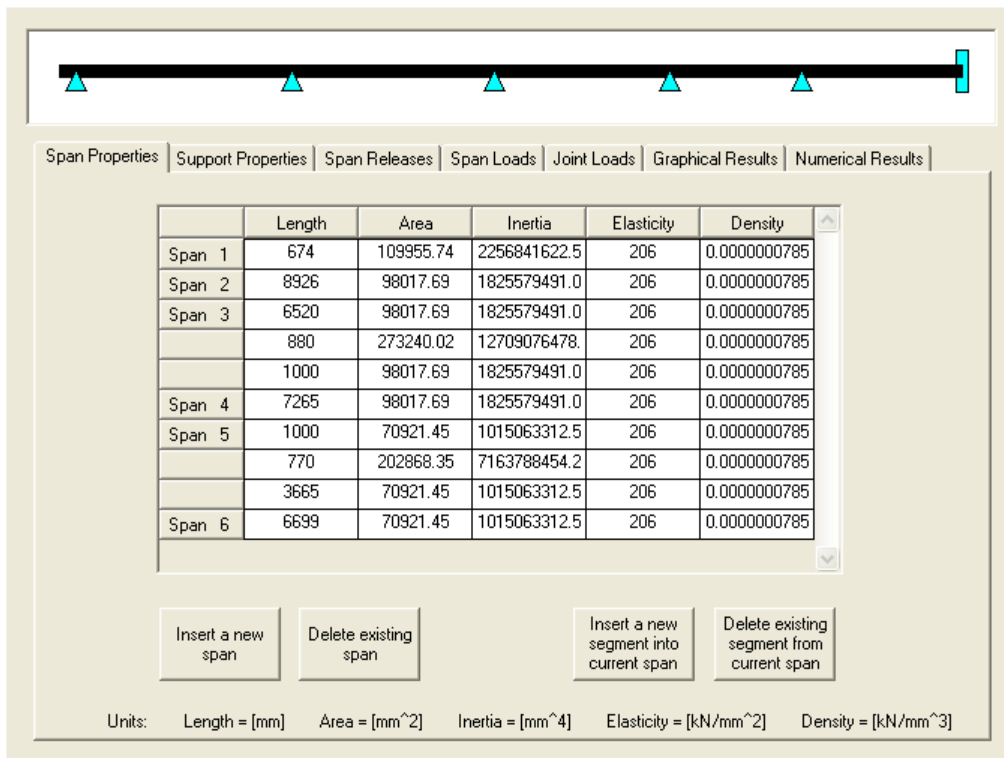
Figura 8. 1 Distancia entre apoyos



8.2. DATOS OBTENIDO CON EL SOFTWARE

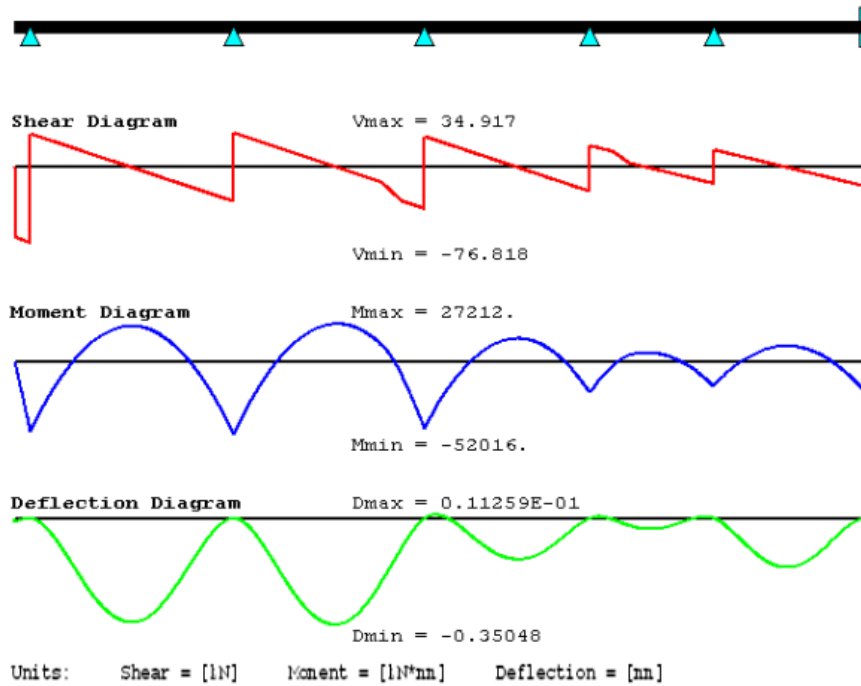
Tras introducir todos los siguientes datos en el programa:

Figura 8. 2 Datos introducidos en el software



Se han obtenido los siguientes resultados:

Figura 8. 3 Diagramas de cortante, momentos y flecha



Y que se detallan a continuación.

8.2.1. Reacciones en los apoyos

Tabla 8. 1 Reacciones en los distintos apoyos

| JOINT | X-REACTION | Y-REACTION | Z-MOMENT |
|-------|------------|------------|--------------|
| 1 | 0,00000 | 110.91106 | 0,00000 |
| 2 | 0,00000 | 69.50400 | 0,00000 |
| 3 | 0,00000 | 73.28191 | 0,00000 |
| 4 | 0,00000 | 46.35127 | 0,00000 |
| 5 | 0,00000 | 34.22748 | 0,00000 |
| 6 | 0,00000 | 19.38856 | -22474.40501 |

8.2.2. Esfuerzos cortantes máximos y mínimos

$$V_{\max} = 34,917 \text{ kN}$$

$$V_{\min} = -76,818 \text{ kN}$$

8.2.3. Momentos máximos y mínimos

$$M_{\max} = 27212 \text{ kN}\times\text{mm}$$

$$M_{\min} = -52016 \text{ kN}\times\text{mm}$$

8.2.4. Flexión máxima y mínima

La flecha máxima entre dos apoyos consecutivos debe ser, en valor absoluto, igual o menor a un milímetro en cada tramo.

$$D_{\max} = 0,01 \text{ mm}$$

$$D_{\min} = -0,35 \text{ mm}$$

8.3. COMPROBACIÓN POR CÁLCULO DIRECTO CON LOS DATOS OBTENIDOS

Hay que hallar el límite elástico y comprobar que es inferior al 30% del límite de elasticidad del material del eje, 330 N/mm^2 .

$$330 \times 0,3 = 99 \text{ N/mm}^2$$

Luego hay que comprobar que el límite elástico sea inferior a 99 N/mm^2 .

El límite elástico viene dado por:

$$\sigma_{\text{axial}} = \frac{32 \times |M_f| \times D}{\pi \times (D^4 - d^4)}$$

Donde:

- σ_{axial} = sigma axial ó de fluencia (N/mm^2)
- M_f = momento flector (N)
- D = diámetro exterior del eje (mm)
- d = diámetro interior del eje (mm)

Los datos son:

- $M_f = 87358000$ N
- $D = 390$ mm
- $d = 110$ mm

Luego:

$$\sigma_{axial} = \frac{32 \times 87358000 \times 390}{\pi \times (390^4 - 110^4)} = 15,10 \text{ N/mm}^2$$

Así que: $15,10 \text{ N/mm}^2 < 26,94 \text{ N/mm}^2$.

CAPÍTULO 9. ELECCIÓN DE LOS APOYOS Y SELLOS DE BOCINA

9.1. APOYOS

Debido a la gran longitud que tienen los ejes de transmisión de potencia, es muy importante que éstos mantengan su alineación y geometría de diseño. Ésta se consigue intercalando uno ó varios apoyos entre el primer punto de apoyo, que será el más cercano a la hélice, y el último, que será la unión del eje con la caja de engranajes.

Estos soportes deben facilitar la transmisión de potencia, reduciendo al máximo las pérdidas por fricción entre el cojinete y el eje.

Dependiendo de la situación del apoyo se puede diferenciar entre:

- Apoyo del arbotante: es el más cercano a la hélice.
- Apoyos del tubo de bocina: estarán ubicados dentro del tubo de bocina.
- Apoyos intermedios: situados dentro del casco del buque.

Es importante que el material:

- tenga un coeficiente de rozamiento reducido.
- sea un buen transmisor del calor para que no se produzca una acumulación excesiva de calor, dañando o perjudicando el ajuste creado.
- tenga una cierta dureza para evitar que se deforme por la carga que actúa sobre él.

Entre los materiales que cumplen estas propiedades, podemos encontrar:

- Metales blancos: son aleaciones de metales blandos (estaño, plomo, etc.), de bajo punto de fusión, que se funden sobre un soporte metálico al que se adhieren fuertemente y, posteriormente, son mecanizados con grado fino. Generalmente operan con lubricación de aceite.
- Materiales sintéticos rígidos: son derivados plásticos como el tufnol. Son fácilmente mecanizables. Presentan coeficientes de fricción muy bajos, incluso algunos no necesitan lubricación adicional; éstos reciben el nombre de “auto- lubricados”.
- Materiales sintéticos flexibles: son derivados de la goma y caucho; también se vulcanizan sobre un soporte similar a los del metal blando. Esta composición es poco rígida, permitiendo una cierta elasticidad en el soportado que absorbe ruidos y vibraciones. Son especialmente utilizados en arbotantes y bocinas para aprovechar su principal particularidad, como es la lubricación con agua de mar y su inalterabilidad ante ésta.

Principalmente, los apoyos se pueden clasificar, por su forma constructiva, en dos grandes grupos: cojinetes de fricción y cojinetes de rodamiento.

Los cojinetes de fricción son unos casquillos de materiales antifricción, sobre los que se apoyan los ejes para que puedan girar. Pueden ser de una pieza, lo que conlleva a que su montaje sea axialmente, ó compuesto por dos o más sectores, lo que nos facilitaría el montaje y desmontaje.

Tienen la ventaja de su marcha tranquila y silenciosa y que pueden construirse partidos en dos, haciendo posible un montaje y desmontaje radial.

Tienen el inconveniente de que no son indicados en los casos en que se deseen elevado número de revoluciones, a no ser que la carga que gravita sobre ellos sea mínima.

En los cojinetes de rodamientos, se intercalan entre el eje y el soporte, una pista exterior y otra interior. Entre ellas, se alojan unas bolas o rodillos que sustituyen el rozamiento de fricción por el de rodadura, que es mucho menor.

Tienen las ventajas de que el calentamiento y el desgaste son pequeños, admiten mayores presiones, tanto radiales como axiales, y permiten mayores velocidades.

9.2. CÁLCULO DE LOS COJINETES DE LOS APOYOS

Se usarán cojinetes de metal blanco con base de plomo (SnSb12Cu6Pb) del fabricante Cedervall & Söner. La fijación del cojinete al tubo de bocina se hará mediante resina de epoxi. Por ello, habrá que tener en cuenta refrigeración positiva, orificios de venteo en la parte superior y sensores de temperatura a distancia con alarma, según la Sociedad de Clasificación Volumen 2, Part 3, Chapter 2 Section 4.16.1.

El eje tendrá un incremento de seis milímetros de diámetro en cada punto de apoyo, con una longitud igual a la longitud del apoyo más cien milímetros. Este incremento de diámetro permitiría realizar, si fuese necesario, rectificadores de la superficie de contacto del eje, sin llegar a reducir el diámetro exterior de diseño.

Según la Sociedad de Clasificación Volumen 2, Part 3, Chapter 2 section 4.16.2., la longitud de los cojinetes de cola refrigerados por aceite, será aproximadamente dos veces su diámetro y la presión nominal que soportan no excederá de $0,8 \text{ N/mm}^2$. La longitud de los demás cojinetes de bocina no será inferior a una vez y medio el diámetro del eje que portan.

Para los cálculos se deben conocer los siguientes datos:

- Diámetro exterior del eje.
- Carga estática en el apoyo.
- Longitud mínima del cojinete.
- Material del cojinete.
- Tipo de refrigeración.

Las cargas estáticas de los apoyos son las reacciones obtenidas con el software en el capítulo anterior.

La presión nominal que soportará cada cojinete se obtendrá de la siguiente fórmula:

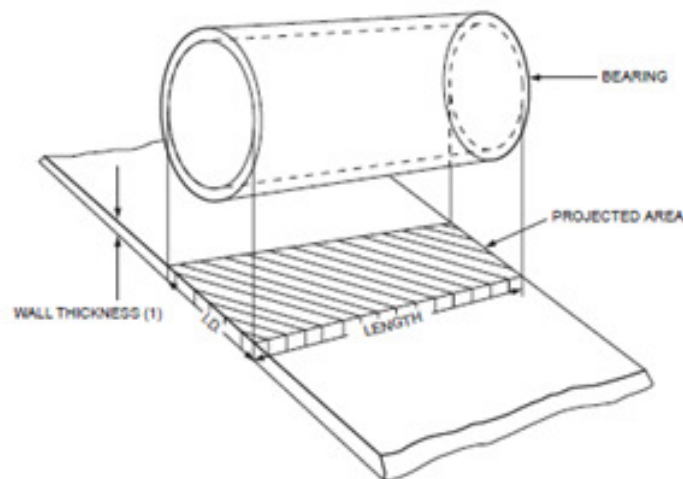
$$P = \frac{R}{D \times L} \text{ (N/mm}^2\text{)}$$

Donde:

- P = presión nominal
- R = reacción en el apoyo
- L = longitud del cojinete

La deducción de la fórmula anterior la podemos ver en la siguiente imagen:

Figura 9.1 Presión de trabajo cojinete



Apuntes Cálculo Estructural

9.2.1. Cojinete del primer apoyo (popa del tubo de bocina)

Datos:

- Diámetro exterior del eje: 390 mm
- Carga estática en el apoyo: 110,91106 kN \Rightarrow 110911 N según datos obtenidos del software de cálculo.

La longitud mínima, por Sociedad de Clasificación, viene dada por:

$$L = 2 \times D \text{ (mm)} \Rightarrow L = 2 \times 390 = 780 \text{ mm}$$

Teniendo en cuenta que el cojinete del arbotante es el que más desgaste puede tener por el peso de la hélice, se ha redimensionado hasta 800 mm.

Luego la presión nominal del primer apoyo será:

$$P = \frac{110911}{390 \times 800} = 0,36 \text{ N/mm}^2$$

Se ha seleccionado el apoyo Size 31-40 (de longitud 800 mm) del catálogo Cedervall sterntube bearings que se muestra en el anexo.

9.2.2. Cojinete del segundo apoyo

Datos:

- Diámetro exterior del eje: 370 mm
- Carga estática en el apoyo: 69,504 kN \Rightarrow 69504 N según datos obtenidos del software de cálculo.

La longitud mínima por Sociedad de Clasificación es:

$$L = 1,5 \times D \text{ (mm)} \Rightarrow L = 1,5 \times 370 = 555 \text{ mm}$$

Se ha redimensionado a 600 mm.

Luego la presión nominal del segundo apoyo será:

$$P = \frac{69504}{370 \times 600} = 0,31 \text{ N/mm}^2$$

Se ha seleccionado el apoyo Size 31-40 (de longitud 600 mm) del catálogo Cedervall sterntube bearings que se muestra en el anexo.

9.2.3. Cojinete del tercer apoyo

Datos:

- Diámetro exterior del eje: 370 mm
- Carga estática en el apoyo: 73,28191 kN \Rightarrow 73281 N según datos obtenidos del software de cálculo.

La longitud mínima por Sociedad de Clasificación es:

$$L = 1,5 \times D \text{ (mm)} \Rightarrow L = 1,5 \times 370 = 555 \text{ mm}$$

Se ha redimensionado a 600 mm.

Luego la presión nominal del tercer apoyo será:

$$P = \frac{73281}{370 \times 600} = 0,33 \text{ N/mm}^2$$

Se ha seleccionado el apoyo Size 31-40 (de longitud 600 mm) del catálogo Cedervall sterntube bearings que se muestra en el anexo.

9.2.4. Cojinete del cuarto apoyo (proa del tubo de bocina)

Datos:

- Diámetro exterior del eje: 370 mm
- Carga estática en el apoyo: 46,35127 kN \Rightarrow 46351 N según datos obtenidos del software de cálculo.

La longitud mínima por Sociedad de Clasificación es:

$$L = 1,5 \times D \text{ (mm)} \Rightarrow L = 1,5 \times 370 = 555 \text{ mm}$$

Se ha redimensionado a 600 mm

Luego la presión nominal del cuarto apoyo será:

$$P = \frac{46351}{370 \times 600} = 0,21 \text{ N/mm}^2$$

Se ha seleccionado el apoyo Size 31-40 (de longitud 600 mm) del catálogo Cedervall sterntube bearings que se muestra en el anexo.

9.2.5. Cojinete del apoyo intermedio (cámara de máquinas)

Datos:

- Diámetro exterior del eje: 320 mm
- Carga estática en el apoyo: 34,22748 kN \Rightarrow 34227 N según datos obtenidos del software de cálculo.

El fabricante, para este tipo de apoyos, proporciona la longitud del cojinete en función del diámetro exterior del eje. Se ha seleccionado el apoyo Size 320 (de longitud 510 mm) del catálogo Cedervall Intermediate Shaft Bearings que se muestra en el anexo.

Comprobemos si cumple con la Sociedad de Clasificación respecto a su longitud.

$$L = 1,5 \times D \text{ (mm)} \Rightarrow L = 1,5 \times 320 = 480 \text{ mm}$$

Sí cumple con la Sociedad de Clasificación ya que $510 > 480$.

Luego la presión nominal del apoyo intermedio será:

$$P = \frac{34227}{320 \times 510} = 0,21 \text{ N/mm}^2$$

Resumiendo:

Tabla 9. 1 Longitud cojinetes

| | L_{\min} (mm) | P (N/mm ²) | L_{cojinete} (mm) | $P_{\text{nominal cojinete}}$ (N/mm ²) |
|-----------------------|-----------------|------------------------|----------------------------|--|
| 1 ^{er} apoyo | 780 | 0,36 | 800 | 0,36 |
| 2 ^o apoyo | 555 | 0,31 | 600 | 0,31 |
| 3 ^{er} apoyo | 555 | 0,28 | 600 | 0,33 |
| 4 ^o apoyo | 555 | 0,21 | 600 | 0,21 |
| 5 ^o apoyo | 480 | 0,22 | 510 | 0,21 |

Donde:

- $L_{\text{mín}}$ = longitud mínima exigida por la Sociedad de Clasificación.
- P = presión obtenida según fórmula.
- L_{cojinete} = longitud del cojinete seleccionado.
- $P_{\text{nominal cojinete}}$ = presión nominal del cojinete seleccionado.

9.3. SELLOS DE BOCINA

Los sellos de bocina serán dos: uno a popa y otro a proa del tubo de bocina. Ambos serán del fabricante Cedervall & Söner.

El sello de popa será Size 16, para diámetro exterior de eje de 378 mm a 396 mm, como se muestra en el catálogo del anexo.

El sello de proa será Size 15, para diámetro exterior de eje de 359 mm a 377 mm, como se muestra en el catálogo del anexo.

9.4. PASAMAMPARO ESTANCO DEL EJE

El pasamamparo será size 320 para diámetro exterior de eje de 301 mm a 320 mm como se muestra en el catálogo anexo.

Será suministrado por el fabricante Blohm + Voss Industries.

BIBLIOGRAFÍA

Apuntes de la asignatura de Cálculo Estructural

Rules and Regulations for the Classification of Naval Ships Lloyd's Register, Edición 2002

Norma ISO 4032 tercera edición 1999-03-15, Hexagon nuts, style 1-Product grade A and B

Norma ISO 4014 tercera edición 1999-09-01, Hexagon head bolts-Product grade A and B

Norma ISO 7089 segunda edición 2000-06-01, Plain washers-Normal series-Product grade A.

Norma ISO 898-1 tercera edición 1999-08-01, Mechanical properties of fasteners of carbon steel and alloy steel.

Manual imprescindible de Autocad 2000, Antonio Manuel Reyes Rodríguez, primera edición, septiembre 1999.

Guía práctica Autocad 2010, Fernando Montaña La Cruz EDICIONES ANAYA MULTIMEDIA, 2010.

SOFTWARE UTILIZADOS

Autocad 2007

Microsoft Office 2003

DT Beam versión 1.0

PÁGINAS WEB CONSULTADAS

<http://www.answers.com/topic/combined-diesel-and-diesel>

http://www.vulkan.com/fileadmin/product_db/assets/RATO%20RTechnical%20Data.pdf

<http://www.ingenierosnanales.com/docurevista/PAG.%2051-61.pdf>

http://www.skf.com/iec_documents/OK_1.pdf

http://www.mandieselturbo.com/article_004544.html

<http://translate.google.es>

<http://www.rae.es/rae.html>

<http://imistorage.blob.core.windows.net/imidocs/2100p008%20sterntube%20bearings.pdf>

<http://www.cedervall.com/images/pdf/produkter/CEDN.pdf>

Anexo

OK shaft couplings



Contents

| | |
|----|--|
| 3 | The clever connection |
| 4 | The OK coupling explained |
| 6 | OKC 100 - 190 |
| 7 | OKC 200 - 400 |
| 8 | OKC 410 - 490 |
| 8 | OKC 500 - 520 |
| 9 | OKC 530 - 1000 |
| 10 | OKF 100 - 300 |
| 11 | OKF 310 - 700 |
| 12 | OKCS 178 - 360 |
| 13 | OKTC 245 - 790 |
| 14 | Tailor-made OK couplings |
| 15 | Power transmission capacity |
| 15 | Safety factors |
| 16 | Shafts |
| 16 | Conversion tables |
| 17 | Hollow shafts for OKC |
| 17 | Hollow shafts for OKCS and OKF |
| 18 | Modular equipment for mounting and dismounting |
| 20 | Oil |
| 20 | Approved by leading classification societies |
| 21 | Locating device for outer sleeve |
| 21 | Mounting arrangements for OKC couplings |
| 22 | The Supergrip bolt cuts down on downtime |

The clever connection

When using the OK couplings for shaft connections, you take advantage of our powerful oil injection method.

Preparation of the shaft is simple. No keyways to machine, no taper and no thrust ring.

When mounting the OK coupling, a thin inner sleeve with a tapered outer diameter slides onto the shaft. A thick outer sleeve with a matching tapered inner surface fits onto the inner sleeve.

Ordinary mineral oil is then injected between the sleeves. A built-in hydraulic jack drives the outer sleeve up the taper of the inner sleeve.

When the outer sleeve has reached its final position an interference fit is created – just as if the outer sleeve had been heated and shrunk on. But no heat is required, and the coupling can be removed as easily as it was mounted.

This powerful use of friction enables the OK coupling to transmit torque and axial loads over the entire area of the shaft. There are no stress raisers at the keyway. And no fretting when high shock or reversing loads exist.



*Make it the clever way!
Let the OK coupling work for you.
You'll save both time and money!*

The OK couplings explained

With the OKC and OKF couplings SKF presents benefits impossible to achieve with traditional couplings. The simplicity of mounting and dismounting and the high torque transmission capacity characterised by the OK couplings are achieved using a powerful friction joint. The five stages below illustrate the principle.

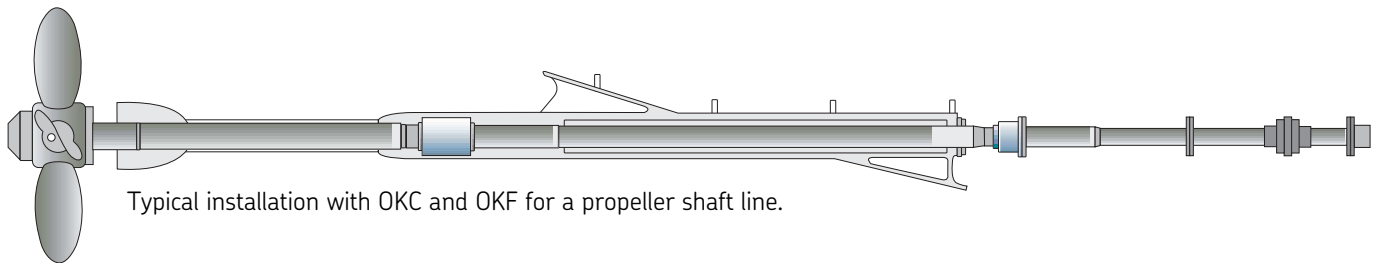
Up to 2005 more than 36,000 couplings have been delivered for use in many various applications.

The OKC coupling (see figure 1 on page 5) has been on the market since the early 40s. OKC couplings are the standard with many well-known controllable pitch propeller manufacturers in the world, but are also used for other applications such as rolling mills, pumps, diesel engines, etc.

The OKCS coupling evolved from a special design for engine builders where the torque requirements were less stringent compared to the shaft diameter.

The OKF coupling (see figure 2 at page 5) was developed to create a simple connection between a cylindrical shaft and engines or gearboxes having a flanged at the thrust shaft. The OKF coupling is available with or without a hydraulic unit for mounting/dismounting. Since the coupling is mounted on a cylindrical shaft and not fixed by keyways, it can easily be adjusted axially and rotated to the desired position.

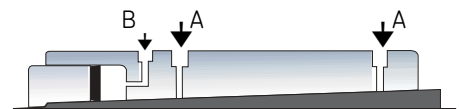
The OK coupling's higher torque capacity is obtained due to the entire contact surface transmitting torque as opposed to conventional couplings. Since there is no need for keyways, the dimensions of the shafts and the couplings can be reduced. The OK coupling assures a simplified mounting and dismounting procedure. Very large couplings, which previously could only be shrunk on after heating, can now be assembled cold with the OK method.



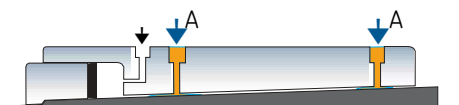
Typical installation with OKC and OKF for a propeller shaft line.

And this is what happens...

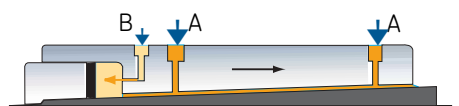
1. The coupling is put into position. High pressure injectors are connected to A, and a low pressure to the hydraulic chamber B.



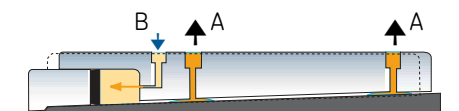
2. Oil is injected into A under high pressure, building up an oil film between the inner and outer sleeves, eliminating metallic contact and reducing friction forces.



3. When there is a good oil film between the sleeves, oil leaks out at the thick end of the inner sleeve. Oil is pumped into B and the outer sleeve starts moving up the taper. Oil is continuously injected between the sleeves (A), in order to avoid metallic contact.



4. The coupling has reached its final position when the outer diameter of the coupling has grown by a predetermined value. The oil pump is stopped, but pressure in B must remain. Pressure in A is released.



5. When oil has drained from the contact surfaces of the two sleeves and friction has been restored, low pressure B is released. All oil connections are plugged. The exposed parts of the coupling are covered with a rust preventive and the coupling is ready for years of trouble-free operation.



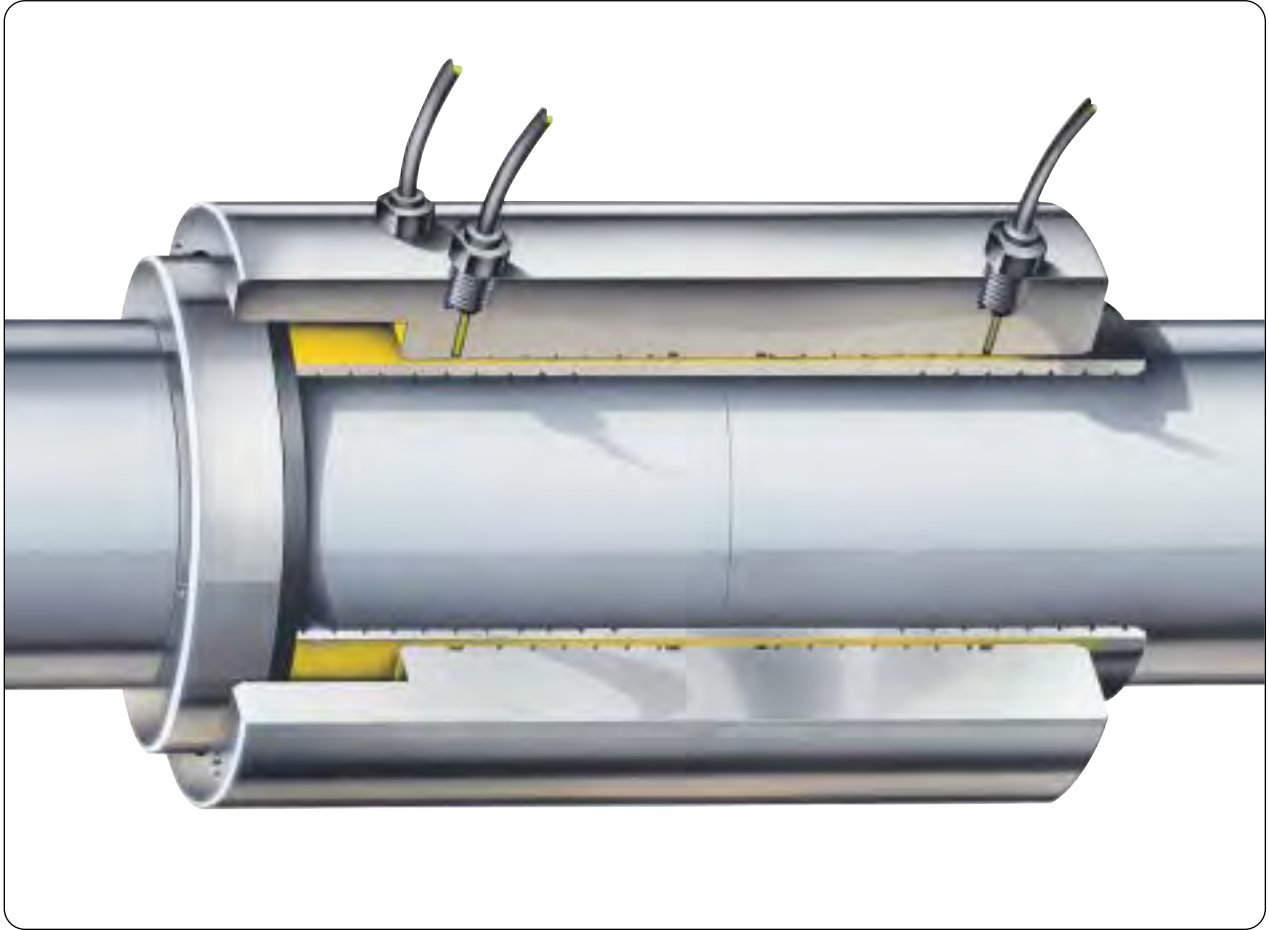


Fig. 1 The OKC coupling.

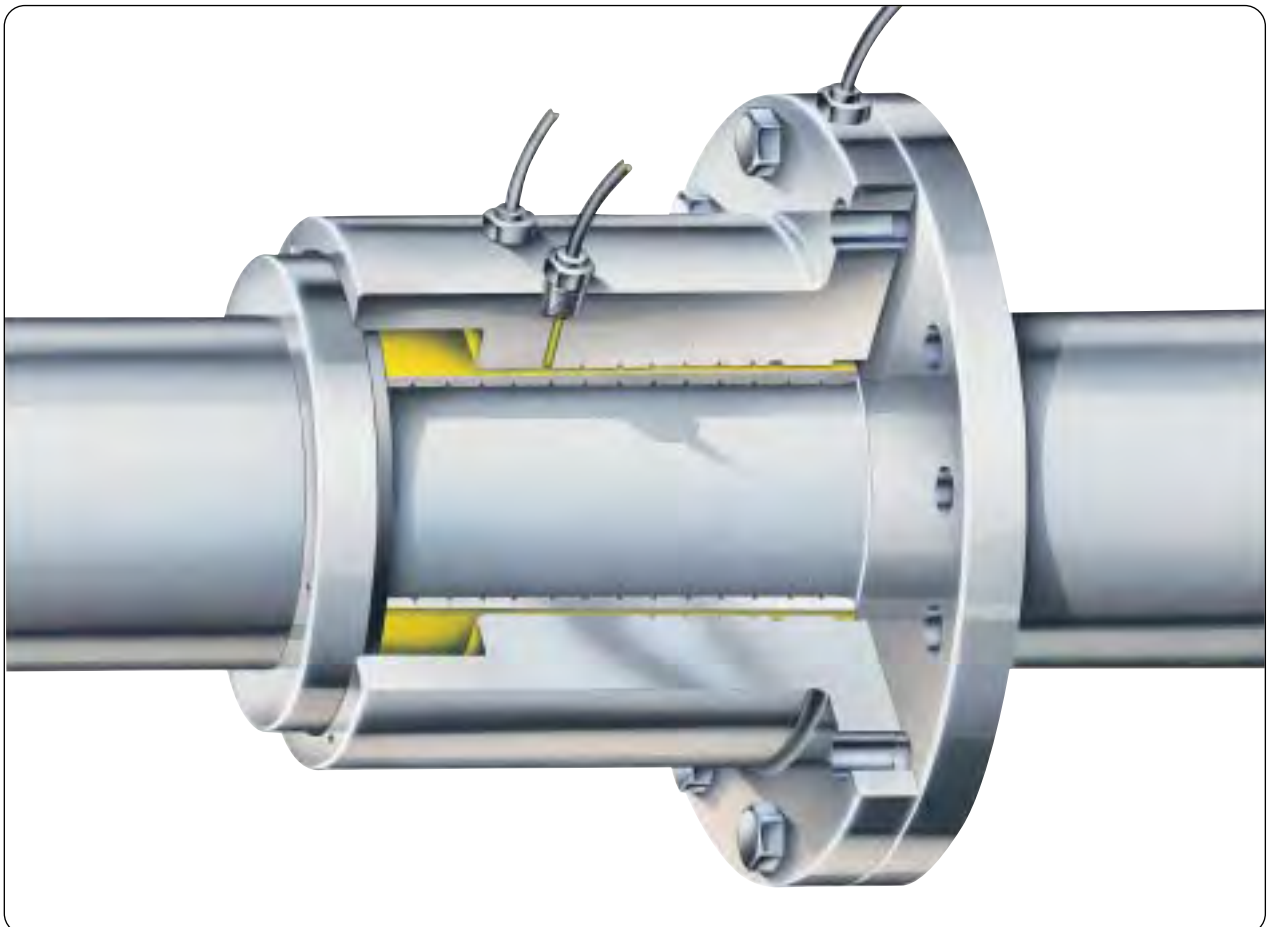
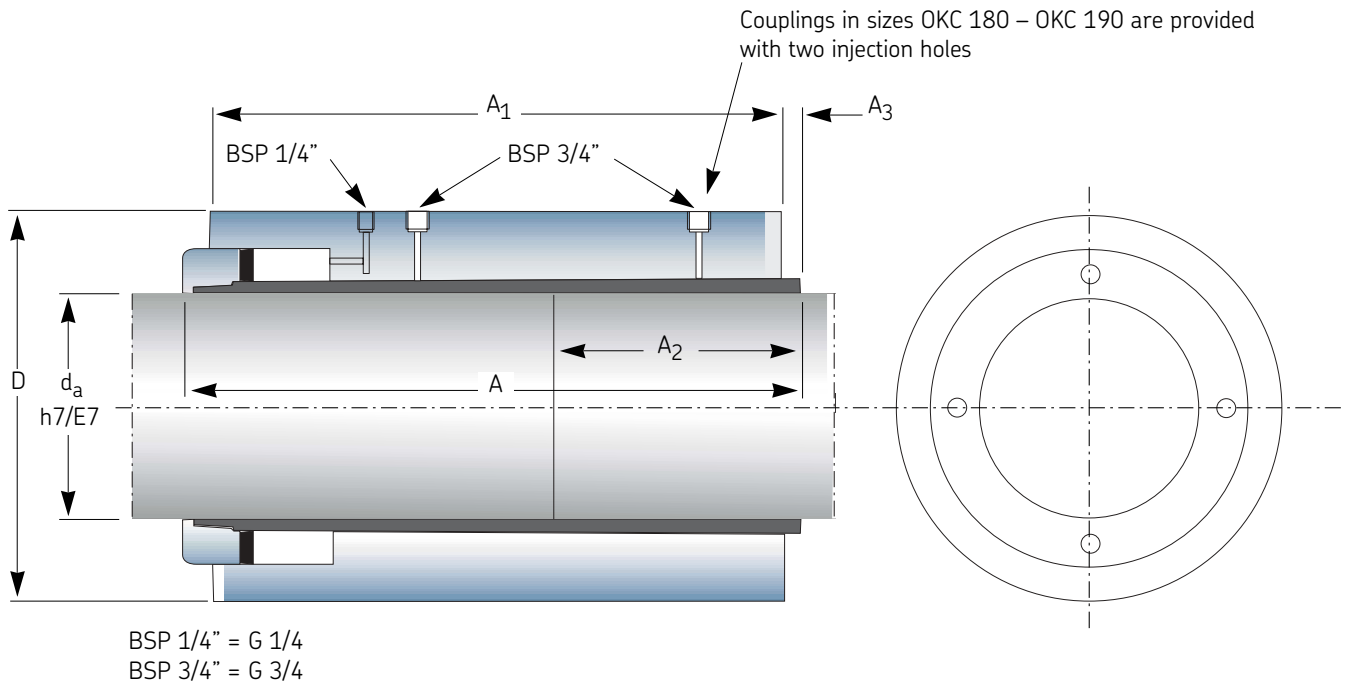


Fig. 2 The OKF coupling.

OKC 100 – 190



| Designation ¹⁾ | d_a mm | D mm | A mm | A_1 mm | A_2 mm | A_3 ²⁾ mm | D ³⁾ mm | Mass kg | $M_t \text{ max.}$ ⁴⁾ kNm |
|---------------------------|-------------|-----------|-----------|-------------|-------------|---------------------------|-------------------------|------------|---|
| OKC 100 | 100 | 170 | 275 | 260 | 108 | 8 | 0.16 | 30 | 26.0 |
| OKC 110 | 110 | 185 | 296 | 280 | 118 | 8 | 0.17 | 38 | 34.6 |
| OKC 120 | 120 | 200 | 322 | 300 | 130 | 10 | 0.18 | 48 | 44.9 |
| OKC 130 | 130 | 215 | 344 | 325 | 140 | 10 | 0.21 | 58 | 57.1 |
| OKC 140 | 140 | 230 | 373 | 350 | 150 | 10 | 0.23 | 71 | 71.3 |
| OKC 150 | 150 | 250 | 396 | 370 | 162 | 12 | 0.23 | 91 | 87.7 |
| OKC 160 | 160 | 260 | 420 | 395 | 172 | 12 | 0.27 | 101 | 107 |
| OKC 170 | 170 | 280 | 442 | 415 | 182 | 12 | 0.27 | 125 | 128 |
| OKC 180 | 180 | 300 | 475 | 445 | 195 | 15 | 0.28 | 155 | 152 |
| OKC 190 | 190 | 310 | 505 | 475 | 205 | 15 | 0.31 | 175 | 179 |

¹⁾ Couplings for shafts of intermediate diameters are, for instance, designated OKC 148.

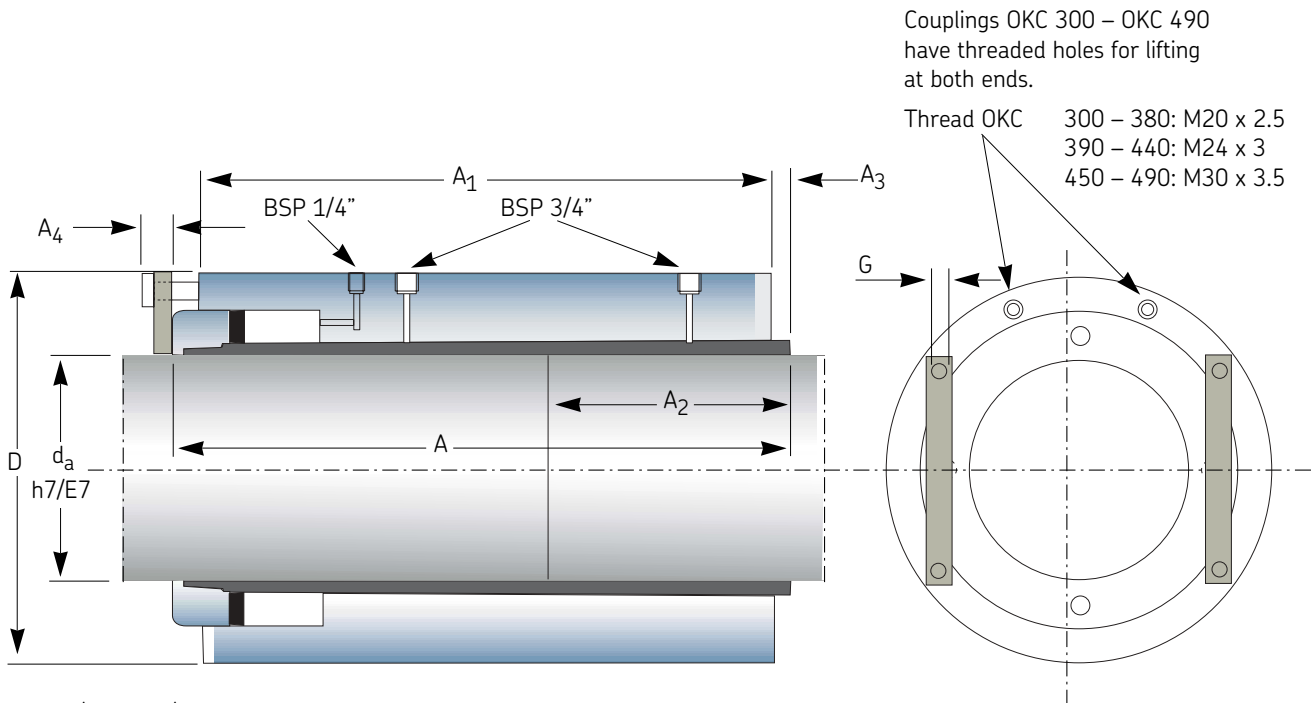
²⁾ May be slightly greater or smaller when Δ is reached, depending on how the tolerance of coupling seatings and coupling bore have been used. See also Mounting Instructions.

³⁾ Increase of outer diameter, D , after mounting.

⁴⁾ The safety factor referred to on page 15 must be applied to obtain the permissible torque.

Note: Required free length on one shaft for installation $A + 75$ mm.

OKC 200 – 400



Couplings OKC 300 – OKC 490 have threaded holes for lifting at both ends.

Thread OKC 300 – 380: M20 x 2.5
 390 – 440: M24 x 3
 450 – 490: M30 x 3.5

BSP 1/4" = G 1/4
 BSP 3/4" = G 3/4

| Designation ¹⁾ | d_a mm | D mm | A mm | A_1 mm | A_2 mm | A_3 ²⁾ mm | A_4 mm | Δ ³⁾ mm | G | Mass kg | M_t max. ⁴⁾ kNm |
|---------------------------|-------------|-----------|-----------|-------------|-------------|---------------------------|-------------|------------------------------|----------|------------|---------------------------------|
| OKC 200 | 200 | 330 | 525 | 500 | 215 | 15 | 30 | 0.31 | M12-(4x) | 215 | 208 |
| OKC 210 | 210 | 340 | 550 | 520 | 225 | 15 | 30 | 0.35 | M12-(4x) | 230 | 241 |
| OKC 220 | 220 | 360 | 575 | 540 | 235 | 15 | 30 | 0.35 | M12-(4x) | 265 | 277 |
| OKC 230 | 230 | 370 | 600 | 565 | 250 | 20 | 30 | 0.38 | M12-(4x) | 285 | 317 |
| OKC 240 | 240 | 390 | 620 | 585 | 260 | 20 | 30 | 0.38 | M12-(4x) | 330 | 360 |
| OKC 250 | 250 | 400 | 645 | 610 | 270 | 20 | 30 | 0.41 | M12-(4x) | 350 | 407 |
| OKC 260 | 260 | 420 | 670 | 635 | 280 | 20 | 30 | 0.42 | M12-(4x) | 410 | 457 |
| OKC 270 | 270 | 440 | 690 | 655 | 290 | 20 | 30 | 0.42 | M12-(4x) | 470 | 512 |
| OKC 280 | 280 | 450 | 715 | 680 | 300 | 20 | 30 | 0.46 | M12-(4x) | 510 | 571 |
| OKC 290 | 290 | 470 | 740 | 700 | 315 | 25 | 30 | 0.46 | M12-(4x) | 580 | 634 |
| OKC 300 | 300 | 480 | 773 | 730 | 325 | 25 | 27 | 0.50 | M16-(4x) | 625 | 702 |
| OKC 310 | 310 | 500 | 793 | 750 | 335 | 25 | 27 | 0.50 | M16-(4x) | 700 | 775 |
| OKC 320 | 320 | 520 | 818 | 770 | 345 | 25 | 27 | 0.50 | M16-(4x) | 790 | 852 |
| OKC 330 | 330 | 530 | 843 | 795 | 355 | 25 | 27 | 0.54 | M16-(4x) | 830 | 935 |
| OKC 340 | 340 | 550 | 863 | 815 | 365 | 25 | 27 | 0.54 | M16-(4x) | 930 | 1020 |
| OKC 350 | 350 | 560 | 888 | 840 | 375 | 25 | 27 | 0.57 | M16-(4x) | 980 | 1120 |
| OKC 360 | 360 | 580 | 908 | 860 | 385 | 25 | 27 | 0.58 | M16-(4x) | 1080 | 1220 |
| OKC 370 | 370 | 600 | 928 | 880 | 395 | 25 | 27 | 0.58 | M16-(4x) | 1190 | 1320 |
| OKC 380 | 380 | 610 | 958 | 905 | 410 | 30 | 27 | 0.61 | M16-(4x) | 1250 | 1430 |
| OKC 390 | 390 | 630 | 983 | 925 | 420 | 30 | 27 | 0.62 | M16-(4x) | 1370 | 1550 |
| OKC 400 | 400 | 640 | 1003 | 950 | 430 | 30 | 27 | 0.65 | M16-(4x) | 1440 | 1670 |

Shaft couplings

OKC 410 – 490

| Designation ¹⁾ | d _a mm | D mm | A mm | A ₁ mm | A ₂ mm | A ₃ ²⁾ mm | A ₄ mm | Δ ³⁾ mm | G | Mass kg | M _{t max.} ⁴⁾ kNm |
|---------------------------|----------------------|---------|---------|----------------------|----------------------|------------------------------------|----------------------|-----------------------|----------|------------|--|
| OKC 410 | 410 | 660 | 1028 | 975 | 440 | 30 | 27 | 0.66 | M16-(4x) | 1580 | 1800 |
| OKC 420 | 420 | 680 | 1053 | 995 | 450 | 30 | 27 | 0.67 | M16-(4x) | 1730 | 1930 |
| OKC 430 | 430 | 690 | 1073 | 1015 | 460 | 30 | 27 | 0.69 | M16-(4x) | 1800 | 2070 |
| OKC 440 | 440 | 710 | 1098 | 1040 | 470 | 30 | 27 | 0.69 | M16-(4x) | 1960 | 2220 |
| OKC 450 | 450 | 720 | 1123 | 1065 | 485 | 35 | 27 | 0.74 | M16-(4x) | 2050 | 2370 |
| OKC 460 | 460 | 740 | 1148 | 1085 | 495 | 35 | 27 | 0.74 | M16-(4x) | 2200 | 2530 |
| OKC 470 | 470 | 750 | 1170 | 1110 | 505 | 35 | 27 | 0.77 | M16-(4x) | 2290 | 2700 |
| OKC 480 | 480 | 760 | 1195 | 1135 | 515 | 35 | 27 | 0.80 | M16-(4x) | 2360 | 2880 |
| OKC 490 | 490 | 780 | 1215 | 1155 | 525 | 35 | 27 | 0.81 | M16-(4x) | 2530 | 3060 |

1) Couplings for shafts of intermediate diameters are, for instance, designated OKC 299.

2) May be slightly greater or smaller when Δ is reached, depending on how the tolerance of coupling seatings and coupling bore have been used. See also Mounting Instructions.

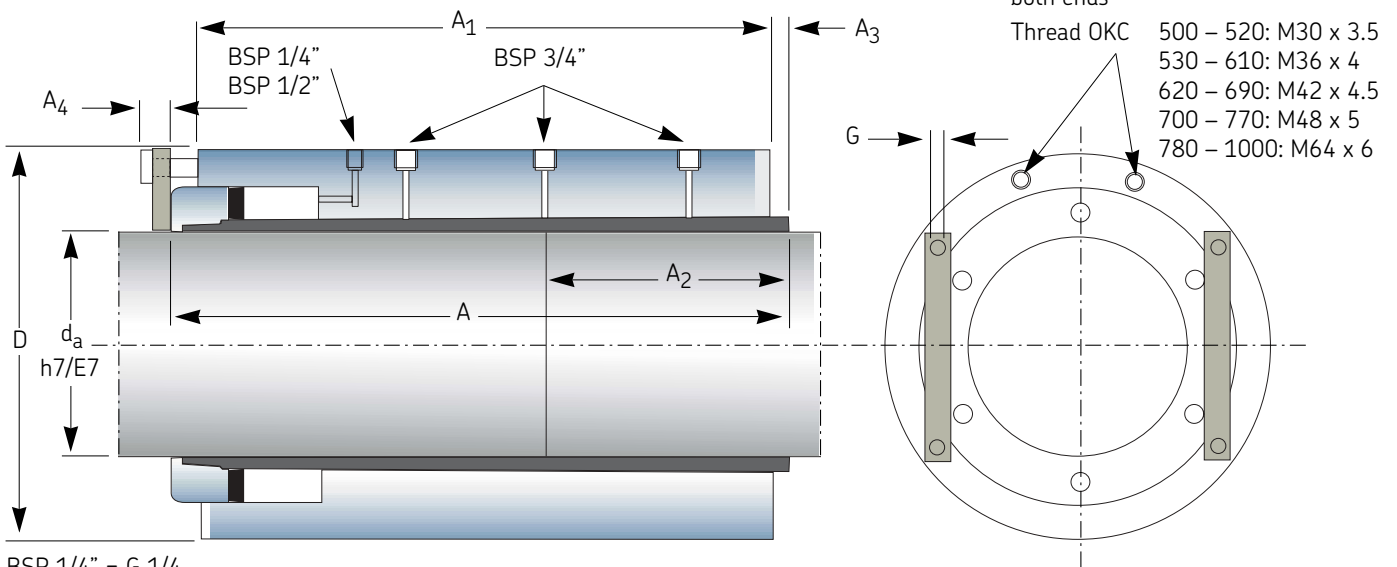
3) Increase of outer diameter, D, after mounting.

4) The safety factor referred to on page 15 must be applied to obtain the permissible torque.

Note: Required free length on one shaft for installation A + 75 mm.

Shaft couplings

OKC 500 – 520



BSP 1/4" = G 1/4
 BSP 3/4" = G 3/4
 BSP 1/2" = G 1/2

| Designation ¹⁾ | d _a mm | D mm | A mm | A ₁ mm | A ₂ mm | A ₃ ²⁾ mm | A ₄ mm | Δ ³⁾ mm | G | Mass kg | M _{t max.} ⁴⁾ kNm |
|---------------------------|----------------------|---------|---------|----------------------|----------------------|------------------------------------|----------------------|-----------------------|----------|------------|--|
| OKC 500 | 500 | 790 | 1240 | 1175 | 535 | 35 | 42 | 0.84 | M20-(4x) | 2610 | 3250 |
| OKC 510 | 510 | 810 | 1265 | 1200 | 545 | 35 | 42 | 0.86 | M20-(4x) | 2820 | 3450 |
| OKC 520 | 520 | 830 | 1290 | 1225 | 560 | 40 | 42 | 0.86 | M20-(4x) | 3060 | 3660 |

OKC 530 – 1000

| Designation ¹⁾ | d _a mm | D mm | A mm | A ₁ mm | A ₂ mm | A ₃ ²⁾ mm | A ₄ mm | Δ ³⁾ mm | G | Mass kg | M _t max. ⁴⁾ kNm |
|---------------------------|----------------------|---------|---------|----------------------|----------------------|------------------------------------|----------------------|-----------------------|----------|------------|--|
| OKC 530 | 530 | 840 | 1315 | 1250 | 570 | 40 | 42 | 0.89 | M20-(4x) | 3140 | 3870 |
| OKC 540 | 540 | 860 | 1340 | 1275 | 580 | 40 | 42 | 0.89 | M20-(4x) | 3400 | 4100 |
| OKC 550 | 550 | 870 | 1360 | 1295 | 590 | 40 | 42 | 0.93 | M20-(4x) | 3520 | 4330 |
| OKC 560 | 560 | 890 | 1385 | 1315 | 600 | 40 | 42 | 0.93 | M20-(4x) | 3760 | 4570 |
| OKC 570 | 570 | 900 | 1405 | 1335 | 610 | 40 | 42 | 0.97 | M20-(4x) | 3840 | 4820 |
| OKC 580 | 580 | 920 | 1425 | 1360 | 620 | 40 | 42 | 0.96 | M20-(4x) | 4150 | 5080 |
| OKC 590 | 590 | 930 | 1455 | 1385 | 635 | 45 | 42 | 0.99 | M20-(4x) | 4270 | 5340 |
| OKC 600 | 600 | 940 | 1480 | 1410 | 645 | 45 | 42 | 1.02 | M20-(4x) | 4400 | 5620 |
| OKC 610 | 610 | 960 | 1500 | 1430 | 655 | 45 | 42 | 1.03 | M20-(4x) | 4680 | 5900 |
| OKC 620 | 620 | 970 | 1525 | 1455 | 665 | 45 | 42 | 1.06 | M20-(4x) | 4840 | 6200 |
| OKC 630 | 630 | 990 | 1545 | 1475 | 675 | 45 | 42 | 1.06 | M20-(4x) | 5140 | 6500 |
| OKC 640 | 640 | 1010 | 1570 | 1495 | 685 | 45 | 42 | 1.07 | M20-(4x) | 5460 | 6820 |
| OKC 650 | 650 | 1020 | 1595 | 1520 | 695 | 45 | 42 | 1.10 | M20-(4x) | 5620 | 7140 |
| OKC 660 | 660 | 1040 | 1625 | 1545 | 710 | 50 | 42 | 1.11 | M20-(4x) | 5940 | 7480 |
| OKC 670 | 670 | 1050 | 1650 | 1575 | 720 | 50 | 42 | 1.14 | M20-(4x) | 6150 | 7820 |
| OKC 680 | 680 | 1070 | 1670 | 1590 | 730 | 50 | 42 | 1.14 | M20-(4x) | 6480 | 8180 |
| OKC 690 | 690 | 1080 | 1695 | 1615 | 740 | 50 | 42 | 1.18 | M20-(4x) | 6670 | 8540 |
| OKC 700 | 700 | 1090 | 1720 | 1640 | 750 | 50 | 42 | 1.21 | M20-(4x) | 6830 | 8920 |
| OKC 710 | 710 | 1100 | 1745 | 1665 | 760 | 50 | 42 | 1.24 | M20-(4x) | 7010 | 9310 |
| OKC 720 | 720 | 1120 | 1765 | 1680 | 770 | 50 | 42 | 1.25 | M20-(4x) | 7390 | 9700 |
| OKC 730 | 730 | 1130 | 1790 | 1700 | 785 | 55 | 42 | 1.28 | M20-(4x) | 7550 | 10100 |
| OKC 740 | 740 | 1150 | 1815 | 1730 | 795 | 55 | 42 | 1.28 | M20-(4x) | 7990 | 10600 |
| OKC 750 | 750 | 1160 | 1835 | 1750 | 805 | 55 | 42 | 1.32 | M20-(4x) | 8180 | 11000 |
| OKC 760 | 760 | 1180 | 1860 | 1770 | 815 | 55 | 42 | 1.32 | M20-(4x) | 8660 | 11400 |
| OKC 770 | 770 | 1190 | 1886 | 1795 | 825 | 55 | 42 | 1.36 | M20-(4x) | 8860 | 11800 |
| OKC 780 | 780 | 1210 | 1910 | 1815 | 835 | 55 | 42 | 1.36 | M20-(4x) | 9330 | 12300 |
| OKC 790 | 790 | 1220 | 1930 | 1840 | 845 | 55 | 42 | 1.39 | M20-(4x) | 9530 | 12800 |
| OKC 800 | 800 | 1240 | 1960 | 1865 | 860 | 60 | 42 | 1.39 | M20-(4x) | 10070 | 13300 |
| OKC 820 | 820 | 1260 | 2015 | 1920 | 880 | 60 | 42 | 1.47 | M20-(4x) | 10520 | 14300 |
| OKC 840 | 840 | 1300 | 2055 | 1960 | 900 | 60 | 42 | 1.47 | M20-(4x) | 11560 | 15400 |
| OKC 860 | 860 | 1330 | 2105 | 2005 | 920 | 60 | 42 | 1.51 | M20-(4x) | 12370 | 16500 |
| OKC 880 | 880 | 1360 | 2155 | 2055 | 945 | 65 | 42 | 1.54 | M20-(4x) | 13230 | 17700 |
| OKC 900 | 900 | 1390 | 2200 | 2100 | 965 | 65 | 42 | 1.58 | M20-(4x) | 14020 | 18900 |
| OKC 920 | 920 | 1430 | 2245 | 2145 | 985 | 65 | 42 | 1.59 | M20-(4x) | 15290 | 20200 |
| OKC 940 | 940 | 1460 | 2295 | 2190 | 1010 | 70 | 42 | 1.62 | M20-(4x) | 16270 | 21600 |
| OKC 960 | 960 | 1490 | 2340 | 2235 | 1030 | 70 | 42 | 1.66 | M20-(4x) | 17270 | 23000 |
| OKC 980 | 980 | 1520 | 2385 | 2280 | 1050 | 70 | 42 | 1.69 | M20-(4x) | 18310 | 24400 |
| OKC1000 | 1000 | 1550 | 2430 | 2325 | 1070 | 70 | 42 | 1.73 | M20-(4x) | 19390 | 26000 |

1) Couplings for shafts of intermediate diameters are, for instance, designated OKC 505.

2) May be slightly greater or smaller when Δ is reached, depending on how the tolerance of coupling seatings and coupling bore have been used. See also Mounting Instructions.

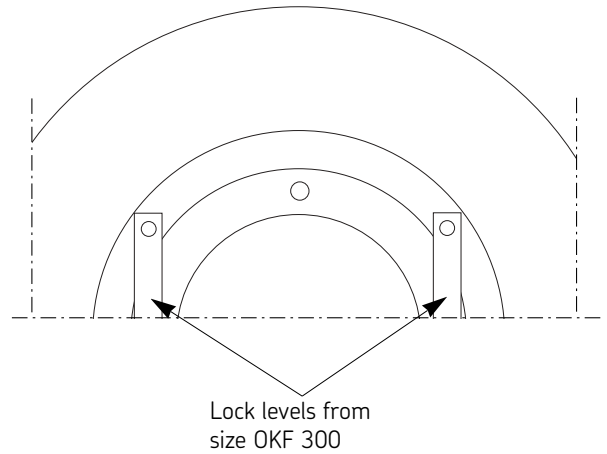
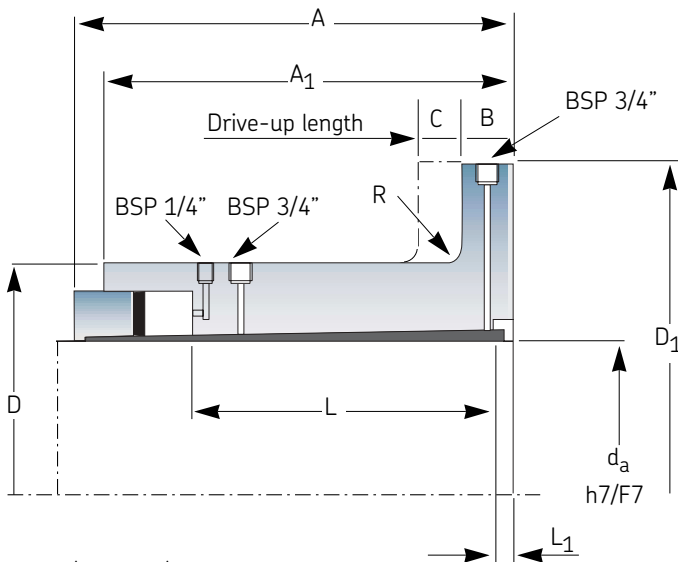
3) Increase of outer diameter, D, after mounting.

4) The safety factor referred to on page 15 must be applied to obtain the permissible torque.

Note: Required free length on one shaft for installation A + 100 mm.

Flange couplings

OKF 100 – 300



BSP 1/4" = G 1/4
 BSP 3/4" = G 3/4

The pitch circle is evaluated from:
 $E = D_1 - (1.6 \times \text{bolt diameter})$

| Designation | d _a | D | D ₁ | A | A ₁ | B | R | L | L ₁ | C | Mass | M _{t max.} ¹⁾ | Suitable Supergrip Bolt size |
|----------------|----------------|-----|----------------|-----|----------------|----|----|-----|----------------|------|------|-----------------------------------|------------------------------|
| | mm | mm | mm | mm | mm | mm | mm | mm | mm | mm | kg | kNm | |
| OKF 100 | 100 | 165 | 235 | 191 | 188 | 40 | 8 | 120 | 15 | 17.5 | 25 | 26.0 | |
| OKF 110 | 110 | 175 | 260 | 210 | 197 | 40 | 9 | 135 | 15 | 18.5 | 29 | 34.6 | |
| OKF 120 | 120 | 195 | 285 | 220 | 206 | 40 | 10 | 145 | 15 | 19.0 | 39 | 44.9 | |
| OKF 130 | 130 | 205 | 305 | 244 | 230 | 40 | 10 | 165 | 15 | 21.5 | 46 | 57.1 | |
| OKF 140 | 140 | 225 | 325 | 255 | 235 | 40 | 11 | 170 | 15 | 22.0 | 56 | 71.3 | |
| OKF 150 | 150 | 240 | 345 | 266 | 246 | 40 | 12 | 180 | 15 | 23.0 | 66 | 87.7 | |
| OKF 160 | 160 | 255 | 365 | 278 | 257 | 40 | 13 | 195 | 15 | 24.5 | 77 | 107 | |
| OKF 170 | 170 | 265 | 390 | 295 | 274 | 40 | 14 | 205 | 15 | 26.0 | 87 | 128 | |
| OKF 180 | 180 | 290 | 415 | 310 | 288 | 40 | 14 | 215 | 15 | 26.5 | 108 | 152 | |
| OKF 190 | 190 | 295 | 435 | 338 | 311 | 40 | 15 | 230 | 18 | 29.5 | 118 | 179 | |
| OKF 200 | 200 | 315 | 455 | 348 | 320 | 40 | 16 | 240 | 18 | 30.0 | 138 | 208 | |
| OKF 210 | 210 | 325 | 475 | 362 | 338 | 42 | 17 | 250 | 18 | 31.5 | 153 | 241 | |
| OKF 220 | 220 | 345 | 495 | 378 | 353 | 44 | 18 | 265 | 18 | 31.5 | 180 | 277 | |
| OKF 230 | 230 | 350 | 500 | 390 | 365 | 46 | 18 | 275 | 18 | 34.5 | 184 | 317 | |
| OKF 240 | 240 | 370 | 525 | 402 | 376 | 48 | 19 | 285 | 18 | 34.5 | 216 | 360 | |
| OKF 250 | 250 | 380 | 555 | 418 | 392 | 50 | 20 | 300 | 18 | 36.0 | 238 | 407 | OKBS 40 |
| OKF 260 | 260 | 400 | 575 | 436 | 408 | 52 | 21 | 310 | 22 | 38.0 | 275 | 457 | |
| OKF 270 | 270 | 420 | 595 | 452 | 424 | 54 | 22 | 325 | 22 | 38.0 | 316 | 512 | |
| OKF 280 | 280 | 430 | 605 | 464 | 435 | 56 | 22 | 335 | 22 | 40.0 | 335 | 571 | |
| OKF 290 | 290 | 445 | 620 | 476 | 447 | 58 | 23 | 345 | 22 | 41.5 | 364 | 634 | |
| OKF 300 | 300 | 460 | 635 | 498 | 463 | 60 | 24 | 360 | 22 | 42.0 | 399 | 702 | |

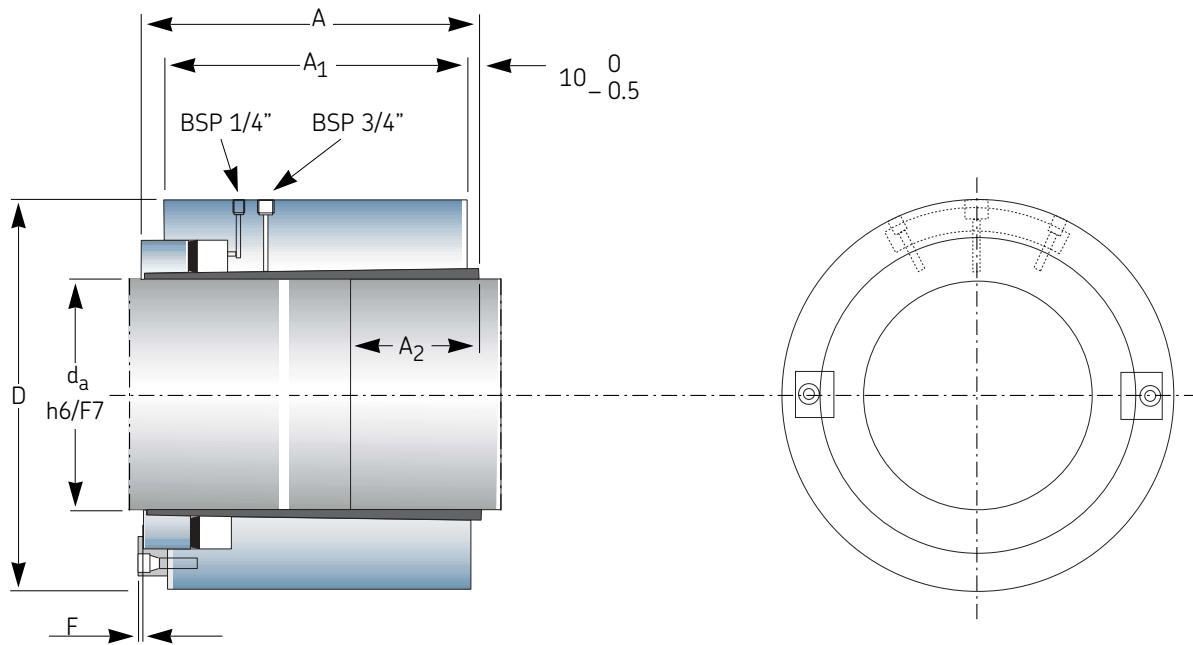
¹⁾ The safety factor referred to on page 15 must be applied to obtain permissible torque.

OKF 310 – 700

| Designation | d _a | D | D ₁ | A | A ₁ | B | R | L | L ₁ | C | Mass | M _{t max.} ¹⁾ | Suitable Supergrip Bolt size |
|----------------|----------------|------|----------------|------|----------------|-----|----|-----|----------------|------|------|-----------------------------------|------------------------------|
| | mm | mm | mm | mm | mm | mm | mm | mm | mm | mm | kg | kNm | |
| OKF 310 | 310 | 475 | 675 | 510 | 479 | 62 | 25 | 370 | 22 | 43.5 | 451 | 775 | OKBS 50 |
| OKF 320 | 320 | 495 | 695 | 526 | 494 | 64 | 26 | 380 | 25 | 44.5 | 508 | 852 | |
| OKF 330 | 330 | 505 | 705 | 544 | 512 | 66 | 26 | 395 | 25 | 46.5 | 537 | 935 | |
| OKF 340 | 340 | 525 | 730 | 555 | 522 | 68 | 27 | 405 | 25 | 47.0 | 599 | 1020 | |
| OKF 350 | 350 | 530 | 735 | 572 | 538 | 70 | 28 | 420 | 25 | 49.0 | 615 | 1120 | |
| OKF 360 | 360 | 550 | 760 | 584 | 550 | 72 | 29 | 430 | 25 | 50.0 | 680 | 1220 | |
| OKF 370 | 370 | 570 | 810 | 595 | 560 | 74 | 30 | 440 | 25 | 50.5 | 770 | 1320 | OKBS 60 |
| OKF 380 | 380 | 580 | 820 | 612 | 577 | 76 | 30 | 455 | 25 | 51.5 | 805 | 1430 | |
| OKF 390 | 390 | 600 | 840 | 624 | 588 | 78 | 31 | 465 | 25 | 52.5 | 885 | 1550 | |
| OKF 400 | 400 | 610 | 855 | 648 | 611 | 80 | 32 | 480 | 25 | 54.0 | 930 | 1670 | OKBS 60 |
| OKF 410 | 410 | 630 | 875 | 660 | 627 | 82 | 33 | 490 | 30 | 55.5 | 1030 | 1800 | |
| OKF 420 | 420 | 640 | 890 | 672 | 639 | 84 | 34 | 500 | 30 | 57.5 | 1070 | 1930 | |
| OKF 430 | 430 | 655 | 935 | 688 | 654 | 86 | 34 | 515 | 30 | 58.0 | 1170 | 2070 | OKBS 70 |
| OKF 440 | 440 | 675 | 955 | 700 | 665 | 88 | 35 | 525 | 30 | 58.5 | 1270 | 2220 | |
| OKF 450 | 450 | 685 | 970 | 716 | 681 | 90 | 36 | 540 | 30 | 60.5 | 1330 | 2370 | |
| OKF 460 | 460 | 700 | 985 | 728 | 692 | 92 | 37 | 550 | 30 | 61.5 | 1410 | 2530 | OKBS 70 |
| OKF 470 | 470 | 715 | 1000 | 740 | 703 | 94 | 38 | 560 | 30 | 62.5 | 1480 | 2700 | |
| OKF 480 | 480 | 720 | 1005 | 758 | 717 | 96 | 38 | 570 | 30 | 65.0 | 1510 | 2880 | |
| OKF 490 | 490 | 740 | 1030 | 770 | 728 | 98 | 39 | 580 | 30 | 66.0 | 1630 | 3060 | OKBS 70 |
| OKF 500 | 500 | 750 | 1040 | 790 | 748 | 100 | 40 | 600 | 30 | 67.0 | 1700 | 3250 | |
| OKF 510 | 510 | 770 | 1090 | 810 | 766 | 102 | 41 | 610 | 35 | 69.5 | 1870 | 3450 | |
| OKF 520 | 520 | 790 | 1115 | 820 | 776 | 104 | 42 | 620 | 35 | 70.0 | 2020 | 3660 | OKBS 80 |
| OKF 530 | 530 | 800 | 1125 | 834 | 789 | 106 | 42 | 630 | 35 | 72.0 | 2080 | 3870 | |
| OKF 540 | 540 | 815 | 1145 | 845 | 800 | 108 | 43 | 640 | 35 | 73.5 | 2190 | 4100 | |
| OKF 550 | 550 | 825 | 1155 | 868 | 822 | 110 | 44 | 660 | 35 | 74.5 | 2270 | 4330 | OKBS 80 |
| OKF 560 | 560 | 845 | 1175 | 878 | 832 | 112 | 45 | 670 | 35 | 75.0 | 2420 | 4570 | |
| OKF 570 | 570 | 855 | 1190 | 890 | 843 | 114 | 46 | 680 | 35 | 77.0 | 2510 | 4820 | |
| OKF 580 | 580 | 875 | 1235 | 900 | 853 | 116 | 46 | 690 | 35 | 77.0 | 2710 | 5080 | OKBS 90 |
| OKF 590 | 590 | 885 | 1245 | 914 | 866 | 118 | 47 | 700 | 35 | 79.0 | 2780 | 5340 | |
| OKF 600 | 600 | 895 | 1260 | 926 | 877 | 120 | 48 | 710 | 35 | 81.0 | 2860 | 5620 | |
| OKF 610 | 610 | 910 | 1275 | 938 | 888 | 122 | 49 | 720 | 35 | 82.0 | 2880 | 5900 | OKBS 90 |
| OKF 620 | 620 | 920 | 1290 | 950 | 900 | 124 | 50 | 730 | 35 | 84.0 | 3070 | 6200 | |
| OKF 630 | 630 | 940 | 1310 | 962 | 911 | 126 | 50 | 740 | 35 | 84.5 | 3230 | 6500 | |
| OKF 640 | 640 | 960 | 1330 | 990 | 938 | 128 | 51 | 760 | 40 | 85.5 | 3510 | 6820 | OKBS 100 |
| OKF 650 | 650 | 970 | 1345 | 1004 | 951 | 130 | 52 | 770 | 40 | 87.5 | 3600 | 7140 | |
| OKF 660 | 660 | 990 | 1395 | 1018 | 961 | 132 | 53 | 780 | 40 | 88.0 | 3750 | 7480 | |
| OKF 670 | 670 | 995 | 1410 | 1030 | 973 | 134 | 54 | 790 | 40 | 91.0 | 3930 | 7820 | OKBS 100 |
| OKF 680 | 680 | 1015 | 1420 | 1042 | 984 | 136 | 54 | 800 | 40 | 91.5 | 4130 | 8180 | |
| OKF 690 | 690 | 1025 | 1435 | 1054 | 996 | 138 | 55 | 810 | 40 | 93.5 | 4230 | 8540 | |
| OKF 700 | 700 | 1035 | 1445 | 1068 | 1009 | 140 | 56 | 820 | 40 | 96.0 | 4330 | 8920 | |

¹⁾ The safety factor referred to on page 15 must be applied to obtain the permissible torque.

OKCS 178 – 360



BSP 1/4" = G 1/4
 BSP 3/4" = G 3/4

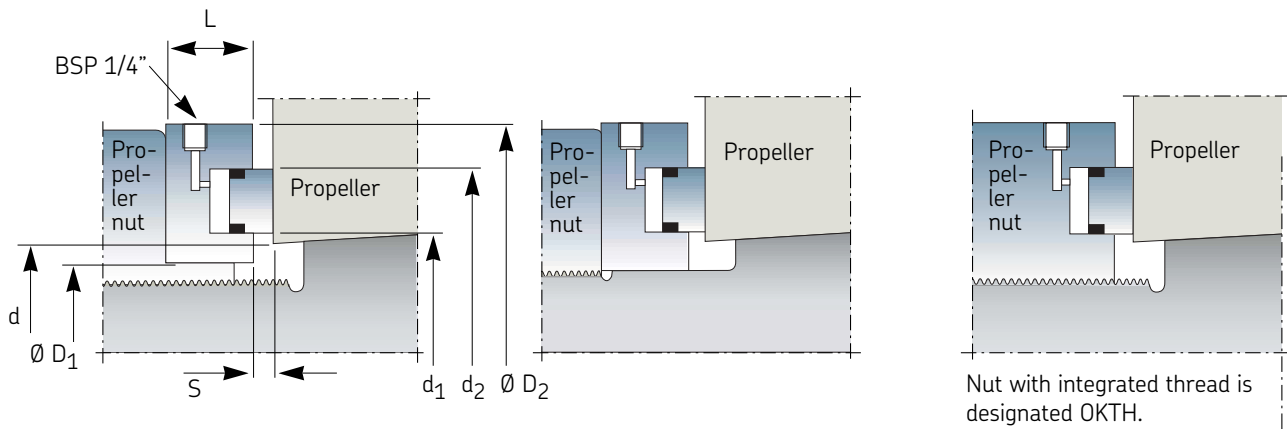
| Designation ¹⁾ | d _a mm | D mm | A mm | A ₁ mm | A ₂ mm | F mm | Mass kg | M _{t max.} ²⁾ kNm |
|---------------------------|----------------------|---------|---------|----------------------|----------------------|---------|------------|--|
| OKCS 178 | 178 | 310 | 282 | 244 | 105 | 8 | 98 | 65 |
| OKCS 210 | 210 | 350 | 331 | 295 | 127.5 | 8 | 166 | 110 |
| OKCS 214 | 214 | 365 | 345 | 308 | 132 | 8 | 170 | 118.6 |
| OKCS 230 | 230 | 400 | 348 | 315 | 134.5 | 8 | 209 | 141 |
| OKCS 250 | 250 | 420 | 364 | 328 | 140 | 8 | 231 | 180 |
| OKCS 270 | 270 | 460 | 386 | 350 | 149 | 8 | 300 | 225 |
| OKCS 300 | 300 | 510 | 426 | 385 | 164 | 9 | 406 | 301.8 |
| OKCS 310 | 310 | 525 | 446 | 400 | 170 | 9 | 429 | 338.8 |
| OKCS 330 | 330 | 560 | 457 | 410 | 177 | 9 | 521 | 391.5 |
| OKCS 360 | 360 | 600 | 493 | 455 | 190 | 9 | 635 | 525 |

¹⁾ Couplings for shafts of intermediate diameters are, for instance, designated OKCS 215.

²⁾ The safety factor referred to on page 15 must be applied to obtain the permissible torque

Note: Required free length on one shaft for installation A + 75 mm.

OKTC 245 – 790



| Designation | d mm | D ₁ mm | d ₁ mm | d ₂ mm | D ₂ mm | L mm | S _{max.} mm | Max. force kNm (at 70 MPa) | Mass kg |
|-------------|-----------|----------------------|----------------------|----------------------|----------------------|---------|-------------------------|-------------------------------|------------|
| OKTC 245 | 260 – 275 | 245 | 275 | 340 | 390 | 55 | 15 | 2090 | 31 |
| OKTC 265 | 275 – 295 | 265 | 295 | 365 | 415 | 55 | 15 | 2400 | 35 |
| OKTC 285 | 295 – 315 | 285 | 315 | 385 | 435 | 55 | 15 | 2730 | 37 |
| OKTC 305 | 315 – 335 | 305 | 335 | 415 | 465 | 55 | 15 | 3175 | 42 |
| OKTC 325 | 335 – 365 | 325 | 365 | 445 | 510 | 70 | 20 | 3555 | 66 |
| OKTC 345 | 365 – 385 | 345 | 385 | 470 | 535 | 70 | 20 | 3955 | 72 |
| OKTC 365 | 385 – 405 | 365 | 405 | 495 | 560 | 70 | 20 | 4375 | 77 |
| OKTC 385 | 405 – 425 | 385 | 425 | 520 | 585 | 70 | 20 | 4820 | 84 |
| OKTC 405 | 425 – 445 | 405 | 445 | 545 | 610 | 70 | 20 | 5400 | 90 |
| OKTC 425 | 445 – 465 | 425 | 465 | 570 | 635 | 70 | 20 | 5890 | 96 |
| OKTC 445 | 465 – 485 | 445 | 485 | 595 | 660 | 70 | 20 | 6400 | 103 |
| OKTC 465 | 485 – 505 | 465 | 505 | 620 | 685 | 70 | 20 | 6940 | 110 |
| OKTC 485 | 505 – 525 | 485 | 525 | 645 | 710 | 70 | 20 | 7490 | 116 |
| OKTC 505 | 525 – 545 | 505 | 545 | 670 | 735 | 70 | 20 | 8220 | 123 |
| OKTC 525 | 545 – 565 | 525 | 565 | 695 | 760 | 70 | 20 | 8820 | 130 |
| OKTC 545 | 565 – 595 | 545 | 595 | 725 | 805 | 90 | 25 | 9440 | 195 |
| OKTC 565 | 595 – 615 | 565 | 615 | 750 | 830 | 90 | 25 | 10090 | 205 |
| OKTC 585 | 615 – 635 | 585 | 635 | 775 | 855 | 90 | 25 | 10760 | 216 |
| OKTC 605 | 635 – 655 | 605 | 655 | 800 | 880 | 90 | 25 | 11620 | 226 |
| OKTC 625 | 655 – 675 | 625 | 675 | 825 | 905 | 90 | 25 | 12330 | 238 |
| OKTC 645 | 675 – 695 | 645 | 695 | 860 | 940 | 90 | 25 | 13830 | 260 |
| OKTC 670 | 695 – 720 | 670 | 720 | 885 | 965 | 90 | 25 | 14610 | 267 |
| OKTC 690 | 720 – 740 | 690 | 740 | 915 | 995 | 90 | 25 | 15930 | 285 |
| OKTC 720 | 740 – 770 | 720 | 770 | 955 | 1050 | 100 | 30 | 17290 | 360 |
| OKTC 750 | 770 – 800 | 750 | 800 | 985 | 1080 | 100 | 30 | 18160 | 372 |
| OKTC 770 | 800 – 820 | 770 | 820 | 1010 | 1105 | 100 | 30 | 19050 | 387 |
| OKTC 790 | 820 – 840 | 790 | 840 | 1035 | 1130 | 100 | 30 | 20200 | 402 |

This list is designed as a guide. If the ring you require is not listed, please contact your closest distributor, and we will design a ring for you on the receipt of the following information:

- Dimensions of propeller boss.
- Maximum power, kW.
- Speed, r/min.
- Safety factor.
- Modulus of elasticity for boss and shaft respectively, N/mm².
- Temperature coefficient of linear expansion for boss and shaft respectively.
- Yield point for shaft and boss, N/mm².

If drive-up force and drive-up length is being calculated by customer that information together with the propeller shaft thread and the small inner diameter of the propeller boss only are required.

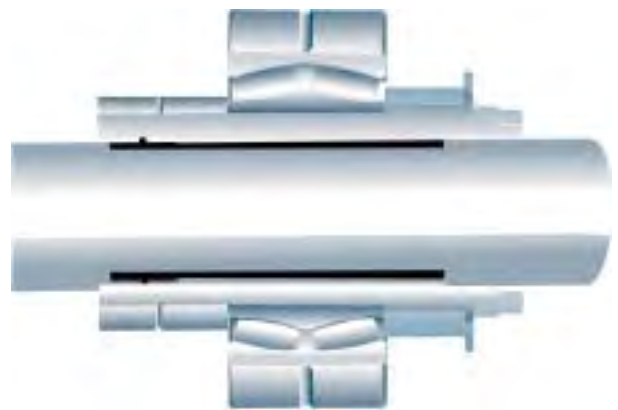
SKF pump 728619 is recommended for the ring as well as for injecting oil in the propeller hub. For sizes OKTC 505 or larger, an air driven pump, THAP 150 is recommended.

Tailor-made OK couplings

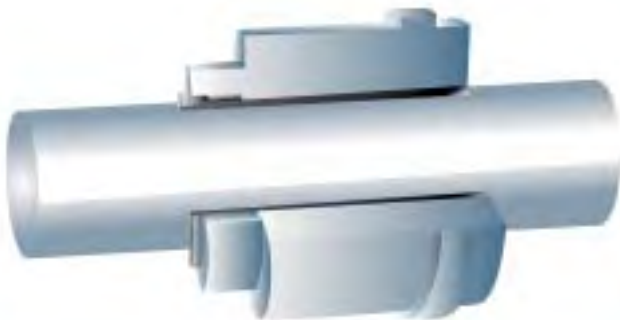
Besides standard series of OK couplings, SKF Coupling Systems design and manufacture "tailor-made" OK couplings for shaft diameters from 100 mm and up. Some examples:



Flange couplings and Supergrip bolts combination for limited space



Double sleeve arrangement for bearing installation



Hub for gear couplings



Hydraulic shrink disc couplings



Double flange couplings

Power transmission capacity

Torque transmitted by the OKC coupling is directly proportional to the surface pressure between the inner sleeve of the coupling and the shaft after the outer sleeve has been driven up axially. The necessary drive-up, which is reached when the diameter of the outer sleeve has increased by dimension Δ for OKC and OKCS couplings, and the stated drive-up length for OKF couplings given in the tables, will ensure a pressure of 120 N/mm² for OKC couplings, and 100 N/mm² for OKF couplings.

The table lists the maximum torque which can be transmitted calculated using the equation:

$$M_{tmax.} = \frac{\pi \cdot d_a^2 \cdot B \cdot p \cdot \mu}{2 \cdot 10^3}$$

where:

- $M_{tmax.}$ maximum transmissible torque, Nm
- d_a shaft diameter, mm
- B effective pressure length (equal to d_a) in mm
- p minimum surface pressure between shaft and inner sleeve in N/mm²
 - 120 N/mm² for OKC and OKCS
 - 100 N/mm² for OKF
- μ coefficient of friction (0.14)

If the coupling is subjected to axial forces, their effect on the power transmission capacity is generally insignificant. The transmissible torque is obtained from the equation:

$$M_t = \sqrt{M_{tmax.}^2 - \left[\frac{F_a \times d_a^2}{2 \times 10^3} \right]}$$

where:

- $M_{tmax.}$ maximum transmissible torque, Nm
- F_a axial force, N
- d_a shaft diameter, mm

The permissible torque is obtained from:

$$M = \frac{M_{tmax.} \text{ or } M_t}{f}$$

where

- M permissible torque, Nm
- $M_{tmax.}$ maximum transmissible torque, Nm
- M_t transmissible torque, Nm
- f safety factor, which can be selected from the table below

Safety factor f at different loads

| Type of power source | Type of load on the driven machine | | |
|---------------------------------|--|--|--|
| | Uniform load | Moderate shock-loads | Heavy shock-loads |
| | Centrifugal pumps Fans Light conveyors Turbo compressors Agitators | Piston compressors Small piston pumps Cutting tool machines Packeting machines Wood working machines | Excenter presses Draw benches Plane machines Large piston compressors |
| Electric motor, turbine | 2 – 2.25 | 2.25 – 2.5 | 2.5 – 2.75 |
| Multiple cylinder piston engine | 2.25 – 2.5 | 2.5 – 2.75 | 2.75 – 3 |
| Single cylinder piston engine | 2.75 – 3 | 3 – 3.25 | 3.25 – 4 |

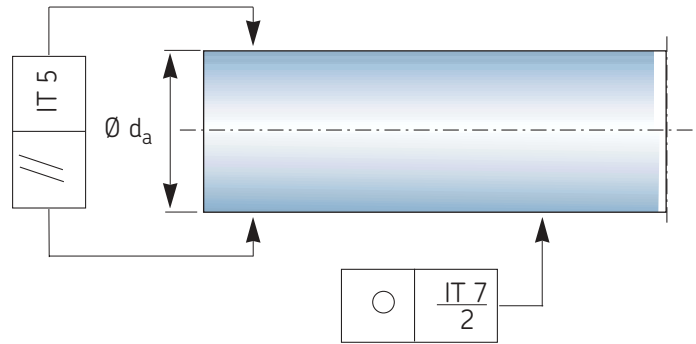
When the coupling is intended for marine applications, the safety factor has to be selected according to the rules of the referred classification society.

Shafts

To facilitate shaft alignment for OKC and OKCS couplings one of the shafts should be so designed that the coupling can be slid along it far enough to expose the outermost part of the coupling seating.

Surface roughness is to be within R_a 2.5 μm .

ISO tolerance h8 applies to coupling seatings from 25 - 90 mm. ISO tolerance h7 is used for larger diameters.



| Shaft diameter d_a | | Tolerance h7 deviation | | Circularity \bigcirc | Parallelism $//$ |
|----------------------|-------|------------------------|---------------------|----------------------------------|----------------------|
| over mm | to mm | upper μm | lower μm | $\frac{IT7}{2}$ μm | IT5 μm |
| 100 | 120 | 0 | -35 | 17.5 | 15 |
| 120 | 180 | 0 | -40 | 20 | 18 |
| 180 | 250 | 0 | -46 | 23 | 20 |
| 250 | 315 | 0 | -52 | 26 | 23 |
| 315 | 400 | 0 | -57 | 28.5 | 25 |
| 400 | 500 | 0 | -63 | 31.5 | 27 |
| 500 | 630 | 0 | -70 | 35 | 29 |
| 630 | 800 | 0 | -80 | 40 | 32 |
| 800 | 1000 | 0 | -90 | 45 | 35 |

Conversion tables

Conversion: millimetre to inch

| Shaft diameter d_a | | | | Tolerance h7 deviation | | | |
|----------------------|------|--------|--------|------------------------|--------|-------|-----------|
| Millimetre | | Inch | | Millimetre | | Inch | |
| over | to | over | to | upper | lower | upper | lower |
| 100 | 120 | 3.937 | 4.724 | 0 | -0.035 | 0 | -0.001378 |
| 120 | 180 | 4.724 | 7.087 | 0 | -0.040 | 0 | -0.001575 |
| 180 | 250 | 7.087 | 9.843 | 0 | -0.046 | 0 | -0.001811 |
| 250 | 315 | 9.843 | 12.402 | 0 | -0.052 | 0 | -0.002047 |
| 315 | 400 | 12.402 | 15.748 | 0 | -0.058 | 0 | -0.002244 |
| 400 | 500 | 15.748 | 19.685 | 0 | -0.063 | 0 | -0.002480 |
| 500 | 630 | 19.685 | 24.803 | 0 | -0.070 | 0 | -0.002756 |
| 630 | 800 | 24.803 | 31.496 | 0 | -0.080 | 0 | -0.003150 |
| 800 | 1000 | 31.496 | 39.370 | 0 | -0.090 | 0 | -0.003543 |

| | |
|----------------------------|--|
| Length | 1 mm = 0.03937 in 1 in = 25.4 mm |
| Mass | 1 kg = 2.205 lb 1 lb = 0.4536 kg |
| Force | 1 N = 0.225 lbf 1 lbf = 4.45 N |
| Torque | 1 Nmm = 0.00885 in.lbf 1 Nm = 8.85 in.lbf 1 lbf.in = 113 Nmm = 0.113 Nm 1 lbf.ft = 1356.23 Nmm = 1.35623 Nm |
| Power | 1 W = 0.00136 HP 1 HP = 736 W |
| Pressure | 1 MPa = 1 N/mm ² = 145 psi 1 psi = 0.007 N/mm ² = 0.007 MPa |
| Kinematic viscosity | 1 mm ² /s = 1 cSt |
| Temperature | 0 °C = 32 °F °F = 1.8 x °C + 32 |

Hollow shafts for OKC couplings

The outer sleeve must be driven further up with hollow shafts than with solid ones if the same pressure and power transmission capacity are to be achieved. The shafts must also be reinforced by means of sleeves shrunk into recess turned beneath the coupling seatings. This will prevent the stresses, which arise in the shaft material when the coupling has been mounted, from exceeding the permissible value.

The reinforcement sleeve should be made of toughened steel with a yield point of at least 850 N/mm². The length of the sleeves should be 15 mm longer than the pressure length (= A₂ - A₃ + 15 mm). The outside diameter, the required interference between the sleeves and the shafts, and the increase in the drive-up distance (the reduction in dimension A₃) can be obtained from the table below for various values of diameter ratio d_c/d_a.

Suitable tolerance ranges for the outside diameter of the sleeves and the recesses in the shafts are IT6 and IT7 respectively. Note that the coupling seatings should be machined to the prescribed diameter tolerance only after the reinforcement sleeves have been fitted.

| $\frac{d_c}{d_a}$ | $\frac{d_b}{d_a}$ | $\frac{\delta}{d_b}$ | $\frac{R}{d_a}$ |
|-------------------|-------------------|----------------------|-----------------|
| 0.1 | 0.38 | 0.0006 | 0.001 |
| 0.15 | 0.41 | 0.0008 | 0.002 |
| 0.2 | 0.45 | 0.0009 | 0.004 |
| 0.25 | 0.48 | 0.0011 | 0.006 |
| 0.3 | 0.49 | 0.0013 | 0.009 |
| 0.35 | 0.51 | 0.0015 | 0.013 |
| 0.4 | 0.54 | 0.0017 | 0.018 |
| 0.45 | 0.58 | 0.0019 | 0.024 |
| 0.5 | 0.62 | 0.0021 | 0.031 |
| 0.55 | 0.67 | 0.0023 | 0.040 |

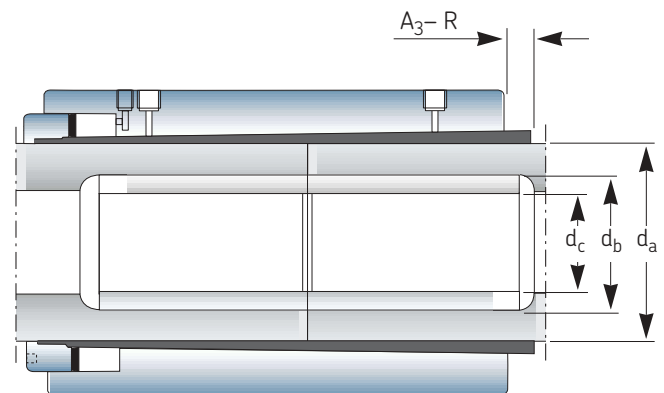
Example: An OKC coupling is to be mounted on shafts with an outside diameter of 400 mm and a bore of 120 mm.

$$\text{i.e. } \frac{d_c}{d_a} = \frac{120}{400} = 0.3$$

The outside diameter of the reinforcement sleeve is obtained from $\frac{d_b}{d_a} = 0.49$, i.e. d_b = 196 mm.

The interference δ is obtained from $\frac{\delta}{d_b} = 0.0013$, i.e. δ = 0.25 mm

The increase in drive-up distance, R, is obtained from the ratio $\frac{R}{d_a} = 0.009$. Thus dimension A₃ in the table on page 7 (30 mm) must be reduced by 3.6 mm.



With hollow shafts whose diameter ratio exceeds 0.55 the normal pressure and transmitted torque cannot be fully achieved. In such cases, please consult us or your local representative.

Hollow shafts for OKCS and OKF couplings

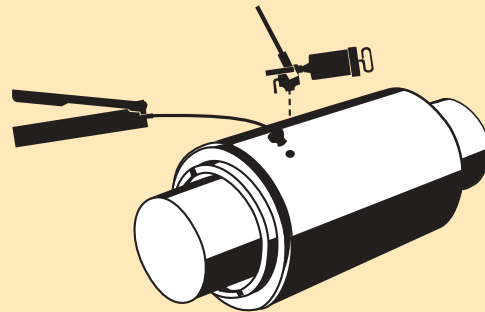
For OKCS and OKF couplings mounted on hollow shafts, please contact your local representative.

Modular equipment for mounting and dismounting

TMHK 36

Suitable for OKC 100 - OKC 170
and OKCS 178 - OKCS 360

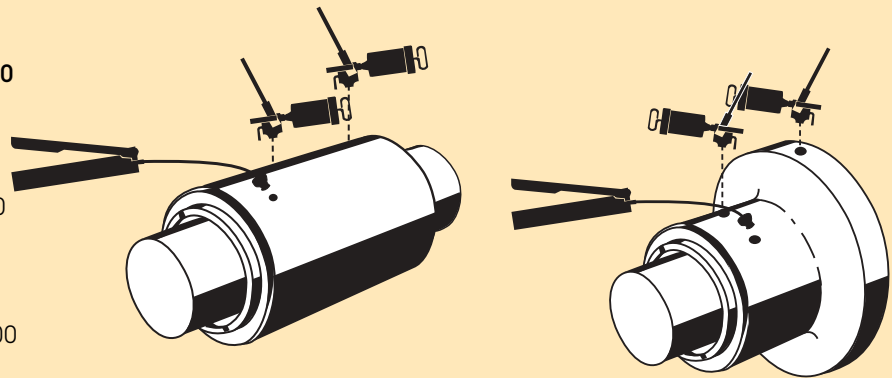
- 1 Tool case 728245/3A
 - 1 Oil injector 226400
 - 1 Hand operated pump TMJL 50
 - 1 Set of hex keys
 - 1 Spare parts for injector 226400
- Mass: 19 kg



TMHK 37

Suitable for OKC 180 - OKC 250
and OKF 100 - OKF 300

- 1 Tool case 728245/3A
 - 2 Oil injectors 226400
 - 1 Hand operated pump TMJL 50
 - 1 Pipe 227958A
 - 1 Adapter block 226402
 - 1 Set of hex keys
 - 1 Spare parts for injector 226400
- Mass: 28.1 kg



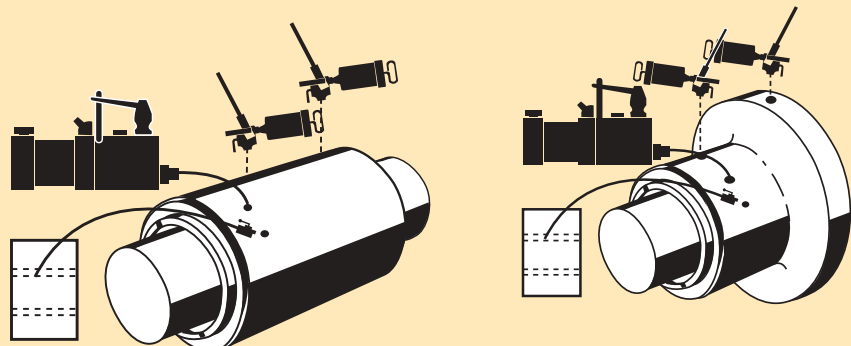
Set TMHK 38 can also be used for these coupling sizes.

The set contains a hydraulic pump driven by compressed air which enables the coupling to be mounted more quickly.

TMHK 38

Suitable for OKC 180 - OKC 490
and OKF 300 - OKF 700

- 1 Air-driven pump set THAP 030/SET
 - 1 Return hose 729147A
 - 2 Oil injectors 226400
 - 1 Set of hex keys
 - 1 Spare parts for injector 226400
- Mass: 32.1 kg

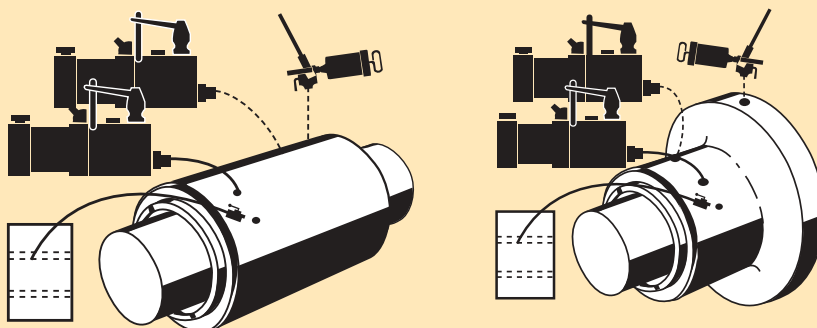


TMHK 38S

Suitable for OKC 180 - OKC 490
and OKF 300 - OKF 700

- 1 Air-driven pump set THAP 030/SET
- 1 Return hose 729147A
- 1 Air-driven pump THAP 300E
- 1 Oil injector 226400
- 1 Set of hex keys
- 1 Spare parts for injector 226400

Mass: 76.2 kg including weight of pallet



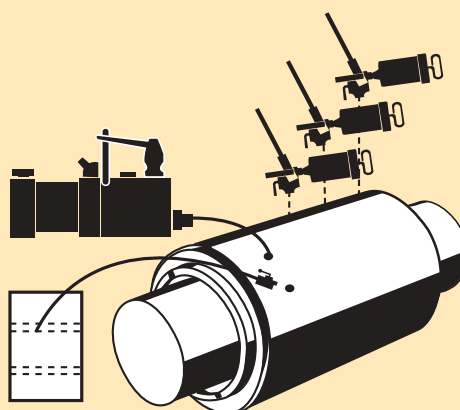
TMHK 39

Suitable for OKC 500 and larger

- 1 Air-driven pump set THAP 030/SET
- 1 Return hose 729147A
- 3 Oil injectors 226400
- 1 Set of hex keys
- 1 Spare parts for injector 226400

Mass: 35.1 kg

This set is intended for use on board ship where dismounting and mounting is only carried out infrequently. For shipyards and workshops sets TMHK 40 or TMHK 41 with an air-driven high pressure pump are recommended.



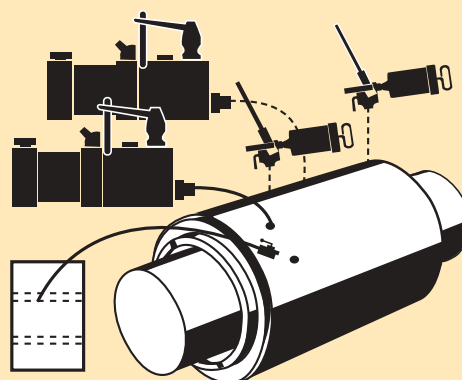
TMHK 40

Suitable for OKC 500 and larger

- 1 Air-driven pump set THAP 030/SET
- 1 Return hose 729147A
- 1 Air-driven pump THAP 300E
- 2 Oil injectors 226400
- 1 Set of hex keys
- 1 Spare parts for injector 226400

Mass: 78.2 kg including weight of pallet

This set or also set TMHK 41 are recommended for shipyards and workshops. The air-driven high pressure pump simplifies works considerably.



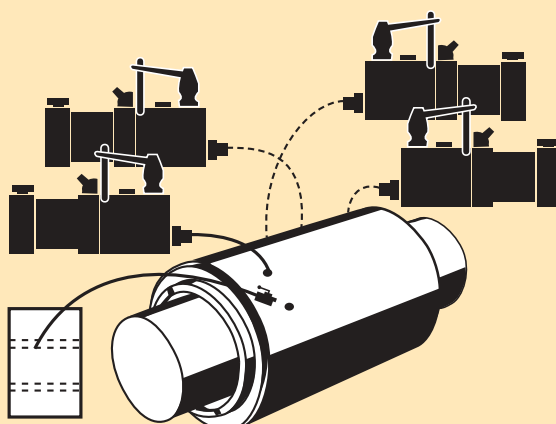
TMHK 41

Suitable for OKC 500 and larger

- 1 Air-driven pump set THAP 030/SET
- 1 Return hose 729147A
- 3 Air-driven pumps THAP 300E
- 1 Set of hex keys

Mass: 126.7 kg including weight of pallet

This pump set is recommended for shipyards and workshops.



Oil

The mineral motor oil to be used for the hydraulic pump and the injectors should have a viscosity of 300 mm²/s (300 cSt) at the temperature of the coupling. This viscosity will generally be obtained with sufficient accuracy if the oil is chosen according to the table below.

| Temperature range | | Viscosity |
|-------------------|-------------------|-----------|
| 0 – 8 °C | mineral motor oil | SAE 10 W |
| 8 – 18 °C | mineral motor oil | SAE 20 W |
| 18 – 27 °C | mineral motor oil | SAE 30 W |
| 27 – 32 °C | mineral motor oil | SAE 40 W |
| 32 – 38 °C | mineral motor oil | SAE 50 W |



Approved by leading classification societies

Connecting rigid shafts with OK couplings is a time-saving solution that has been used on land and at sea for more than fifty years. The couplings are well known all over the world for their high quality, creative design and operational safety.

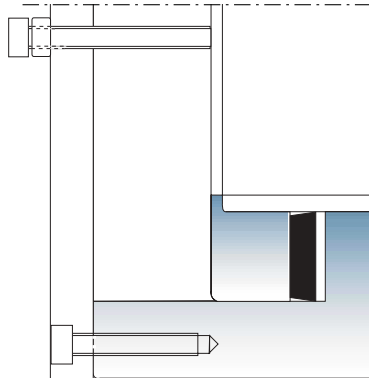
In the production line each step is carefully controlled and the finished couplings are subjected to a rigid final inspection regarding sizes and steel quality before delivery. The couplings are also approved by all major classification societies, for example Det Norske Veritas.



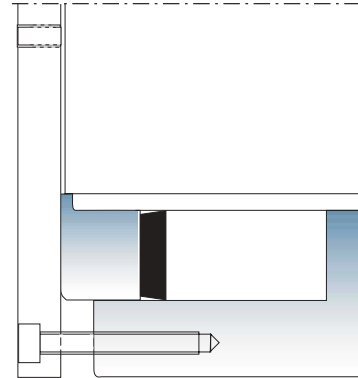
Locating device for outer sleeve

All OKC couplings for shafts with diameters over 200 mm and OKF couplings for shafts with diameter over 300 mm are equipped with lock levers, which prevent the outer sleeve from being driven up unintentionally

on the inner sleeve during transport and when the coupling is being mounted or dismantled. The lock levers also lock the nut when the coupling has been installed.



Locating device before mounting



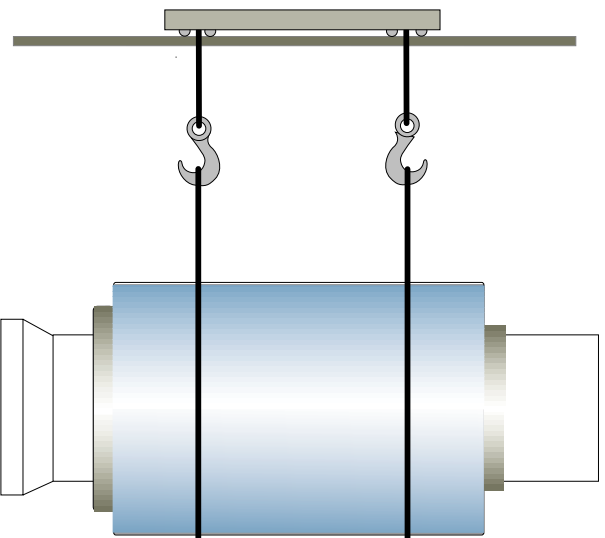
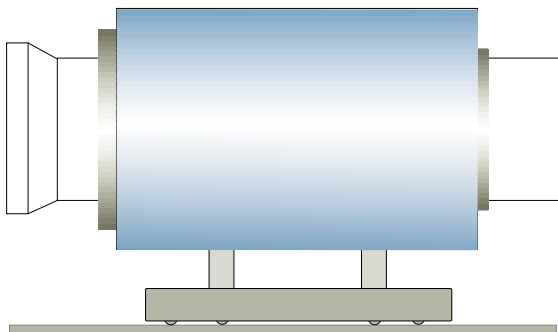
Locating device after mounting

Mounting arrangements for OKC couplings

To facilitate the mounting and dismantling of large OKC couplings, it is advisable to use some type of lifting arrangement. The types of arrangements shown will also allow radial shaft alignment. In both cases the carriages should move in line with the shafts.

OPTION I

A wheeled carriage is provided with two hydraulic jacks, positioned as shown. This allows the coupling to be adjusted as required.



OPTION II

An overhead carriage with two fixed chain blocks is positioned above the coupling. Lifting ropes are positioned as shown giving the required adjustment.

The Supergrip bolt cuts down on downtime

At a time when maintenance cost efficiency in heavy industries is a make-or-break factor in operational economy, the time-saving Supergrip concept can cut costs dramatically.

When you connect your couplings with Supergrip bolts, there is no uncertainty about the length of downtime for removing the bolts. No worry about whether the bolts have jammed or seized in the holes. You know that once the tension and expansion pressure have been released, each bolt will slide out as easily as it went in.

Ninety percent reduction of downtime

A study released by the Swedish State Power Board on the comparison of individually fitted bolts with Supergrip bolts showed a 90 % reduction in the time required to disassemble and reassemble the couplings of two turbo sets (eight couplings).

The unit equipped with Supergrip bolts was re-connected to the power grid 48 hours earlier than the unit with conventional bolts. Total savings were 19,200,000 kWh (48 hours x 400 MW).

Oil injection method

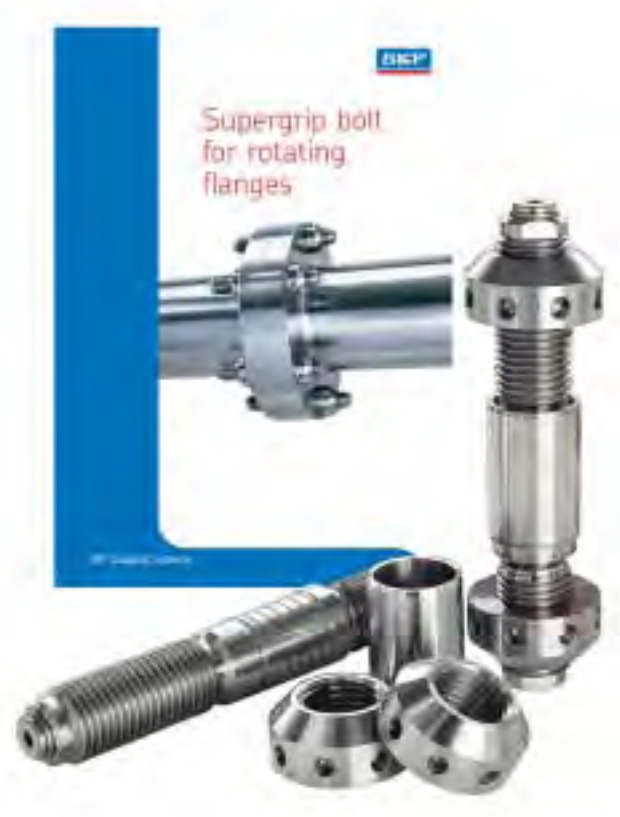
The Supergrip bolts are a superior solution for connecting rotating flange couplings. Compared with traditional bolt systems, Supergrip bolts are easier to install and remove, take much less time and hold the coupling halves together much more securely.

The torque in a coupling connected with Supergrip bolts is transmitted in two ways: by shear strength of the expanded bolt in the hole, and by the friction effect at the flange faces created by pre-loading the bolt.

Designed specifically for such high-torque applications as propeller shafts, rudder assemblies, turbo generators, the Supergrip bolt offers significant advantages.

Simplified machining of the holes and no grinding of the bolts. You eliminate re-reaming and re-honing. The bolts are designed to be inserted and removed with an initial clearance fit. There is no risk of seizure.

For more detailed information and design recommendations, please ask for our Supergrip brochure.





The oil injection method used in our OK couplings was developed by us in the early 1940s. Since then more than 36,000 couplings have been supplied to ships, power installations, etc all over the world.

The OK couplings are manufactured in modern NC-controlled equipment utilizing CAD/CAM technology. Our most important resource is, however, a well-trained staff with a long experience and tradition of manufacturing precision engineering products.



SKF Coupling Systems AB was established in the early 1940s when SKF's Chief Designer, Erland Bratt, invented the SKF oil injection method. As the result of continuous development, SKF is currently a world leader in selected market niches.

Our business concept is to develop, produce and supply products based on the SKF oil injection method. These products significantly reduce downtime and lower maintenance costs of the capital-intensive equipment in which they are used.



SKF Coupling Systems AB

SE-813 82 Hofors, Sweden.

Tel: +46 290 284 00. Fax: +46 290 282 70

E-mail: skf.coupling.systems@skf.com

Website: www.couplings.skf.com



RATO R

TECHNISCHE DATEN / TECHNICAL DATA



GÜLTIGKEITSKLAUSEL

Die vorliegende Broschüre ersetzt alle vorherigen Ausgaben, ältere Drucke verlieren ihre Gültigkeit. VULKAN ist berechtigt, aufgrund neuerer Entwicklungen die in dieser Broschüre enthaltenen Daten entsprechend anzupassen und zu verändern. Die neuen Daten gelten nur für nach der Änderung bestellte Kupplungen. Es liegt im Verantwortungsbereich des Anwenders dafür zu sorgen, dass ausschließlich die aktuelle Katalogversion verwendet wird. Der jeweils aktuelle Stand ist auf der Webseite von VULKAN unter www.vulkan.com jederzeit abrufbar.

Die Angaben in dieser Broschüre beziehen sich auf den technischen Standard gültig im Hause VULKAN und stehen unter den in den Erläuterungen definierten Bedingungen. Es liegt allein im Entscheidungs- und Verantwortungsrahmen des Systemverantwortlichen für die Antriebslinie, entsprechende Rückschlüsse auf das Systemverhalten zu ziehen.

VULKAN Drehschwingungsanalysen berücksichtigen in der Regel nur das rein mechanische Schwingungssystem. Als reiner Komponentenhersteller übernimmt VULKAN mit der Analyse des Drehschwingungssystems (stationär, transient) nicht die Systemverantwortung! Die Genauigkeit der Analyse hängt von der Genauigkeit der verwendeten bzw. der VULKAN zur Verfügung gestellten Daten ab.

Änderungen aufgrund des technischen Fortschritts sind vorbehalten. Bei Unklarheiten bzw. Rückfragen kontaktieren Sie bitte VULKAN.

Stand 01/2011

Das Recht auf Vervielfältigung, Nachdruck und Übersetzungen behalten wir uns vor. Maß- und Konstruktionsänderungen vorbehalten.

VALIDITY CLAUSE

The present catalogue shall replace all previous editions, any previous printings shall no longer be valid. Based on new developments, VULKAN reserves the right to amend and change any details contained in this catalogue respectively. The new data shall only apply with respect to couplings that were ordered after said amendment or change. It shall be the responsibility of the user to ensure that only the latest catalogue issue will be used. The respective latest issue can be seen on the website of VULKAN on www.vulkan.com.

The data contained in this catalogue refer to the technical standard as presently used by VULKAN with defined conditions according to the explanations. It shall be the sole responsibility and decision of the system administrator for the drive line to draw conclusions about the system behaviour.

VULKAN torsional vibration analysis usually only consider the pure mechanical mass-elastic system. Being a component manufacturer exclusively, VULKAN assumes no system responsibility with the analysis of the torsional vibration system (stationary, transiently)! The accuracy of the analysis depends on the exactness of the used data and the data VULKAN is provided with, respectively.

Any changes due to the technological progress are reserved. For questions or queries please contact VULKAN.

Status: 01/2011

All duplication, reprinting and translation rights are reserved.

We reserve the right to modify dimensions and constructions without prior notice.

INHALTSVERZEICHNIS

CONTENTS

02

GÜLTIGKEITSKLAUSEL
VALIDITY CLAUSE

03

INHALTSVERZEICHNIS
CONTENTS

04

EIGENSCHAFTEN UND BESCHREIBUNG
CHARACTERISTICS AND DESCRIPTION

06

LISTE DER TECHNISCHEN DATEN
LIST OF TECHNICAL DATA

08

ABMESSUNGEN/MASSENTRÄGHEITSMOMENTE/MASSEN
DIMENSIONS/MASS-MOMENTS OF INERTIA/MASSES

08 **RATO R Baureihe 2200** / Series 2200

10 **RATO R Baureihe 2201** / Series 2201

12 **RATO R Baureihe 2400** / Series 2400

EIGENSCHAFTEN UND BESCHREIBUNG

CHARACTERISTICS AND DESCRIPTION

RATO R Kupplungen / RATO R Couplings

Drehmoment: 12,50–270,00 kNm / Torque range: 12.50 – 270.00 kNm



Hochelastische RATO R Kupplungen

In Ergänzung zur Allround-Kupplung RATO S wurde die hochelastische **RATO R** Kupplung speziell für die Anwendung in Antriebsanlagen mit der Forderung nach hoher Drehnachgiebigkeit und guten Verlagerungseigenschaften entwickelt.

Bei der Konzeption wurde großer Wert auf thermische Sicherheit und gute dynamische Laufeigenschaften mit möglichst geringen rotierenden Massen gelegt. Die Anwendungen liegen somit vorrangig in schnelllaufenden Haupt- und Nebenantrieben – seien es diesel- oder elektromotorische.

In den Drehmomentbereichen, die ein Handhaben und den Einbau von geschlossenen Elementen gestatten, bietet die **RATO Ring** Kupplung eine zusätzliche Alternative. Dieses ist vornehmlich bei kleinen bis mittleren Baugrößen möglich.

Durch die Auswahl der zur Verfügung stehenden Drehsteifigkeiten bzw. Elementausführungen lässt sich eine gute Drehschwingungsabstimmung der Antriebsanlage durchführen.

Die Nachgiebigkeiten der **RATO R** Kupplung in radialer, axialer und winkliger Richtung bei kürzestmöglicher Baulänge sorgen für einen günstigen Ausgleich der Wellenverlagerungen bei elastischer Motoraufstellung, Fundamentveränderungen oder anderen betriebsbedingten Verlagerungen.

Die Verwendung von relativ weichen Kreisringmembranen bietet bei axialer Schwingungsanregung eine wirksame Entkoppelung und somit einen effektiven Schutz der Wellenlager.

Aufgrund der Vermeidung von Geräuschpfaden – direkter Metallkontakt – bietet die **RATO R** Kupplung ausgezeichnete Geräuschdämmungseigenschaften.

Highly Flexible RATO R Couplings

Complementing the "all-round" RATO S coupling, the highly flexible **RATO R** coupling has been specially designed for the use in installations requiring a high level of torsional flexibility and misalignment capacity.

Inherent features of the design include high dynamic load capacity and good rotational dynamic properties due to the low rotating inertias. The area of application is primarily high-speed main/PTO systems driven by a diesel engine or electric motor.

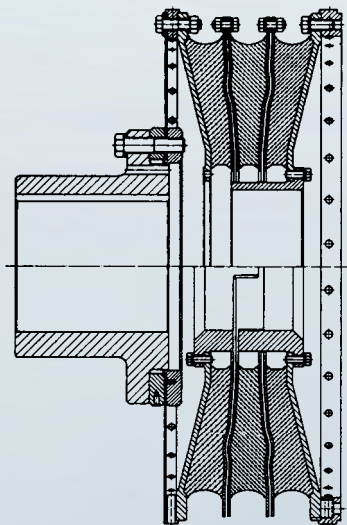
In the low to middle torque ranges where the handling and installation of a complete element is practical the **RATO Ring** coupling is an additional alternative.

A customized tuning of the system's torsional vibration characteristics is possible due to the variety of torsional stiffnesses and element configurations available.

The radial, axial and angular flexibility of the **RATO R** coupling, with the shortest possible installation length, enables good compensation of shaft misalignments caused by the flexible mounting of the prime mover, foundation movements etc. to be achieved.

The use of relatively soft annular membranes permits, in the event of an axial vibration excitation, an efficient isolation of the system – effectively protecting shaft bearings.

By avoiding noise paths, direct metal to metal contact, the **RATO R** has excellent noise-attenuation properties.



Die **RATO R** Kupplung besteht in der Basisbaureihe 2200 aus: Anbaunabe, mehrreihigem elastischen Element, Membranteil und dem Anschlussring.

The **RATO R** Coupling in the series 2200 consists of: attached hub, multiple-row flexible element, membrane part and the connecting ring.

LISTE DER TECHNISCHEN DATEN

LIST OF TECHNICAL DATA

| Baugröße | Baugruppe | Nenn-drehmoment | Max. Drehmoment ₁ | Max. Drehmoment ₂ | Max. Drehmomentbereich | Zul. Wech-seldrehmoment | Zul. Verlustleistung | Zul. Drehzahl | Zul. axialer Wellenversatz | Zul. radialer Kupplungsversatz | Radiale Federsteife | Dynamische Drehfedersteife | Verhältnis-mäßige Dämpfung |
|---|-----------------|------------------------|------------------------------|------------------------------|--------------------------|-------------------------|-------------------------|---|---------------------------------|--------------------------------------|----------------------------|---|-------------------------------|
| Size | Dimension Group | Nominal Torque | Max. Torque ₁ | Max. Torque ₂ | Max. Torque Range | Perm. Vibra-tory Torque | Perm. Power Loss | Perm. Rotational Speed | Perm. Axial Shaft Dis-placement | Perm. Radial Coupling Displacement | Radial Stiffness | Dynamic Torsional Stiffness | Relative Damping |
| | | T _{KN} kNm | T _{Kmax1} kNm | T _{Kmax2} kNm | ΔT _{max} kNm | T _{KW} kNm | P _{KV50} kW | n _{Kmax} ⁽²⁾ 1/min | ΔK _a mm | ΔK _r ⁽²⁾ mm | C _{rdyn} kN/mm | C _{Tdyn} ^(1,2) kNm/rad nominal | ψ ^(1,3) nominal |
| IMPORTANT¹⁾: C_{rdyn warm}, C_{Tdyn la}, ψ_{warm} are to be considered! | | | | | | | | | | | | | |
| G 192Z R | G 1920 R | 12,5 | 16,0 | 56,5 | 19,0 | 3,75 | 0,76 | 2750 | 4,0 | 10,0 | 1,3 | 40 | 0,90 |
| G 192W R | | 12,5 | 18,0 | 56,5 | 21,5 | 3,75 | | | | 10,0 | 1,6 | 50 | 1,13 |
| G 192T R | | 16,0 | 21,5 | 72,0 | 25,5 | 4,80 | | | | 7,0 | 2,2 | 70 | 1,13 |
| G 212Z R | G 2120 R | 16,0 | 20,0 | 72,0 | 24,0 | 4,80 | 0,84 | 2525 | 5,0 | 10,0 | 1,4 | 51 | 0,90 |
| G 212W R | | 16,0 | 22,0 | 72,0 | 26,5 | 4,80 | | | | 10,0 | 1,8 | 64 | 1,13 |
| G 212T R | | 20,0 | 26,5 | 90,0 | 32,0 | 6,00 | | | | 7,0 | 2,5 | 88 | 1,13 |
| G 232Z R | G 2320 R | 20,0 | 24,5 | 90,0 | 29,5 | 6,00 | 0,90 | 2350 | 5,5 | 11,0 | 1,6 | 64 | 0,90 |
| G 232W R | | 20,0 | 28,0 | 90,0 | 33,5 | 6,00 | | | | 11,0 | 2,0 | 80 | 1,13 |
| G 232T R | | 25,0 | 33,5 | 112,5 | 40,0 | 7,50 | | | | 8,0 | 2,8 | 110 | 1,13 |
| G 241Z R | G 2410 R | 25,0 | 31,1 | 112,5 | 37,4 | 7,80 | 0,66 | 2125 | 6,0 | 3,4 | 5,8 | 337 | 0,90 |
| G 241W R | | 25,0 | 35,0 | 112,5 | 42,0 | | | | | 2,7 | 7,2 | 418 | 1,13 |
| G 241T R | | 31,5 | 41,9 | 142,0 | 50,3 | | | | | 1,9 | 10,2 | 594 | 1,13 |
| G 241Y R | | 35,6 | 45,0 | 142,0 | 54,0 | | | | | 1,3 | 15,0 | 730 | 1,13 |
| G 252Z R | G 2520 R | 25,0 | 31,0 | 112,5 | 37,5 | 7,50 | 0,98 | 2125 | 6,0 | 12,0 | 1,6 | 80 | 0,90 |
| G 252W R | | 25,0 | 35,0 | 112,5 | 42,0 | 7,50 | | | | 12,0 | 2,0 | 100 | 1,13 |
| G 252T R | | 31,5 | 42,0 | 142,0 | 50,5 | 9,45 | | | | 9,0 | 2,8 | 139 | 1,13 |
| G 262Z R | G 2620 R | 31,5 | 39,5 | 142,0 | 47,5 | 9,45 | 1,05 | 2000 | 6,0 | 13,0 | 1,7 | 100 | 0,90 |
| G 262W R | | 31,5 | 44,5 | 142,0 | 53,5 | 9,45 | | | | 13,0 | 2,2 | 126 | 1,13 |
| G 262T R | | 40,0 | 53,5 | 180,0 | 64,0 | 12,00 | | | | 9,0 | 3,0 | 176 | 1,13 |
| G 273W R | G 2730 R | 31,5 | 47,5 | 142,0 | 57,0 | 9,45 | 2,00 | 2250 | 6,0 | 13,0 | 2,2 | 126 | 1,13 |
| G 293W R | G 2930 R | 40,0 | 60,0 | 180,0 | 72,0 | 12,00 | 2,31 | 2250 | 6,0 | 14,0 | 2,5 | 160 | 1,13 |
| G 312Z R | G 3120 R | 50,0 | 62,5 | 225,0 | 75,0 | 15,00 | 1,20 | 1675 | 7,0 | 17,0 | 1,9 | 160 | 0,90 |
| G 312W R | | 50,0 | 70,0 | 225,0 | 84,0 | 15,00 | | | | 17,0 | 2,4 | 200 | 1,13 |
| G 312T R | | 63,0 | 84,0 | 283,5 | 100,5 | 18,90 | | | | 12,0 | 3,3 | 277 | 1,13 |
| G 321W R | G 3210 R | 63,0 | 81,0 | 283,5 | 97,0 | 18,90 | 0,62 | 1100 | 5,5 | 8,0 | 5,6 | 504 | 1,13 |
| G 321T R | | 80,0 | 97,0 | 360,0 | 116,5 | 24,00 | | | | 6,0 | 7,2 | 640 | |
| G 321Y R | | 90,0 | 110,5 | 405,0 | 134,0 | 27,00 | | | | 5,5 | 8,2 | 800 | |
| G 322W R | | 63,0 | 81,0 | 283,5 | 97,0 | 18,90 | | | | 16,0 | 2,8 | 252 | |
| G 322T R | G 3220 R | 80,0 | 97,0 | 360,0 | 116,5 | 24,00 | 1,24 | 1100 | 5,5 | 12,0 | 3,6 | 320 | |
| G 322Y R | 90,0 | 110,5 | 405,0 | 134,0 | 27,00 | | | | | 11,0 | 4,1 | 400 | |
| G 333Z R | G 3330 R | 63,0 | 81,0 | 283,5 | 97,0 | 18,90 | 2,70 | 1725 | 7,0 | 17,0 | 2,1 | 202 | 0,90 |
| G 333W R | | 63,0 | 95,0 | 283,5 | 114,0 | 18,90 | | | | 17,0 | 2,6 | 252 | 1,13 |
| G 333T R | | 80,0 | 114,0 | 360,0 | 137,0 | 24,00 | | | | 12,0 | 3,6 | 352 | 1,13 |

Siehe Erläuterung der Technischen Daten.

Andere Gummiqualitäten auf Anfrage.

1) VULKAN empfiehlt die zusätzliche Berücksichtigung von C_{Tdyn warm} (0,7), C_{Tdyn la} (1,35) und ψ_{warm} (0,7) für die Berechnung der Drehschwingungen in der Anlage.

2) Der Betriebszustand der Anlage kann eine Korrektur der gegebenen Werte notwendig machen. Siehe Erläuterungen der Technischen Daten.

Bei mehrreihigen Kupplungen müssen bei der Durchführung einer Drehschwingungs-analyse der Anlage die individuellen Massenträgheitsmomente der Kupplung und die dynamischen Drehfedersteifen der einzelnen Elemente berücksichtigt werden.

Durch die Eigenschaft des Werkstoffs Gummi sind Toleranzen der aufgeführten Daten für C_{Tdyn} von ± 15% möglich.

3) Bedingt durch die physikalischen Eigenschaften der elastischen Elemente sind Toleranzen der aufgeführten Daten für ψ, von 0% bis -30% für die W, T, Q, Y Elemente bzw., von 0% bis -45% für die Z, J Elemente möglich.

See Explanation of the Technical Data.

Different rubber qualities on request.

1) VULKAN recommend that the values C_{Tdyn warm} (0.7), C_{Tdyn la} (1.35) and ψ_{warm} (0.7) be additionally used when the installations of torsional vibrations are calculated.

2) The actual operating condition could require the correction of the given values. See explanation of Technical Data.

In case of multi-row couplings, the individual mass-moments of inertia and dynamic torsional stiffnesses of the coupling must be taken into consideration when making the torsional vibration analysis of the installation.

The properties of the rubber material mean that tolerances of ± 15% with respect to the data given for C_{Tdyn} are possible.

3) Because of the physical properties of the elastic elements, tolerances of 0% to -30% for the W, T, Q, Y elements and 0% to -45% for the Z and J elements with respect to the data given for ψ are possible.

| Baugröße | Baugruppe | Nenn-dreh-moment | Max. Dreh-moment ₁ | Max. Dreh-moment ₂ | Max. Dreh-moment-bereich | Zul. Wech-seldreh-moment | Zul. Verlust-leistung | Zul. Dreh-zahl | Zul. axialer Wellenver-satz | Zul. radialer Kupplungs-ver-satz | Radiale Federsteife | Dynamische Drehfeder-steife | Verhältnis-mäßige Dämpfung |
|---|-----------------|------------------------|-------------------------------|-------------------------------|--------------------------|--------------------------|-------------------------|--|---------------------------------|---------------------------------------|---------------------------|--|------------------------------|
| Size | Dimension Group | Norminal Torque | Max. Torque ₁ | Max. Torque ₂ | Max. Torque Range | Perm. Vibra-tory Torque | Perm. Power Loss | Perm. Rotational Speed | Perm. Axial Shaft Dis-placement | Perm. Radial Coupling Dis-placement | Radial Stiffness | Dynamic Torsional Stiffness | Relative Damping |
| | | T _{KN} kNm | T _{Kmax1} kNm | T _{Kmax2} kNm | ΔT _{max} kNm | T _{KW} kNm | P _{KV50} kW | n _{Kmax} ²⁾ 1/min | ΔK _a mm | ΔK _r ^{4,2)} mm | C _{dyn} kN/mm | C _{Tdyn} ¹⁾²⁾ kNm/rad nominal | ψ ¹⁾³⁾ nominal |
| IMPORTANT¹⁾: C_{Tdyn warm}, C_{Tdyn la}, ψ_{warm} are to be considered! | | | | | | | | | | | | | |
| G 343Z R | | 80,0 | 101,0 | 360,0 | 121,5 | 24,00 | | | | 18,0 | 2,4 | 256 | 0,90 |
| G 343W R | G 3430 R | 80,0 | 118,0 | 360,0 | 142,5 | 24,00 | 2,52 | 1545 | 7,0 | 18,0 | 3,0 | 320 | 1,13 |
| G 343T R | | 100,0 | 142,5 | 450,0 | 171,0 | 30,00 | | | | 13,0 | 4,1 | 440 | 1,13 |
| G 352W R | | 80,0 | 120,0 | 360,0 | 148,0 | 24,00 | | | | 13,2 | 4,2 | 560 | |
| G 352T R | G 3520 R | 100,0 | 147,0 | 450,0 | 177,0 | 30,00 | 1,76 | 1350 | 7,0 | 10,4 | 5,2 | 700 | 1,13 |
| G 352Y R | | 100,0 | 150,0 | 450,0 | 200,0 | 30,00 | | | | 8,4 | 6,5 | 875 | |
| G 381Z R | | 100,0 | 158,0 | 450,0 | 190,0 | 30,00 | | | | 9,8 | 7,2 | 1200 | 0,90 |
| G 381W R | G 3810 R | 125,0 | 177,0 | 562,5 | 212,0 | 37,50 | 0,90 | 1130 | 6,5 | 7,8 | 9,0 | 1500 | 1,13 |
| G 381T R | | 160,0 | 206,0 | 720,0 | 247,0 | 48,00 | | | | 6,1 | 11,5 | 1920 | 1,13 |
| G 382Z R | | 100,0 | 158,0 | 450,0 | 190,0 | 30,00 | | | | 19,6 | 3,6 | 600 | 0,90 |
| G 382W R | G 3820 R | 125,0 | 177,0 | 562,5 | 212,0 | 37,50 | 1,80 | 1130 | 6,5 | 15,6 | 4,5 | 750 | 1,13 |
| G 382T R | | 160,0 | 206,0 | 720,0 | 247,0 | 48,00 | | | | 12,2 | 5,8 | 960 | 1,13 |
| G 401Z R | | 100,0 | 158,0 | 450,0 | 190,0 | 30,00 | | | | 10,8 | 5,3 | 735 | 0,90 |
| G 401J R | | 125,0 | 160,0 | 562,5 | 200,0 | 37,50 | | | | 9,3 | 6,1 | 850 | 0,90 |
| G 401W R | G 4010 R | 125,0 | 177,0 | 562,5 | 212,0 | 37,50 | 0,80 | | | 7,2 | 7,9 | 1100 | 1,13 |
| G 401T R | | 160,0 | 206,0 | 720,0 | 247,0 | 48,00 | | | | 5,2 | 10,9 | 1525 | 1,13 |
| G 401Y R | | 180,0 | 220,0 | 810,0 | 266,0 | 48,00 | | 900 | 9,0 | 3,8 | 15,1 | 2100 | 1,13 |
| G 402Z R | | 100,0 | 158,0 | 450,0 | 190,0 | 30,00 | | | | 21,6 | 2,7 | 368 | 0,90 |
| G 402J R | | 125,0 | 160,0 | 562,5 | 200,0 | 37,50 | | | | 18,6 | 3,0 | 425 | 0,90 |
| G 402W R | G 4020 R | 125,0 | 177,0 | 562,5 | 212,0 | 37,50 | 1,60 | | | 14,4 | 4,0 | 550 | 1,13 |
| G 402T R | | 160,0 | 206,0 | 720,0 | 247,0 | 48,00 | | | | 10,4 | 5,5 | 763 | 1,13 |
| G 402Y R | | 180,0 | 220,0 | 810,0 | 266,0 | 48,00 | | | | 7,6 | 7,5 | 1050 | 1,13 |
| G 471Z R | | 200,0 | 250,0 | 900,0 | 300,0 | 50,00 | | | | 11,5 | 6,7 | 1300 | 0,90 |
| G 471W R | G 4710 R | 224,0 | 280,0 | 1010,0 | 335,0 | 64,00 | | | | 8,0 | 9,8 | 1900 | 1,13 |
| G 471T R | | 250,0 | 320,0 | 1125,0 | 375,0 | 64,00 | 0,90 | | | 5,7 | 14,0 | 2700 | 1,13 |
| G 471Y R | | 270,0 | 360,0 | 1215,0 | 430,0 | 64,00 | | 750 | 12,0 | 4,2 | 19,1 | 3700 | 1,13 |
| G 472Z R | | 200,0 | 250,0 | 900,0 | 300,0 | 50,00 | | | | 23,0 | 3,4 | 650 | 0,90 |
| G 472W R | G 4720 R | 224,0 | 280,0 | 1010,0 | 335,0 | 64,00 | 1,80 | | | 16,0 | 4,9 | 950 | 1,13 |
| G 472T R | | 250,0 | 320,0 | 1125,0 | 375,0 | 64,00 | | | | 11,4 | 7,0 | 1350 | 1,13 |
| G 472Y R | | 270,0 | 360,0 | 1215,0 | 430,0 | 64,00 | | | | 8,4 | 9,6 | 1850 | 1,13 |

Siehe Erläuterung der Technischen Daten.

Andere Gummiqualitaten auf Anfrage.

- 1) VULKAN empfiehlt die zusatzliche Berucksichtigung von C_{Tdyn warm} (0,7), C_{Tdyn la} (1,35) und ψ_{warm} (0,7) fur die Berechnung der Drehschwingungen in der Anlage.
- 2) Der Betriebszustand der Anlage kann eine Korrektur der gegebenen Werte notwendig machen. Siehe Erlauterungen der Technischen Daten.

Bei mehrreihigen Kupplungen mussen bei der Durchfuhrung einer Drehschwingungs-analyse der Anlage die individuellen Massentragheitsmomente der Kupplung und die dynamischen Drehfedersteifen der einzelnen Elemente berucksichtigt werden.

Durch die Eigenschaft des Werkstoffs Gummi sind Toleranzen der aufgefuhrten Daten fur C_{Tdyn} von ± 15% moglich.

- 3) Bedingt durch die physikalischen Eigenschaften der elastischen Elemente sind Toleranzen der aufgefuhrten Daten fur ψ, von 0% bis -30% fur die W, T, Q, Y Elemente bzw., von 0% bis -45% fur die Z, J Elemente moglich.

See Explanation of the Technical Data.

Different rubber qualities on request.

- 1) VULKAN recommend that the values C_{Tdyn warm} (0.7), C_{Tdyn la} (1.35) and ψ_{warm} (0.7) be additionally used when the installations of torsional vibrations are calculated.
- 2) The actual operating condition could require the correction of the given values. See explanation of Technical Data.

In case of multi-row couplings, the individual mass-moments of inertia and dynamic torsional stiffnesses of the coupling must be taken into consideration when making the torsional vibration analysis of the installation.

The properties of the rubber material mean that tolerances of ± 15% with respect to the data given for C_{Tdyn} are possible.

- 3) Because of the physical properties of the elastic elements, tolerances of 0% to -30% for the W, T, Q, Y elements and 0% to -45% for the Z and J elements with respect to the data given for ψ are possible.

ABMESSUNGEN/MASSENTRÄGHEITSMOMENTE/MASSEN

DIMENSIONS/MASS-MOMENTS OF INERTIA/MASSES

RATO R Baureihe / Series 2200

| Baugruppe | Abmessungen | | | | | | | | | | | | | | Massenträgheitsmoment | | | | Masse | | | | Schwerpunktsabstand | | | |
|-----------------|-----------------|------------|-------------------------------------|-------|-------|------|----------|------|-------|--------|-------|-------|-------|---------------------|-----------------------|------------------------|-------|-------|--------|--------|---------|-------|---------------------|-------------------------------|-------|-------|
| | Dimension Group | Dimensions | | | | | | | | | | | | | | Mass moment of inertia | | | | Mass | | | | Distance to center of gravity | | |
| T_{KN} kNm | | D_1 | D_2 vorgeb. pilot bored max | D_3 | D_4 | Z | L_{kr} | T | L_1 | L_2 | L_4 | L_5 | L_3 | J_1 | J_2 | J_3 | J_4 | m_1 | m_2 | m_3 | m_4 | s_1 | s_2 | s_3 | s_4 | |
| | | | | | | | | | | | | | | [kgm ²] | | | | [kg] | | | | [mm] | | | | |
| G1920R | 12,5-16,0 | 595 | 70 | 150 | 13,5 | - | 585 | 558 | 32 | 346,95 | 175,0 | 12,5 | - | - | 1,0 | 1,3 | 2,5 | - | 24,00 | 26,0 | 97,00 | - | 27,0 | 266,0 | 139 | - |
| G2120R | 16,0-20,0 | 640 | 80 | 160 | 13,5 | - | 635 | 608 | 32 | 390,00 | 185,0 | 8,0 | - | - | 1,3 | 1,8 | 3,0 | - | 24,00 | 32,0 | 106,00 | - | 23,0 | 302,0 | 152 | - |
| G2320R | 20,0-25,0 | 685 | 110 | 170 | 15,5 | - | 680 | 650 | 32 | 411,00 | 195,0 | 10,0 | - | - | 2,0 | 2,5 | 4,4 | - | 33,00 | 38,0 | 123,00 | - | 25,0 | 317,0 | 166 | - |
| G2410R | 25,0-35,6 | 735 | 110 | 185 | 17,5 | - | 740 | 700 | 32 | 324,70 | 225,0 | 8,0 | - | - | 2,1 | 5,4 | - | - | 30,00 | 147,0 | - | - | 13,0 | 172,0 | - | - |
| G2520R | 25,0-31,5 | 735 | 110 | 185 | 15,5 | - | 730 | 700 | 32 | 463,00 | 225,0 | 10,0 | - | - | 2,8 | 3,4 | 6,0 | - | 40,00 | 45,0 | 161,00 | - | 34,0 | 360,0 | 191 | - |
| G2620R | 31,5-40,0 | 793 | 100 | 200 | 17,5 | - | 790 | 755 | 32 | 488,00 | 235,0 | 10,0 | - | - | 3,9 | 4,8 | 9,1 | - | 47,00 | 55,0 | 207,00 | - | 28,0 | 378,0 | 191 | - |
| G2730R | 31,5 | 800 | 100 | 200 | 17,5 | 28,0 | 790 | 755 | 32 | 500,00 | 235,0 | 32,0 | 6 | 21,0 | 7,6 | 4,0 | 4,0 | 9,60 | 78,00 | 44,0 | 44,00 | 217 | 52,0 | 114,0 | 330 | 174,0 |
| G2930R | 40,0 | 870 | 110 | 220 | 20,0 | 32,0 | 860 | 820 | 32 | 535,00 | 250,0 | 35,0 | 6 | 23,0 | 11,7 | 6,0 | 6,0 | 14,90 | 103,00 | 55,0 | 55,00 | 283 | 57,0 | 123,0 | 352 | 185,0 |
| G3110R | 50,0-63,0 | 920 | 115 | 235 | 20,0 | - | 920 | 880 | 32 | 452,20 | 285,0 | 12,0 | - | - | 8,5 | 15,5 | - | - | 77,00 | 296,0 | - | - | 34,0 | 209,0 | - | - |
| G3120R | 50,0-63,0 | 920 | 115 | 235 | 20,0 | - | 920 | 880 | 32 | 586,00 | 285,0 | 12,0 | - | - | 8,5 | 10,6 | 19,5 | - | 77,00 | 91,0 | 333,00 | - | 34,0 | 454,0 | 228 | - |
| G3210R | 63,0-90,0 | 1000 | 150 | 255 | 22,0 | - | 995 | 950 | 32 | 497,50 | 300,0 | 12,0 | - | - | 12,9 | 29,1 | - | - | 96,00 | 403,0 | - | - | 30,0 | 243,0 | - | - |
| G3220R | 63,0-90,0 | 1000 | 150 | 255 | 22,0 | - | 995 | 950 | 32 | 656,00 | 300,0 | 12,0 | - | - | 12,9 | 28,1 | 29,1 | - | 100,00 | 202,0 | 404,00 | - | 30,0 | 499,0 | 243 | - |
| G3330R | 63,0-80,0 | 1010 | 125 | 255 | 22,0 | 36,0 | 995 | 950 | 32 | 635,00 | 300,0 | 40,0 | 8 | 25,0 | 24,8 | 12,5 | 13,0 | 30,70 | 157,00 | 90,0 | 90,00 | 434 | 64,0 | 143,0 | 419 | 220,0 |
| G3430R | 80,0-100,0 | 1085 | 160 | 275 | 24,0 | 39,0 | 1070 | 1025 | 32 | 670,00 | 310,0 | 45,0 | 8 | 28,0 | 28,0 | 21,4 | 21,0 | 42,30 | 157,00 | 128,0 | 127,00 | 524 | 55,0 | 523,0 | 424 | 236,0 |
| G3520R | 80,0-100,0 | 1135 | 135 | 275 | 24,0 | - | 1120 | 1075 | 32 | 597,15 | 310,0 | 11,4 | - | - | 16,1 | 17,9 | 59,4 | - | 92,00 | 146,0 | 597,00 | - | 25,0 | 470,0 | 253 | - |
| G4010R | 100,0-180,0 | 1250 | 220 | 320 | 26,0 | - | 1240 | 1190 | 32 | 626,00 | 385,0 | 14,0 | - | - | 38,3 | 83,5 | - | - | 184,00 | 768,0 | - | - | 36,0 | 307,0 | - | - |
| G4020R | 100,0-180,0 | 1250 | 200 | 320 | 26,0 | - | 1240 | 1190 | 32 | 821,50 | 385,0 | 14,0 | - | - | 38,5 | 82,9 | 84,0 | - | 190,00 | 385,0 | 770,00 | - | 37,0 | 628,0 | 307 | - |
| G4710R | 200,0-270,0 | 1465 | 230 | 370 | 32,0 | - | 1460 | 1395 | 32 | 736,60 | 480,0 | 14,0 | - | - | 74,7 | 173,6 | - | - | 274,00 | 1222,0 | - | - | 38,5 | 367,0 | - | - |
| G4720R | 200,0-270,0 | 1465 | 230 | 370 | 32,0 | - | 1460 | 1395 | 32 | 953,60 | 480,0 | 14,0 | - | - | 74,7 | 166,0 | 173,6 | - | 274,00 | 559,0 | 1228,00 | - | 38,5 | 742,0 | 369 | - |

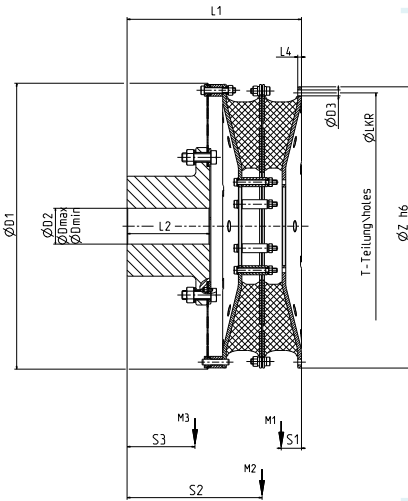
Maße in mm

Alle Massen und Massenträgheitsmomente beziehen sich auf vorgebohrte Naben. Bei mehrreihigen Kupplungen müssen bei der Durchführung einer Drehschwingungsanalyse der Anlage die individuellen Massenträgheitsmomente der Kupplung und die dynamischen Drehfedersteifen der einzelnen Elemente berücksichtigt werden.

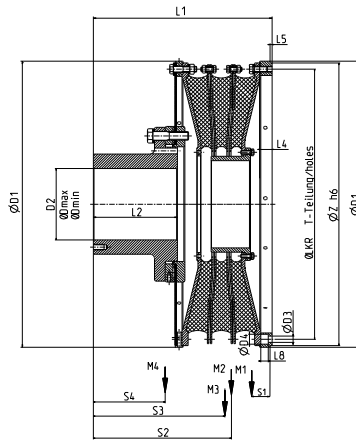
Dimensions in mm

All masses and mass moments of inertia refer to pilot bored hubs. In case of multi-row couplings the individual mass-moments of inertia and dynamic torsional stiffnesses of the coupling must be taken into consideration when making the torsional vibration analysis of the installation.

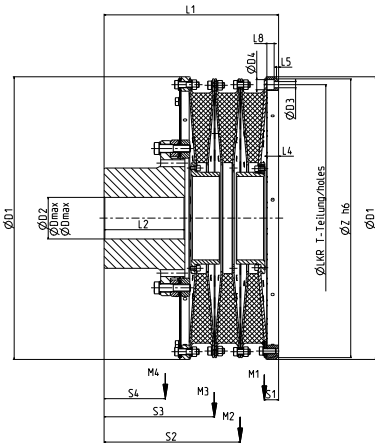
RATO R Baureihe / Series 2200



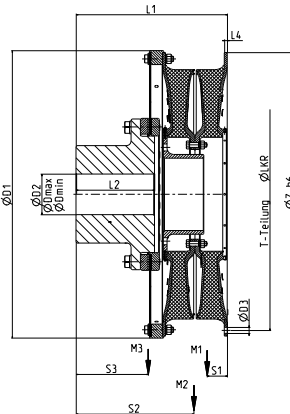
1920, 2120, 2320, 2520, 2620, 3120



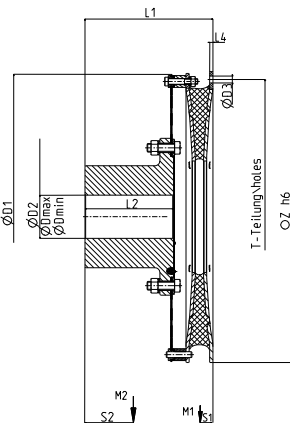
2730, 2930, 3330



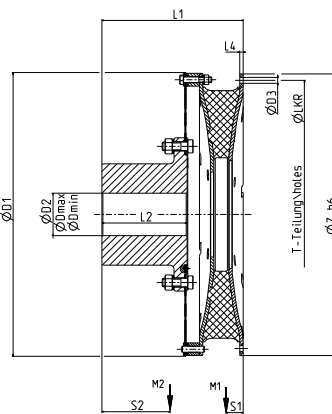
3430



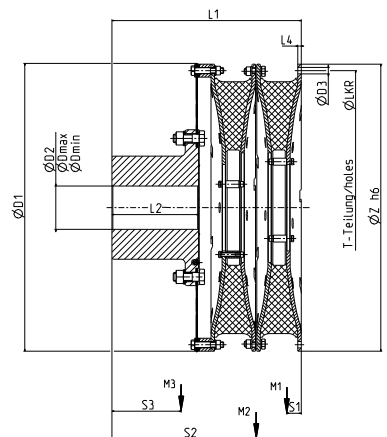
3520



2410



3210, 3810, 4010, 4710



3220, 3820, 4020, 4720

ABMESSUNGEN/MASSENTRÄGHEITSMOMENTE/MASSEN

DIMENSIONS/MASS-MOMENTS OF INERTIA/MASSES

RATO R Baureihe / Series 2201

| Baugruppe | Abmessungen | | | | | | | | | | | | | | Massenträgheitsmoment | | | | Masse | | | | Schwerpunktsabstand | | | |
|-----------------|-----------------|-------|---|-----------------------------|-------|------|----------|------|-------|--------|-------|-------|-------|---------------------|------------------------|-------|-------|--------|--------|---------|--------|-------|-------------------------------|-------|-------|-------|
| Dimension Group | Dimensions | | | | | | | | | | | | | | Mass moment of inertia | | | | Mass | | | | Distance to center of gravity | | | |
| | T_{RN} kNm | D_1 | D_2 <small>vorgeb. pilot bored</small> | D_3 <small>max</small> | D_4 | Z | L_{kr} | T | L_1 | L_2 | L_4 | L_5 | L_8 | J_1 | J_2 | J_3 | J_4 | m_1 | m_2 | m_3 | m_4 | s_1 | s_2 | s_3 | s_4 | |
| | | | | | | | | | | | | | | [kgm ²] | | | | [kg] | | | | [mm] | | | | |
| G1920R | 12,5-16,0 | 595 | 70 | 150 | 13,5 | - | 585 | 558 | 32 | 346,95 | 175,0 | 12,5 | - | 1,0 | 1,3 | 2,6 | - | 25,00 | 27,0 | 103,00 | - | 26,0 | 266,0 | 103 | - | |
| G2120R | 16,0-20,0 | 640 | 80 | 160 | 13,5 | - | 635 | 608 | 32 | 390,00 | 185,0 | 8,0 | - | 1,4 | 1,8 | 3,0 | - | 30,00 | 32,0 | 111,00 | - | 29,0 | 302,0 | 157 | - | |
| G2320R | 20,0-25,0 | 685 | 110 | 170 | 15,5 | - | 680 | 650 | 32 | 411,00 | 195,0 | 10,0 | - | 2,1 | 2,5 | 4,5 | - | 40,00 | 38,0 | 129,00 | - | 30,0 | 317,0 | 172 | - | |
| G2520R | 25,0-31,5 | 735 | 110 | 185 | 15,5 | - | 730 | 700 | 32 | 463,00 | 225,0 | 10,0 | - | 2,9 | 3,4 | 6,4 | - | 49,00 | 46,0 | 170,00 | - | 34,0 | 360,0 | 191 | - | |
| G2610R | 31,5-40,0 | 793 | 100 | 200 | 17,5 | - | 790 | 755 | 32 | 406,00 | 235,0 | 10,0 | - | 4,0 | 8,0 | - | - | 59,00 | 210,0 | - | - | 36,0 | 191,0 | - | - | |
| G2620R | 31,5-40,0 | 793 | 100 | 200 | 17,5 | - | 790 | 755 | 32 | 488,00 | 235,0 | 10,0 | - | 4,1 | 4,8 | 9,1 | - | 59,00 | 56,0 | 207,00 | - | 36,0 | 378,0 | 190 | - | |
| G2730R | 31,5 | 800 | 100 | 200 | 18,0 | 28,0 | 790 | 755 | 32 | 500,00 | 235,0 | 32,0 | 6 | 21,0 | 7,6 | 4,0 | 4,0 | 9,80 | 80,00 | 44,0 | 44,00 | 229 | 50,0 | 114,0 | 330 | 177,0 |
| G2930R | 40,0 | 870 | 110 | 220 | 20,0 | 32,0 | 860 | 820 | 32 | 535,00 | 250,0 | 35,0 | 6 | 23,0 | 11,7 | 6,0 | 6,0 | 15,20 | 108,00 | 55,0 | 55,00 | 300 | 55,0 | 123,0 | 352 | 188,0 |
| G3110R | 50,0-63,0 | 925 | 115 | 235 | 20,0 | - | 920 | 880 | 32 | 484,20 | 285,0 | 12,0 | - | 9,0 | 17,2 | - | - | 96,00 | 336,0 | - | - | 44,0 | 228,0 | - | - | |
| G3120R | 50,0-63,0 | 925 | 115 | 235 | 20,0 | - | 920 | 880 | 32 | 586,00 | 285,0 | 12,0 | - | 8,9 | 10,6 | 20,0 | - | 95,00 | 91,0 | 349,60 | - | 43,0 | 454,0 | 236 | - | |
| G3220R | 63,0-90,0 | 1000 | 150 | 255 | 22,0 | - | 995 | 950 | 32 | 656,00 | 300,0 | 12,0 | - | 13,7 | 28,1 | 29,9 | - | 128,00 | 202,0 | 432,00 | - | 43,0 | 500,0 | 255 | - | |
| G3330R | 63,0-80,0 | 1010 | 125 | 255 | 22,0 | 36,0 | 995 | 950 | 32 | 635,00 | 300,0 | 40,0 | 8 | 25,0 | 24,8 | 12,5 | 13,0 | 31,30 | 181,00 | 90,0 | 90,00 | 460 | 62,0 | 143,0 | 419 | 224,0 |
| G3430R | 80,0-100,0 | 1085 | 160 | 275 | 24,0 | 39,0 | 1070 | 1025 | 32 | 670,00 | 310,0 | 45,0 | 8 | 28,0 | 28,5 | 21,3 | 21,4 | 42,90 | 175,00 | 128,0 | 127,00 | 543 | 61,0 | 523,0 | 425 | 241,0 |
| G4010R | 100,0-180,0 | 1250 | 200 | 320 | 26,0 | - | 1240 | 1190 | 32 | 674,00 | 385,0 | 14,0 | - | 40,5 | 89,9 | - | - | 238,00 | 855,0 | - | - | 51,0 | 332,0 | - | - | |
| G4020R | 100,0-180,0 | 1250 | 200 | 320 | 26,0 | - | 1240 | 1190 | 32 | 821,30 | 385,0 | 14,0 | - | 40,7 | 82,9 | 86,1 | - | 239,00 | 386,0 | 819,00 | - | 51,0 | 628,0 | 321 | - | |
| G4710R | 200,0-270,0 | 1465 | 230 | 370 | 33,0 | - | 1460 | 1395 | 32 | 796,50 | 480,0 | 14,0 | - | 79,4 | 195,6 | - | - | 349,00 | 1421,0 | - | - | 54,0 | 404,0 | - | - | |
| G4720R | 200,0-270,0 | 1465 | 230 | 370 | 33,0 | - | 1460 | 1395 | 32 | 953,60 | 480,0 | 14,0 | - | 79,3 | 166,2 | 178,8 | - | 348,00 | 559,0 | 1303,00 | - | 54,0 | 742,0 | 385 | - | |

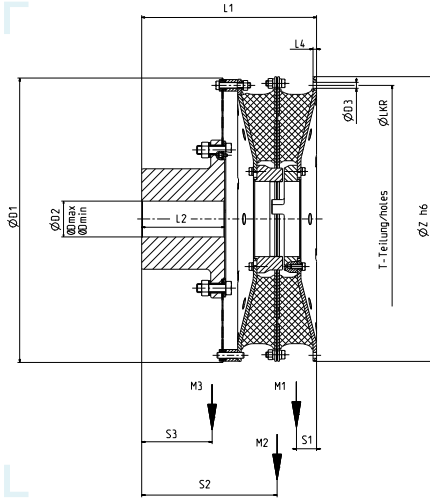
Maße in mm

Alle Massen und Massenträgheitsmomente beziehen sich auf vorgebohrte Naben. Bei mehrreihigen Kupplungen müssen bei der Durchführung einer Drehschwingungsanalyse der Anlage die individuellen Massenträgheitsmomente der Kupplung und die dynamischen Drehfedersteifen der einzelnen Elemente berücksichtigt werden.

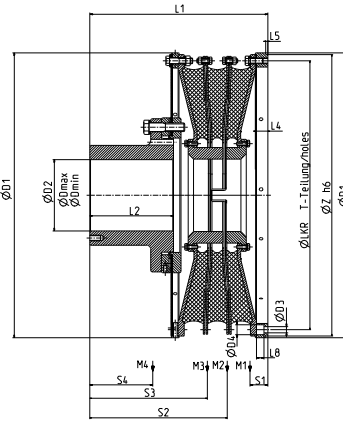
Dimensions in mm

All masses and mass moments of inertia refer to pilot bored hubs. In case of multi-row couplings the individual mass-moments of inertia and dynamic torsional stiffnesses of the coupling must be taken into consideration when making the torsional vibration analysis of the installation.

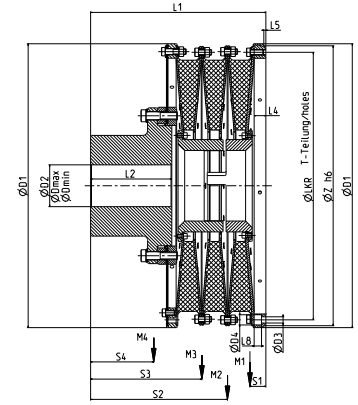
RATO R Baureihe / Series 2201



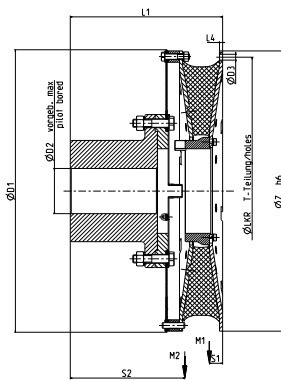
2120, 2320, 2520, 2620, 3120



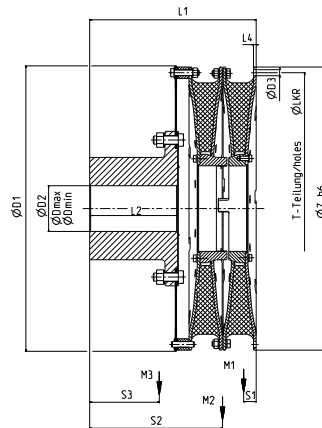
2730, 2930, 3330



3430



3210, 3810, 4010, 4710



3220, 3820, 4020, 4720

ABMESSUNGEN/MASSENTRÄGHEITSMOMENTE/MASSEN

DIMENSIONS/MASS-MOMENTS OF INERTIA/MASSES

RATO R Baureihe / Series 2400

| Baugruppe | Dimension Group | Abmessungen | | | | | | | | | Massenträgheitsmoment | | | | Masse | | | | Schwerpunktsabstand | | | | |
|-----------|-----------------|------------------------|------------------------|------|----------------|--------|----------------|----------------|----------------|----------------|-----------------------|----------------|----------------|----------------|----------------|----------------|----------------|----------------|---------------------|----------------|----------------|----------------|----------------|
| | | T _{RN} kNm | D ₁ | | D ₂ | | D ₃ | D ₅ | L ₁ | L ₂ | L ₃ | L ₆ | J ₁ | J ₂ | J ₃ | J ₄ | m ₁ | m ₂ | m ₃ | m ₄ | s ₁ | s ₂ | s ₃ |
| | | | vorgeb. pilot bored | max. | | | | | | | | | | | | | | | | | | | |
| G1920R | 12,5-16,0 | 595 | 70 | 150 | - | 595,0 | 552,00 | 175,0 | 151,3 | 150,0 | 3,4 | 1,3 | 2,5 | - | 119,00 | 26,0 | 97,00 | - | 141,0 | 266,0 | 139 | - | |
| G2120R | 16,0-20,0 | 640 | 80 | 160 | - | 645,0 | 594,00 | 185,0 | 165,5 | 166,5 | 4,5 | 1,8 | 3,0 | - | 131,00 | 32,0 | 106,00 | - | 158,0 | 302,0 | 152 | - | |
| G2320R | 20,0-25,0 | 685 | 110 | 170 | - | 690,0 | 625,00 | 195,0 | 174,2 | 173,5 | 6,7 | 2,5 | 4,5 | - | 157,00 | 38,0 | 125,00 | - | 172,0 | 318,0 | 167 | - | |
| G2410R | 25,0-35,6 | 735 | 110 | 185 | - | 750,0 | 567,90 | 225,0 | 203,2 | 200,3 | 8,5 | 5,3 | - | - | 185,00 | 147,0 | - | - | 184,0 | 172,0 | - | - | |
| G2520R | 25,0-31,5 | 735 | 110 | 185 | - | 740,0 | 706,00 | 225,0 | 203,2 | 202,5 | 8,9 | 3,4 | 6,2 | - | 195,00 | 46,0 | 163,00 | - | 190,0 | 360,0 | 185 | - | |
| G2620R | 31,5-40,0 | 793 | 100 | 200 | - | 800,0 | 745,00 | 235,0 | 211,0 | 211,5 | 13,7 | 4,8 | 9,2 | - | 256,00 | 55,0 | 207,00 | - | 199,0 | 378,0 | 191 | - | |
| G2930R | 40,0 | 870 | 110 | 220 | - | 870,0 | 750,00 | 250,0 | 224,0 | 209,0 | 20,3 | 6,0 | 6,0 | 14,90 | 347,00 | 55,0 | 55,00 | 283 | 201,0 | 338,0 | 352 | 185,0 | |
| G3110R | 50,0-63,0 | 925 | 115 | 235 | - | 935,0 | 758,20 | 285,0 | 256,5 | 252,5 | 28,6 | 15,5 | - | - | 405,00 | 296,0 | - | - | 237,0 | 209,0 | - | - | |
| G3120R | 50,0-63,0 | 920 | 115 | 235 | - | 935,0 | 892,00 | 285,0 | 256,5 | 252,5 | 28,6 | 11,4 | 20,1 | - | 405,00 | 100,0 | 339,00 | - | 237,0 | 454,0 | 230 | - | |
| G3210R | 63,0-90,0 | 1000 | 150 | 255 | - | 1010,0 | 824,50 | 300,0 | 274,5 | 263,5 | 42,9 | 29,1 | - | - | 498,00 | 403,0 | - | - | 253,0 | 243,0 | - | - | |
| G3220R | 63,0-90,0 | 1000 | 150 | 255 | - | 1010,0 | 983,00 | 300,0 | 274,5 | 263,5 | 43,1 | 28,1 | 29,1 | - | 502,00 | 202,0 | 404,00 | - | 254,0 | 499,0 | 243 | - | |
| G3330R | 63,0-80,0 | 1010 | 150 | 255 | - | 1010,0 | 894,80 | 300,0 | 273,5 | 255,0 | 44,6 | 13,0 | 13,0 | 32,80 | 578,00 | 91,0 | 91,00 | 439 | 235,0 | 401,0 | 417 | 236,0 | |
| G3430R | 80,0-100,0 | 1085 | 160 | 275 | - | 1085,0 | 934,70 | 310,0 | 271,0 | 263,5 | 56,4 | 21,3 | 21,3 | 42,50 | 661,60 | 128,2 | 127,10 | 525 | 235,0 | 523,4 | 424,7 | 236,2 | |
| G3520R | 80,0-100,0 | 1135 | 160 | 275 | - | 1135,0 | 912,15 | 310,0 | 271,0 | 256,0 | 65,3 | 18,0 | 59,4 | - | 621,00 | 146,0 | 597,00 | - | 243,0 | 470,0 | 253 | - | |
| G3810R | 100,0-160,0 | 1250 | 200 | 320 | - | 1255,0 | 995,00 | 385,0 | 355,0 | 346,5 | 107,0 | 73,2 | - | - | 851,00 | 714,0 | - | - | 310,0 | 294,0 | - | - | |
| G3820R | 100,0-160,0 | 1250 | 200 | 320 | - | 1255,0 | 995,00 | 385,0 | 355,0 | 346,5 | 107,0 | 63,0 | 73,2 | - | 851,00 | 287,0 | 714,00 | - | 310,0 | 582,0 | 294 | - | |
| G4010R | 100,0-180,0 | 1250 | 200 | 320 | - | 1255,0 | 1041,00 | 385,0 | 355,0 | 348,5 | 121,7 | 83,5 | - | - | 931,00 | 768,0 | - | - | 320,0 | 307,0 | - | - | |
| G4020R | 100,0-180,0 | 1250 | 200 | 320 | - | 1255,0 | 1236,50 | 385,0 | 355,0 | 348,5 | 122,0 | 82,9 | 83,5 | - | 931,00 | 386,0 | 768,00 | - | 320,0 | 628,0 | 307 | - | |
| G4710R | 200,0-270,0 | 1465 | 230 | 370 | - | 1480,0 | 1427,60 | 480,0 | 442,3 | 449,3 | 265,0 | 174,0 | - | - | 1516,00 | 1224,0 | - | - | 389,0 | 369,0 | - | - | |
| G4720R | 200,0-270,0 | 1465 | 230 | 370 | - | 1480,0 | 1464,60 | 480,0 | 442,3 | 449,3 | 265,0 | 166,0 | 174,0 | - | 1516,00 | 559,0 | 1229,00 | - | 391,0 | 742,0 | 370 | - | |

Maße in mm

Alle Massen und Massenträgheitsmomente beziehen sich auf vorgebohrte Naben. Bei mehrreihigen Kupplungen müssen bei der Durchführung einer Drehschwingungsanalyse der Anlage die individuellen Massenträgheitsmomente der Kupplung und die dynamischen Drehfedersteifen der einzelnen Elemente berücksichtigt werden.

Dimensions in mm

All masses and mass moments of inertia refer to pilot bored hubs. In case of multi-row couplings the individual mass-moments of inertia and dynamic torsional stiffnesses of the coupling must be taken into consideration when making the torsional vibration analysis of the installation.

NOTIZEN

NOTICE

The page features a large grid of graph paper. The grid is composed of small squares, each further divided into four triangles by a diagonal line from the top-left to the bottom-right. A central rectangular area is defined by a double-line border. Inside this central area, there are four horizontal lines spaced evenly, providing a designated space for writing. The grid extends to the edges of the page, with a vertical margin on the right side.

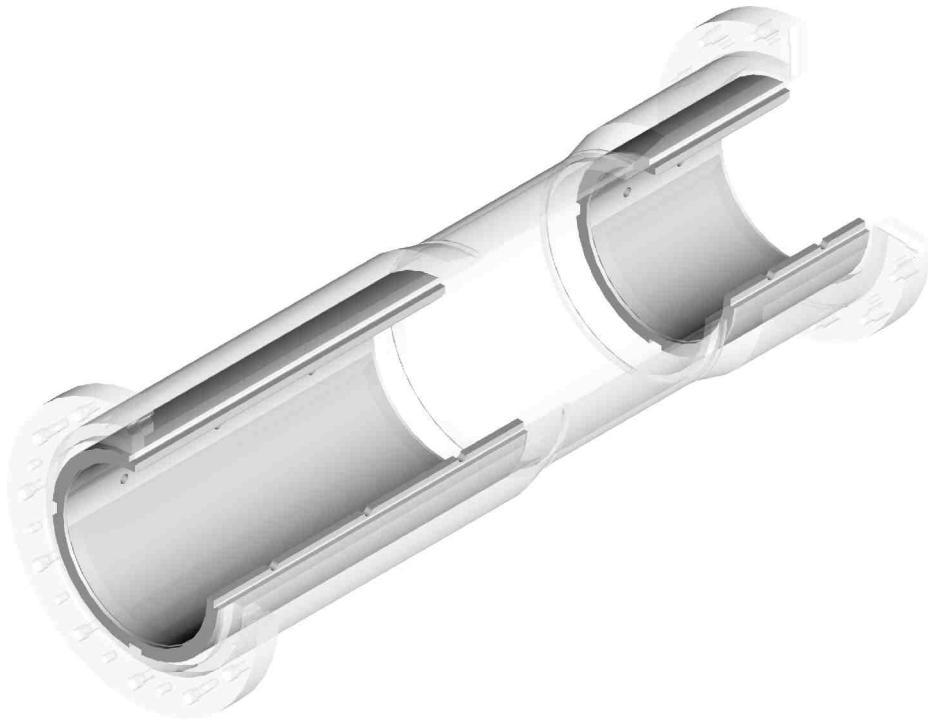
220
210
200
190
180
170
160
150
140
130
120
110
100
90
80
70
60
50
40
30
20
10
0

NOTIZEN

NOTICE

The page features a grid of squares. A central rectangular area is defined by a double-line border, containing four horizontal lines for writing. To the right of the grid, a vertical ruler is marked from 0 to 220 in increments of 10. The top of the page is separated from the rest by a dashed line.

Cedervall sterntube bearings



The Cedervall sterntube bearing together with Cedervall's world known seals forms a combination, which guaranties trouble free operation throughout the lifetime of your vessel.

Cedervall sterntube bearings are made of highest quality steel, cast iron or heavy duty ductile iron with centrifugally lined lead or tin based white metal.

Cedervall sterntube bearings can be supplied in standard sizes or to customer specification.

The bearings can be machined for temperature sensors and a wide range of sensor types can be supplied as option.

For technical specification, see back-cover of this leaflet.

www.cedervall.com

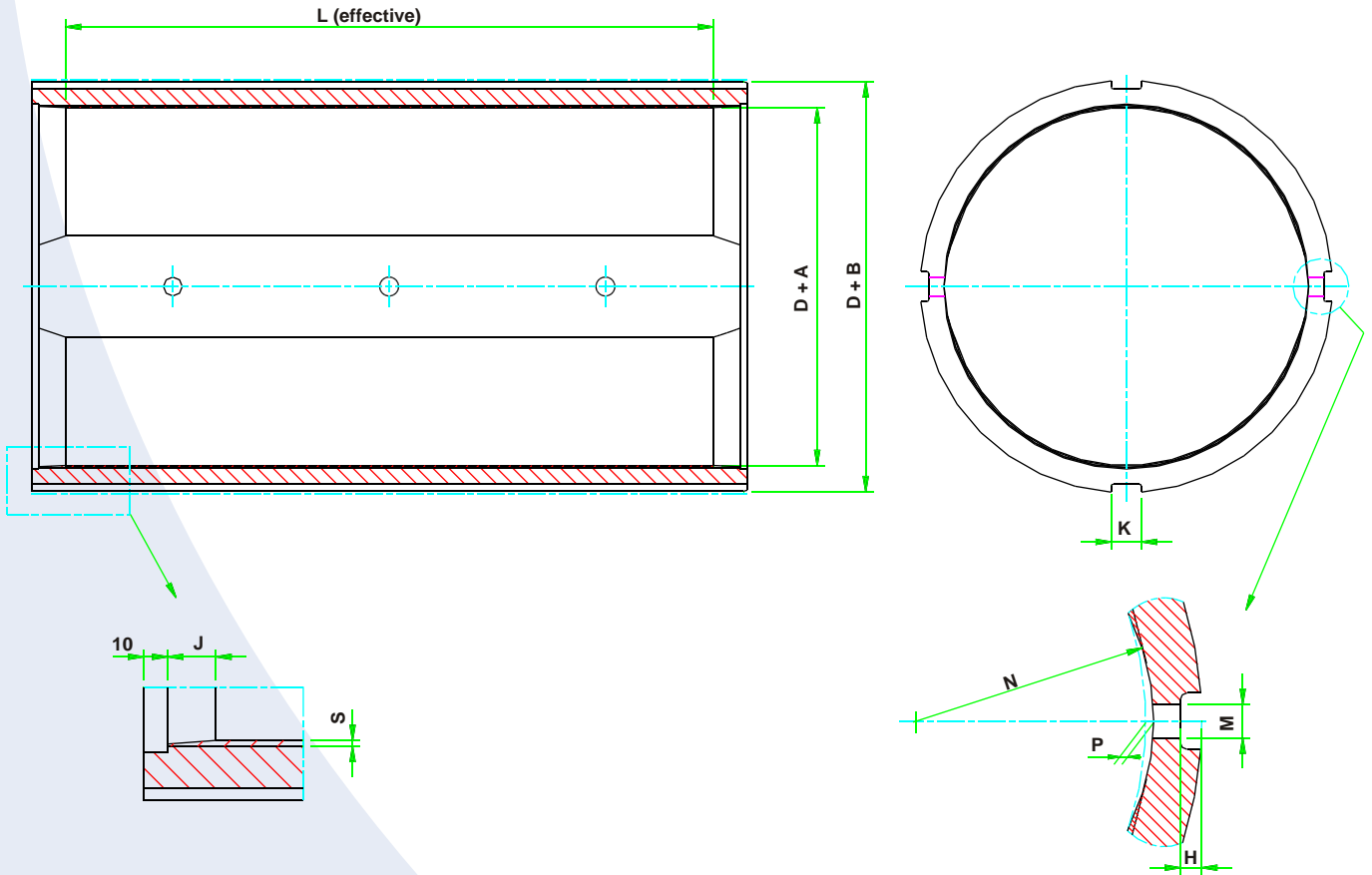




Cedervall sterntube bearings

Cedervall Standard

- | | | | |
|---|-------------------------|------------------------------|----------------------|
| 1. Grey cast iron + lead / tin base babbit | White metals | Cast irons | Steel |
| 3. Nodular cast iron + lead / tin base babbit | 1. Lead base PbSb10Sn6 | 1. Grey GG-25 - DIN 1691 | 1. ST52 – DIN 17 100 |
| 4. Steel + lead / tin base babbit | 2. Tin base SnSb12Cu6Pb | 2. Nodular GGG-40 – DIN 1693 | |



D - Nominal shaft diameter in mm

| SIZE | D | A | B | L | J | S | H | K | M | P | N |
|-------|---------|-----|-----|---------------------|----|-----|-----|----|----|-----|--------|
| 05-20 | 50-200 | 0,4 | 40 | According to class. | 15 | 2,5 | 5* | 25 | 15 | 3,5 | 0,35xD |
| 21-30 | 201-300 | 0,5 | 50 | | 20 | 2,5 | 5* | 25 | 15 | 3,5 | |
| 31-40 | 301-400 | 0,6 | 60 | | 25 | 3,0 | 10* | 40 | 25 | 4,5 | |
| 41-50 | 401-500 | 0,8 | 70 | | 35 | 3,0 | 10* | 40 | 25 | 4,5 | |
| 51-60 | 501-600 | 1,0 | 80 | | 45 | 4,0 | 10* | 40 | 25 | 6,0 | |
| 61-70 | 601-700 | 1,1 | 90 | | 45 | 4,0 | 10* | 40 | 25 | 6,0 | |
| 71-80 | 701-800 | 1,3 | 100 | | 50 | 4,0 | 15 | 63 | 40 | 6,0 | |
| 81-90 | 801-900 | 1,4 | 110 | | 50 | 5,0 | 15 | 63 | 40 | 7,0 | |
| 91-99 | 901-990 | 1,5 | 120 | | 50 | 5,0 | 15 | 63 | 40 | 7,0 | |

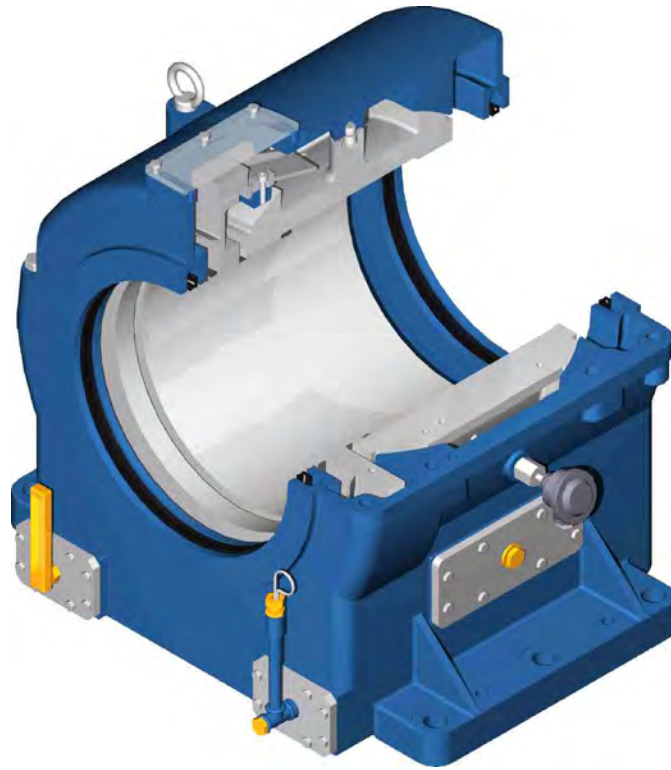
Oil holes and grooves are normally machined by yard after finishing the outer diameter.

All dimensions in mm

*H = 15 mm in of case pipe for temp. sensor through the grooves. Dimension B increases accordingly.

We reserve the right to change dimensions without prior notice.

Cedervall Intermediate Shaft Bearings



The Cedervall Intermediate Shaft Bearings are made of highest quality cast iron with tin or lead base white metal.

The bearings are self-lubricating and self-aligning and prepared for water-cooling.

The self-aligning design simplifies installation and reduces wear of the bearing compared to conventional design.

The bearings are equipped with oil level gauge and thermometer as standard. Temperature sensor can be supplied as option.

In case of severe running conditions the bearings can be equipped with forced lubrication / circulation by means of an external oil pump.

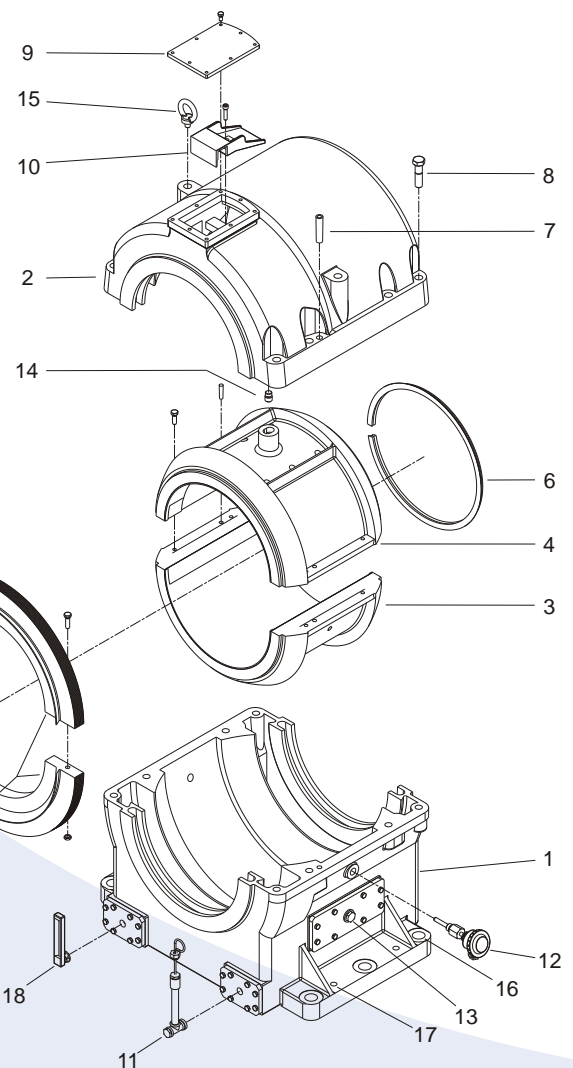
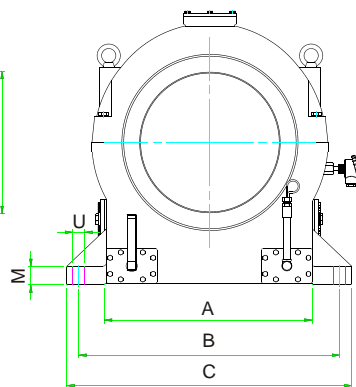
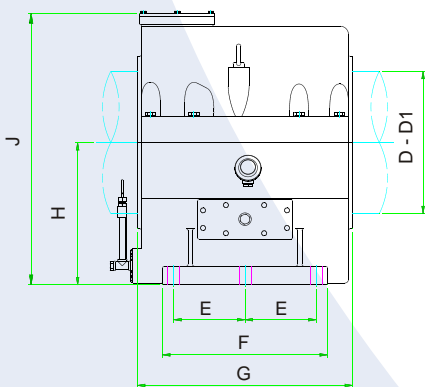
For technical specification, see back-cover of this leaflet.



Cedervall Intermediate Shaft Bearings

| Size | D | - | D1 | A | B | C | E | F | G | H | J | L ^(*) | M | U |
|------|-----|---|-----|-----|------|------|-------|-----|-----|-----|------|------------------|----|-------|
| 125 | 101 | - | 125 | 220 | 310 | 360 | 149,0 | 199 | 217 | 150 | 320 | 70 | 35 | 4-ø25 |
| 165 | 126 | - | 165 | 270 | 350 | 410 | 150,0 | 210 | 310 | 215 | 403 | 125 | 40 | 4-ø25 |
| 210 | 166 | - | 210 | 310 | 400 | 460 | 210,0 | 270 | 360 | 245 | 458 | 185 | 40 | 4-ø32 |
| 235 | 211 | - | 240 | 350 | 490 | 550 | 240,0 | 300 | 436 | 260 | 508 | 250 | 40 | 4-ø32 |
| 265 | 241 | - | 274 | 460 | 550 | 610 | 130,0 | 320 | 446 | 300 | 560 | 255 | 45 | 6-ø32 |
| 290 | 275 | - | 300 | 480 | 580 | 640 | 145,0 | 350 | 485 | 325 | 600 | 275 | 40 | 6-ø32 |
| 320 | 301 | - | 332 | 450 | 620 | 680 | 160,0 | 380 | 510 | 345 | 664 | 300 | 50 | 6-ø32 |
| 350 | 333 | - | 365 | 500 | 640 | 700 | 190,0 | 440 | 532 | 360 | 685 | 350 | 50 | 6-ø32 |
| 380 | 366 | - | 400 | 560 | 700 | 760 | 190,0 | 440 | 574 | 380 | 725 | 360 | 50 | 6-ø32 |
| 420 | 401 | - | 432 | 600 | 740 | 800 | 210,0 | 480 | 615 | 390 | 735 | 360 | 55 | 6-ø32 |
| 450 | 433 | - | 465 | 655 | 795 | 855 | 225,0 | 510 | 642 | 440 | 825 | 430 | 70 | 6-ø32 |
| 480 | 466 | - | 500 | 730 | 840 | 930 | 217,5 | 525 | 525 | 425 | 830 | 300 | 75 | 6-ø45 |
| 530 | 501 | - | 550 | 770 | 880 | 970 | 135,0 | 360 | 510 | 450 | 870 | 300 | 80 | 6-ø45 |
| 580 | 551 | - | 600 | 845 | 965 | 1065 | 222,5 | 545 | 565 | 515 | 995 | 320 | 80 | 6-ø55 |
| 630 | 601 | - | 650 | 775 | 1040 | 1160 | 236,0 | 592 | 612 | 560 | 1082 | 352 | 85 | 6-ø58 |

All dimensions in mm



Partlist

- 1 Lower body
- 2 Upper body
- 3 Lower bearing
- 4 Upper bearing
- 5 Oil ring
- 6 Deflection ring
- 7 Guide pin
- 8 Assembly screw
- 9 Cover
- 10 Spillway
- 11 Oil level / Drain
- 12 Temperature sensor^(*)
- 13 Inlet / outlet cooling circuit
- 14 Anti rotation pin
- 15 Eye bolt
- 16 Fastening bolt^(2,3)
- 17 Level bolt^(2,3)
- 18 Local thermometer

*1. L = bearing length (Pos.3,4)

*2. Item not shown in exploded view.

*3. Optional item.

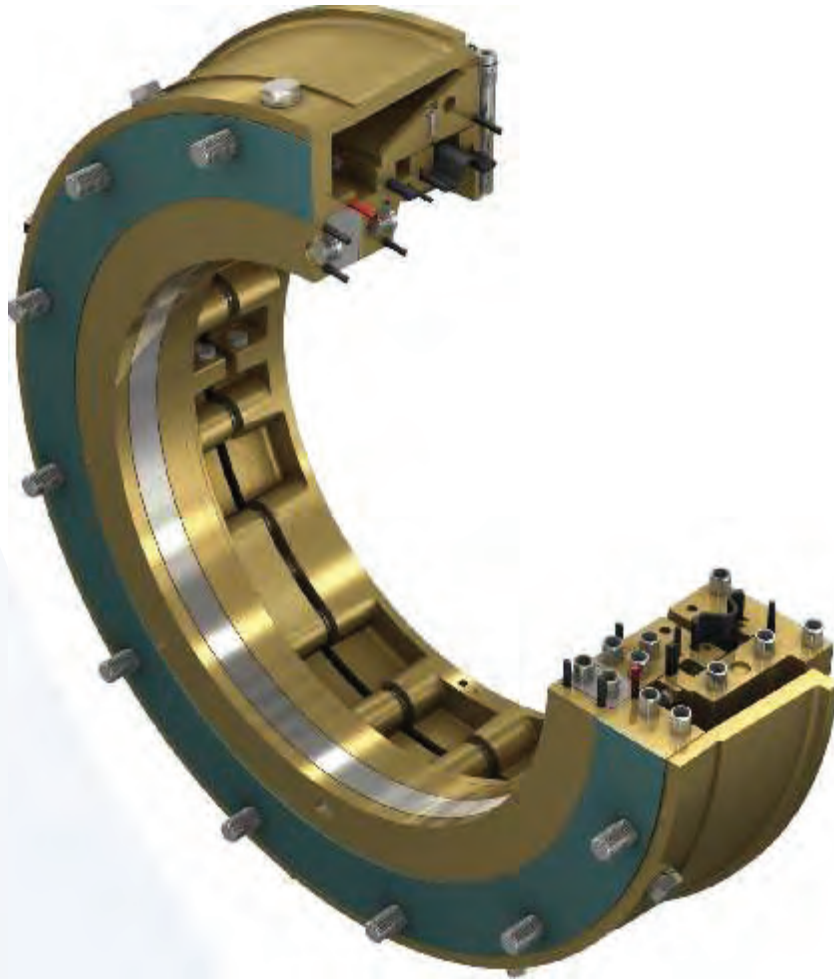
We reserve the right to change dimensions without prior notice.

www.cedervall.com



CHON Var 1.2
2003-08-21

SQA split oil lubricated aft sterntube seal



General

The SQA aft seal is a split oil lubricated face seal for propeller shafts. The face seal principle offers a durable solution, suitable for the harsh working conditions of propeller shaft seals.

Execution

SQA is available in two versions, split and retrofit version, for shaft diameters ranging from 205 to 1004 mm. Both versions comply with requirements for 15 years propeller shaft survey.

The exploded view on next page represents the retrofit version where all parts are split to enable installation without removal of the propeller, propeller shaft or rudder. In the split version parts 1, 4 and 7 are manufactured undivided.

The materials chosen for SeaQual are selected to achieve maximum performance throughout the entire life of the vessel.

SeaQual can also be manufactured to comply with the IWS (in water survey) rules. The IWS version enables measuring of bearing status without drydock the vessel.

Optional items

SQA can be equipped with an inner rope guard, which provides an extra protection against ropes and fishing nylon.

Standard ratings

| | |
|------------------------|--------------------------|
| Shaft diameter: | 205-1004 mm |
| Periphery speed: | max 10 m/s |
| Lubricant: | oil (see recommendation) |
| Oil pressure: | max 2.5 Bar |
| Pressure gradient: | 0.1-0.3 Bar |
| Operating temperature: | -5 °C to 65 °C |
| Shaft elongation: | max 10 mm |

Maintenance

SQA is designed for maintenance intervals of five years, which represents the normal period between docking.

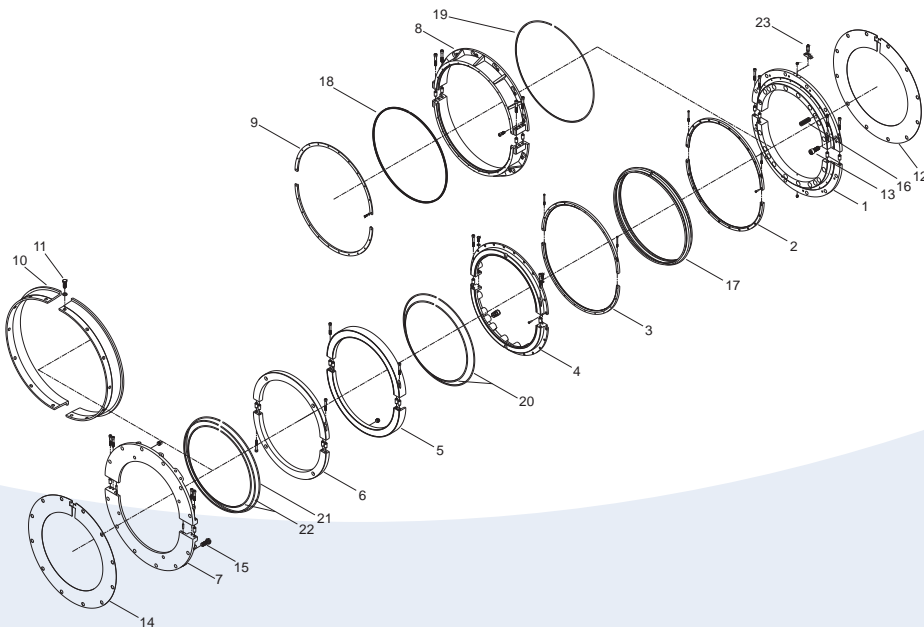
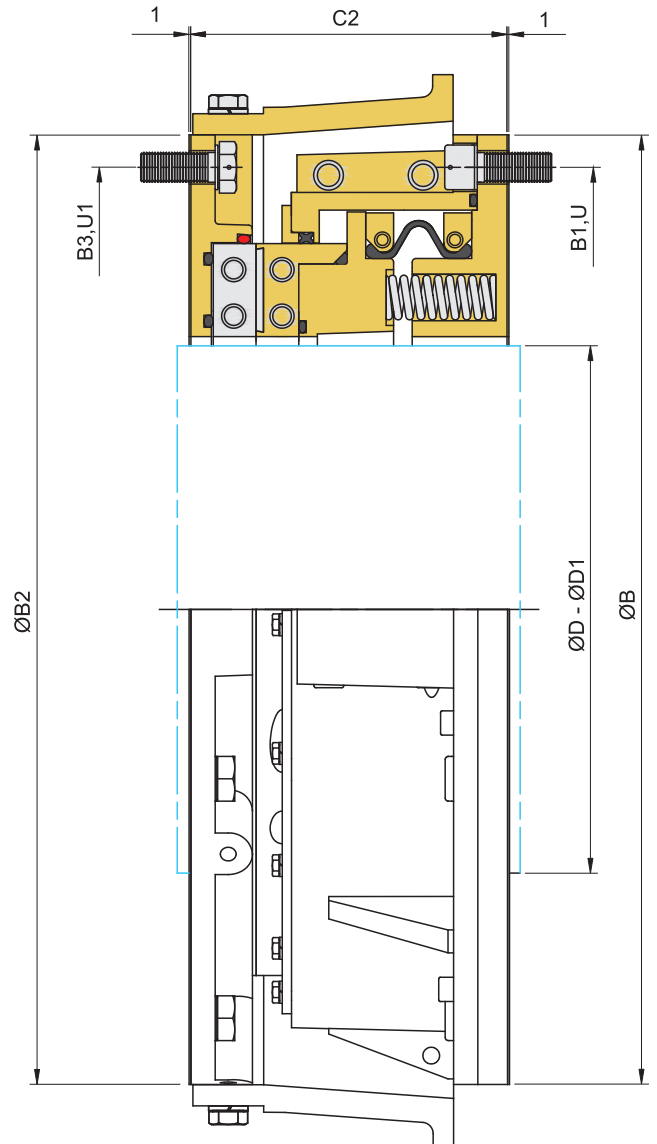
At scheduled maintenance, parts marked with (1) in the part list are replaced. This type of maintenance does not require removal of the propeller, propeller shaft or rudder.

The split design makes it possible to carry out emergency repairs in water.

| Size | D | - D1 | B, B2 | B1, B3 | C2 | U, U1 |
|------|-----|--------|-------|--------|-----|----------|
| 7 | 205 | - 228 | 442 | 414 | 170 | 8 x M12 |
| 8 | 229 | - 246 | 460 | 432 | 170 | 8 x M12 |
| 9 | 247 | - 264 | 478 | 450 | 170 | 8 x M12 |
| 10 | 265 | - 283 | 510 | 475 | 170 | 8 x M16 |
| 11 | 284 | - 302 | 530 | 495 | 170 | 8 x M16 |
| 12 | 303 | - 321 | 565 | 525 | 185 | 8 x M20 |
| 13 | 322 | - 339 | 580 | 540 | 185 | 8 x M20 |
| 14 | 340 | - 358 | 600 | 560 | 185 | 10 x M20 |
| 15 | 359 | - 377 | 620 | 580 | 185 | 10 x M20 |
| 16 | 378 | - 396 | 640 | 600 | 185 | 10 x M20 |
| 17 | 397 | - 415 | 655 | 615 | 185 | 10 x M20 |
| 18 | 416 | - 432 | 675 | 635 | 185 | 10 x M20 |
| 19 | 433 | - 451 | 695 | 655 | 185 | 10 x M20 |
| 20 | 452 | - 470 | 715 | 675 | 190 | 12 x M20 |
| 21 | 471 | - 491 | 735 | 695 | 190 | 12 x M20 |
| 22 | 492 | - 510 | 755 | 715 | 190 | 12 x M20 |
| 23 | 511 | - 535 | 780 | 740 | 190 | 12 x M20 |
| 24 | 536 | - 554 | 800 | 760 | 190 | 12 x M20 |
| 25 | 555 | - 573 | 820 | 780 | 190 | 12 x M20 |
| 26 | 574 | - 592 | 840 | 800 | 195 | 12 x M20 |
| 27 | 593 | - 611 | 860 | 820 | 195 | 12 x M20 |
| 28 | 612 | - 630 | 875 | 835 | 195 | 12 x M20 |
| 29 | 631 | - 649 | 895 | 855 | 195 | 12 x M20 |
| 30 | 650 | - 668 | 915 | 875 | 195 | 12 x M20 |
| 31 | 669 | - 687 | 935 | 895 | 195 | 16 x M20 |
| 32 | 688 | - 706 | 955 | 915 | 195 | 16 x M20 |
| 33 | 707 | - 734 | 1010 | 970 | -- | 16 x M20 |
| 34 | 735 | - 764 | 1060 | 1015 | -- | 16 x M24 |
| 35 | 765 | - 794 | 1090 | 1045 | -- | 16 x M24 |
| 36 | 795 | - 824 | 1120 | 1075 | -- | 16 x M24 |
| 37 | 825 | - 854 | 1150 | 1105 | -- | 16 x M24 |
| 38 | 855 | - 884 | 1180 | 1135 | -- | 16 x M24 |
| 39 | 885 | - 914 | 1210 | 1165 | -- | 16 x M24 |
| 40 | 915 | - 944 | 1240 | 1195 | -- | 18 x M24 |
| 41 | 945 | - 974 | 1270 | 1225 | -- | 18 x M24 |
| 42 | 975 | - 1004 | 1300 | 1255 | -- | 18 x M24 |

Notes

Dimension table above represents basic version of SeaQual. Rotor housing is available in various executions adapted to specific propeller types. If fastening configuration or build in measure does not apply, contact Cedervall in Sweden for consultation.

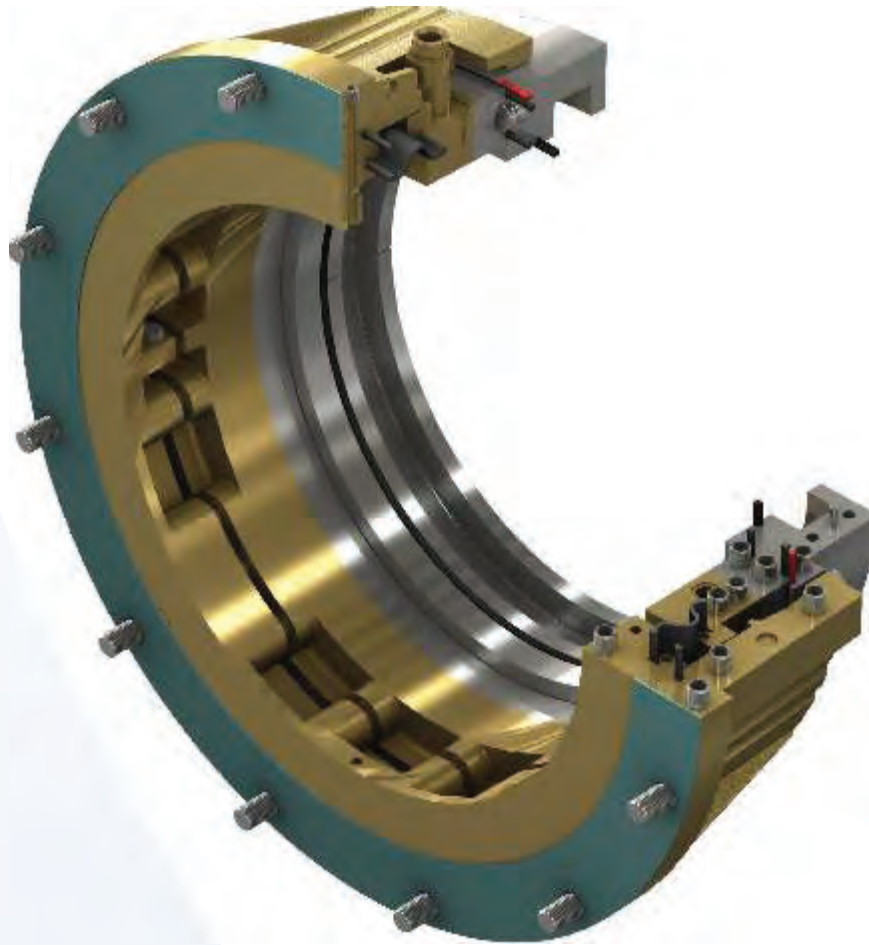


Partlist

| | | |
|----|-------------------------|-----------------------|
| 1 | Stator housing | Red brass |
| 2 | Bellows gland | Red brass |
| 3 | Bellows gland | Red brass |
| 4 | Support ring | Red brass |
| 5 | Stator (1) | Red brass/white metal |
| 6 | Rotor (1) | Acid proof steel |
| 7 | Rotor housing | Red brass |
| 8 | Stator cover | Red brass |
| 9 | Packing ring | Red brass |
| 10 | Inner rope guard (2) | Red brass |
| 11 | Screw / Lock washer (2) | Acid proof steel |
| 12 | Gasket | Fibre glass |
| 13 | Screw, flange | Acid proof steel |
| 14 | Gasket | Fibre glass |
| 15 | Screw, flange | Acid proof steel |
| 16 | Pressure spring (1) | Acid proof steel |
| 17 | Bellows (1) | Vamac |
| 18 | X-ring (1) | Nitrile rubber |
| 19 | O-ring (1) | Nitrile rubber |
| 20 | O-ring (1) | Nitrile rubber |
| 21 | O-ring (1) | Silicone rubber |
| 22 | O-ring (1) | Nitrile rubber |
| 23 | Wear down gauge | |

We reserve the right to change dimensions without prior notice.
Notes: (1) Spare part. (2) Optional item

SQF split oil lubricated forward sterntube seal



General

The SQF forward seal is a split oil lubricated face seal for propeller shafts. The face seal principle offers a durable solution, suitable for the harsh working conditions of propeller shaft seals.

Execution

SQF is available in two versions split and retrofit version for shaft diameters ranging from 205 to 1200 mm. Both versions comply with requirements for 15 years propeller shaft survey. The exploded view on next page represents the retrofit version where all parts are split to enable installation without removal of the propeller, propeller shaft or rudder. In the split version parts 1 and 7 are manufactured undivided. Materials for SeaQual are selected to achieve maximum performance throughout the entire life of the vessel.

Optional items

SQF is equipped with a standard PT-100 sensor for monitoring of the operating temperature.

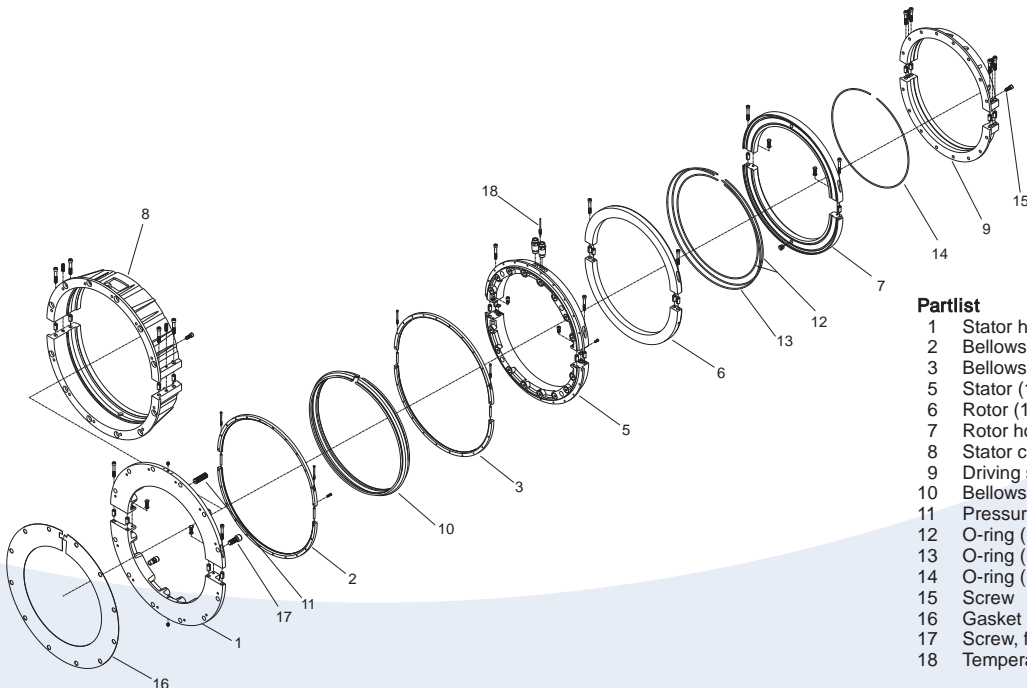
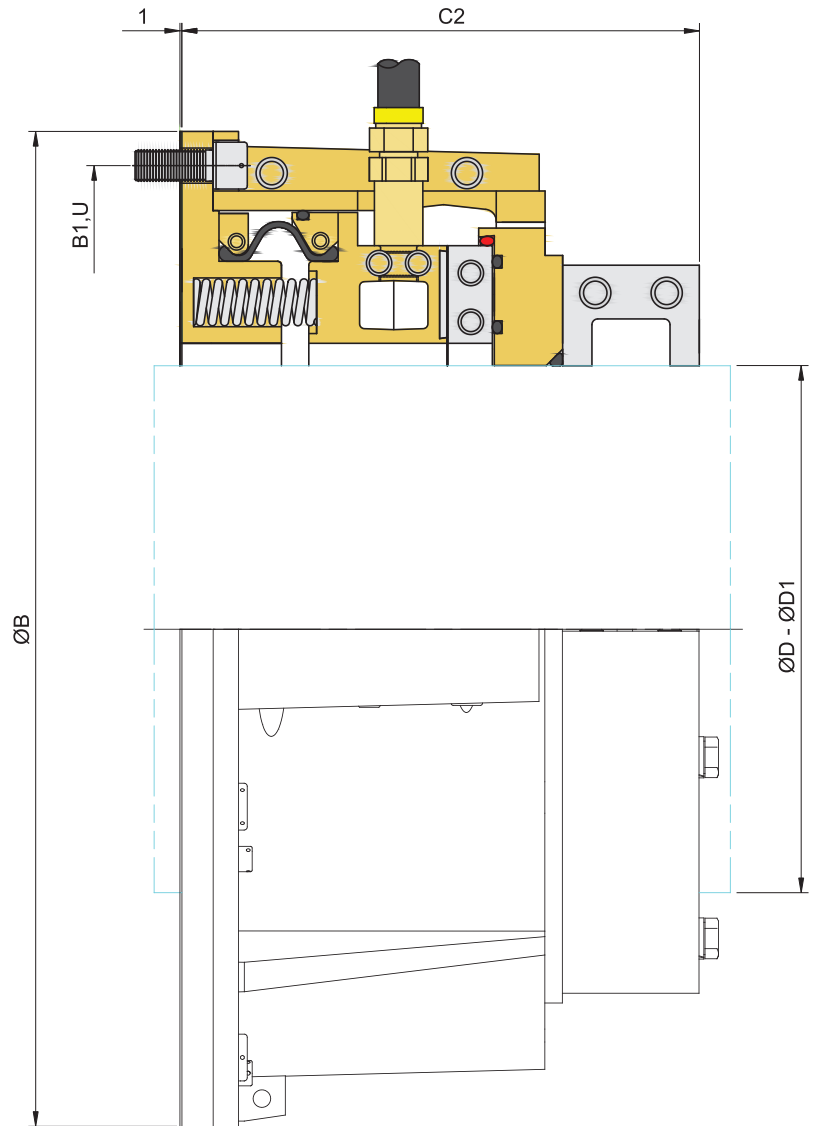
Standard ratings

| | |
|------------------------|--------------------------|
| Shaft diameter: | 205-1004 mm |
| Periphery speed: | max 10 m/s |
| Lubricant: | oil (see recommendation) |
| Oil pressure: | max 2.5 Bar |
| Operating temperature: | -5 °C to 65 °C |
| Shaft elongation: | max 10 mm |
| Cooling: | coolant Water |
| Pressure: | max 5 Bar |
| Flow: | min 20 l/min |
| Inlet temperature: | max 38°C |

Maintenance

SeaQual is designed for maintenance intervals of five years, which represents a normal period between docking. At scheduled maintenance, parts marked with (1) in the part list are replaced. This type of maintenance does not require removal of the propeller, propeller shaft or rudder.

| Size | D | - | D1 | B | B | C2 | U |
|------|-----|---|------|------|------|-----|----------|
| 7 | 205 | - | 228 | 442 | 414 | 261 | 8 x M12 |
| 8 | 229 | - | 246 | 460 | 432 | 261 | 8 x M12 |
| 9 | 247 | - | 264 | 478 | 450 | 261 | 8 x M12 |
| 10 | 265 | - | 283 | 510 | 475 | 261 | 8 x M16 |
| 11 | 284 | - | 302 | 530 | 495 | 261 | 8 x M16 |
| 12 | 303 | - | 321 | 565 | 525 | 268 | 8 x M20 |
| 13 | 322 | - | 339 | 580 | 540 | 268 | 8 x M20 |
| 14 | 340 | - | 358 | 600 | 560 | 268 | 10 x M20 |
| 15 | 359 | - | 377 | 620 | 580 | 268 | 10 x M20 |
| 16 | 378 | - | 396 | 640 | 600 | 268 | 10 x M20 |
| 17 | 397 | - | 415 | 655 | 615 | 268 | 10 x M20 |
| 18 | 416 | - | 432 | 675 | 635 | 268 | 10 x M20 |
| 19 | 433 | - | 451 | 695 | 655 | 268 | 10 x M20 |
| 20 | 452 | - | 470 | 715 | 675 | 272 | 12 x M20 |
| 21 | 471 | - | 491 | 735 | 695 | 272 | 12 x M20 |
| 22 | 492 | - | 510 | 755 | 715 | 272 | 12 x M20 |
| 23 | 511 | - | 535 | 780 | 740 | 272 | 12 x M20 |
| 24 | 536 | - | 554 | 800 | 760 | 272 | 12 x M20 |
| 25 | 555 | - | 573 | 820 | 780 | 272 | 12 x M20 |
| 26 | 574 | - | 592 | 840 | 800 | 277 | 12 x M20 |
| 27 | 593 | - | 611 | 860 | 820 | 277 | 12 x M20 |
| 28 | 612 | - | 630 | 875 | 835 | 277 | 12 x M20 |
| 29 | 631 | - | 649 | 895 | 855 | 277 | 12 x M20 |
| 30 | 650 | - | 668 | 915 | 875 | 277 | 12 x M20 |
| 31 | 669 | - | 687 | 935 | 895 | 277 | 16 x M20 |
| 32 | 688 | - | 706 | 955 | 915 | 277 | 16 x M20 |
| 33 | 707 | - | 734 | 1010 | 970 | -- | 16 x M20 |
| 34 | 735 | - | 764 | 1060 | 1015 | -- | 16 x M24 |
| 35 | 765 | - | 794 | 1090 | 1045 | -- | 16 x M24 |
| 36 | 795 | - | 824 | 1120 | 1075 | -- | 16 x M24 |
| 37 | 825 | - | 854 | 1150 | 1105 | -- | 16 x M24 |
| 38 | 855 | - | 884 | 1180 | 1135 | -- | 16 x M24 |
| 39 | 885 | - | 914 | 1210 | 1165 | -- | 16 x M24 |
| 40 | 915 | - | 944 | 1240 | 1195 | -- | 18 x M24 |
| 41 | 945 | - | 974 | 1270 | 1225 | -- | 18 x M24 |
| 42 | 975 | - | 1004 | 1300 | 1255 | -- | 18 x M24 |

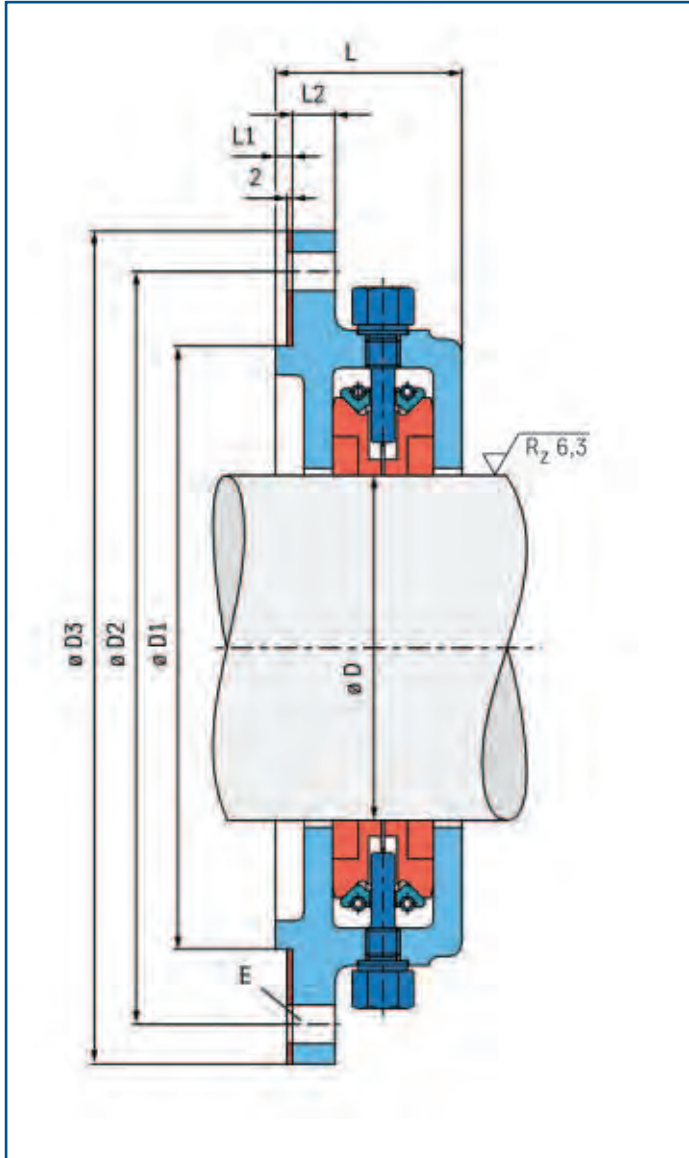


Partlist

| | | |
|----|---------------------|-------------------------|
| 1 | Stator housing | Red brass |
| 2 | Bellows gland | Red brass |
| 3 | Bellows gland | Red brass |
| 4 | Stator (1) | Red brass / White metal |
| 5 | Rotor (1) | Cast iron |
| 6 | Rotor housing | Red brass |
| 7 | Stator cover | Red brass |
| 8 | Driving strap | Red brass |
| 9 | Bellows (1) | Nitrile rubber |
| 10 | Pressure spring (1) | Acid proof steel |
| 11 | O-ring (1) | Nitrile rubber |
| 12 | O-ring (1) | Nitrile rubber |
| 13 | O-ring (1) | Nitrile rubber |
| 14 | O-ring (1) | Nitrile rubber |
| 15 | Screw | Steel |
| 16 | Gasket | Fibre glass |
| 17 | Screw, flange | Acid proof steel |
| 18 | Temperature sensor | Steel |

We reserve the right to change dimensions without prior notice.
Notes: (1) Spare part.

CENTRAX Seal for Bulkhead Openings



Where bulkhead openings for shafts have to be sealed to protect adjoining spaces against flooding, the Centrax bulkhead seal offers the optimum solution. An axially split housing made of aluminium is mounted on the bulkhead opening.

Two garter springs and a segmented thrust ring ensure proper contact of the sealing faces on the shaft and on the housing sides.

Radial and axial shaft movements are taken up by the Centrax bulkhead seal without any problem. There is practically no wear owing to the very good self-lubricating property of the carbon rings. Aside from the standard design shown, special designs with greater radial and/or angular movement are available.

The Centrax bulkhead seal is a well proven product, in service with merchant and naval shipping.

| Size | Shaft- ϕ D | D1 | D2 | D3 | E | L | L1 | L2 |
|------|--------------------|-----|------|------|----------|-----|----|----|
| 60 | 50 - 60 | 130 | 175 | 200 | 8 x M8 | 62 | | 13 |
| 70 | 61 - 70 | 140 | 185 | 210 | | | | |
| 80 | 71 - 80 | 150 | 195 | 220 | | | | |
| 90 | 81 - 90 | 160 | 205 | 230 | | | | |
| 100 | 91 - 100 | 170 | 215 | 240 | | | | |
| 120 | 101 - 120 | 210 | 262 | 290 | 8 x M12 | 65 | 6 | 15 |
| 140 | 121 - 140 | 230 | 282 | 310 | | | | |
| 160 | 141 - 160 | 250 | 302 | 330 | | | | |
| 180 | 161 - 180 | 270 | 322 | 350 | | | | |
| 200 | 181 - 200 | 290 | 342 | 370 | | | | |
| 220 | 201 - 220 | 325 | 390 | 430 | 12 x M16 | 79 | | 20 |
| 240 | 221 - 240 | 345 | 410 | 450 | | | | |
| 260 | 241 - 260 | 365 | 430 | 470 | | | | |
| 280 | 261 - 280 | 385 | 450 | 490 | | | | |
| 300 | 281 - 300 | 405 | 470 | 510 | | | | |
| 320 | 301 - 320 | 425 | 490 | 530 | | | | |
| 340 | 321 - 340 | 445 | 510 | 550 | | | | |
| 360 | 341 - 360 | 480 | 560 | 610 | 12 x M20 | 86 | | 23 |
| 380 | 361 - 380 | 500 | 580 | 630 | | | | |
| 400 | 381 - 400 | 520 | 600 | 650 | | | | |
| 420 | 401 - 420 | 540 | 620 | 670 | | | | |
| 440 | 421 - 440 | 560 | 640 | 690 | | | | |
| 460 | 441 - 460 | 580 | 660 | 710 | | | | |
| 480 | 461 - 480 | 600 | 680 | 730 | | | | |
| 500 | 481 - 500 | 620 | 700 | 750 | 16 x M20 | 93 | 8 | 27 |
| 520 | 501 - 520 | 640 | 725 | 775 | | | | |
| 540 | 521 - 540 | 660 | 745 | 795 | | | | |
| 560 | 541 - 560 | 680 | 765 | 815 | | | | |
| 580 | 561 - 580 | 700 | 785 | 835 | | | | |
| 600 | 581 - 600 | 720 | 805 | 855 | | | | |
| 620 | 601 - 620 | 740 | 825 | 875 | | | | |
| 640 | 621 - 640 | 760 | 845 | 895 | 16 x M24 | 103 | | 33 |
| 660 | 641 - 660 | 790 | 885 | 945 | | | | |
| 680 | 661 - 680 | 810 | 905 | 965 | | | | |
| 700 | 681 - 700 | 830 | 925 | 985 | | | | |
| 720 | 701 - 720 | 850 | 945 | 1005 | | | | |
| 740 | 721 - 740 | 870 | 965 | 1025 | | | | |
| 760 | 741 - 760 | 890 | 985 | 1045 | | | | |
| 780 | 761 - 780 | 910 | 1005 | 1065 | | | | |
| 800 | 781 - 800 | 930 | 1025 | 1085 | | | | |

segmentos final 2.dtb.txt

DT BEAM version 1.0

Datos Obtenidos con el software

Comments:

=====

cargas por segmentos
con unidades de elasticidad y densidad corregidas
el apoyo de la helice esta a 1/3 del cojinete

Units:

=====

System = User Defined
Length = mm
Force = kN
Deflection = mm
Rotation = rad

Span Properties:

=====

Length = [mm] Area = [mm²] Inertia = [mm⁴]
Elasticity = [kN/mm²] Density = [kN/mm³]

Number of beam spans = 6

| Span | Length | Area | Inertia | Elasticity | Density |
|--------------|--------|-----------|--------------|------------|---------|
| 1 | 674 | 109955.74 | 2256841622.5 | 206 | |
| 0.0000000785 | | | | | |
| 2 | 8926 | 98017.69 | 1825579491.0 | 206 | |
| 0.0000000785 | | | | | |
| 3 | 6520 | 98017.69 | 1825579491.0 | 206 | |
| 0.0000000785 | | | | | |
| | 880 | 273240.02 | 12709076478. | 206 | |
| 0.0000000785 | | | | | |
| | 1000 | 98017.69 | 1825579491.0 | 206 | |
| 0.0000000785 | | | | | |
| 4 | 7265 | 98017.69 | 1825579491.0 | 206 | |
| 0.0000000785 | | | | | |
| 5 | 1000 | 70921.45 | 1015063312.5 | 206 | |
| 0.0000000785 | | | | | |
| | 770 | 202868.35 | 7163788454.2 | 206 | |
| 0.0000000785 | | | | | |
| | 3665 | 70921.45 | 1015063312.5 | 206 | |
| 0.0000000785 | | | | | |
| 6 | 6699 | 70921.45 | 1015063312.5 | 206 | |
| 0.0000000785 | | | | | |

Support Properties:

=====

kx = ky = [kN/mm] kz = [kN*mm/rad] Rotation = [rad]

| Sup | Type | Fix | Kx | Ky | Kz |
|----------|--------|-----|----|----|----|
| Rotation | | | | | |
| 1 | Free | | | | |
| 2 | Pinned | xy | | | |
| 3 | Pinned | xy | | | |
| 4 | Pinned | xy | | | |

segmentos final 2.dtb.txt

5 Pinned xy
6 Pinned xy
7 Fixed xyz

Apply span self weight to the following spans:

=====
All spans

Concentrated Point Loads on Spans:

=====
P = [kN] or [kN*mm] a = [mm]

| Span | P | a | Dir |
|------|----|---|-----|
| 1 | 71 | 0 | -Y |

RESULTS OF ANALYSIS

Force = [kN] or [kN*mm]
Displacement = [mm] or [rad]
Location = [mm]

SUPPORT JOINT REACTIONS (in direction of rotated joint axes)

=====

| | JOINT | X-REACTION | Y-REACTION |
|--------------|-------|------------|------------|
| Z-MOMENT | | | |
| 0.00000 | 1 | 0.00000 | 0.00000 |
| 0.00000 | 2 | 0.00000 | 110.91106 |
| 0.00000 | 3 | 0.00000 | 69.50400 |
| 0.00000 | 4 | 0.00000 | 73.28191 |
| 0.00000 | 5 | 0.00000 | 46.35127 |
| 0.00000 | 6 | 0.00000 | 34.22748 |
| 0.00000 | 7 | 0.00000 | 19.38856 |
| -22474.40501 | | | |

MEMBER INTERNAL FORCES (at even intervals along span length)

=====

| | SPAN 1 | AXIAL | SHEAR |
|--------------|--------|---------|-----------|
| MOMENT | | | |
| 0.00000 | 0 | 0.00000 | 0.00000 |
| -4805.00547 | 1 | 0.00000 | -71.58176 |
| -9649.22190 | 2 | 0.00000 | -72.16353 |
| -14532.64927 | 3 | 0.00000 | -72.74529 |
| -19455.28759 | 4 | 0.00000 | -73.32706 |

segmentos final 2.dtb.txt

| | | | |
|--------------|----|---------|-----------|
| -24417.13686 | 5 | 0.00000 | -73.90882 |
| -29418.19709 | 6 | 0.00000 | -74.49059 |
| -34458.46826 | 7 | 0.00000 | -75.07235 |
| -39537.95037 | 8 | 0.00000 | -75.65412 |
| -44656.64344 | 9 | 0.00000 | -76.23588 |
| -49814.54746 | 10 | 0.00000 | -76.81765 |
| SPAN 2 | | | |
| -49814.54746 | 0 | 0.00000 | 34.09341 |
| -22447.96484 | 1 | 0.00000 | 27.22540 |
| -1211.76913 | 2 | 0.00000 | 20.35739 |
| 13894.03967 | 3 | 0.00000 | 13.48937 |
| 22869.46156 | 4 | 0.00000 | 6.62136 |
| 25714.49656 | 5 | 0.00000 | -0.24665 |
| 22429.14464 | 6 | 0.00000 | -7.11466 |
| 13013.40582 | 7 | 0.00000 | -13.98267 |
| -2532.71991 | 8 | 0.00000 | -20.85068 |
| -24209.23255 | 9 | 0.00000 | -27.71869 |
| -52016.13209 | 10 | 0.00000 | -34.58671 |
| SPAN 3 | | | |
| -52016.13209 | 0 | 0.00000 | 34.91729 |
| -25400.18492 | 1 | 0.00000 | 28.45401 |
| -4213.39839 | 2 | 0.00000 | 21.99072 |
| 11544.22749 | 3 | 0.00000 | 15.52744 |
| 21872.69273 | 4 | 0.00000 | 9.06415 |
| 26771.99734 | 5 | 0.00000 | 2.60086 |
| 26242.14129 | 6 | 0.00000 | -3.86242 |
| 20283.12461 | 7 | 0.00000 | -10.32571 |
| 8619.84823 | 8 | 0.00000 | -19.53999 |
| -15185.00582 | 9 | 0.00000 | -35.35664 |
| -47599.16561 | 10 | 0.00000 | -41.81993 |
| SPAN 4 | | | |
| -47599.16561 | 0 | 0.00000 | 31.46198 |
| -26772.59524 | 1 | 0.00000 | 25.87201 |
| -10007.14052 | 2 | 0.00000 | 20.28203 |
| 2697.19855 | 3 | 0.00000 | 14.69206 |
| | 4 | 0.00000 | 9.10209 |

segmentos final 2.dtb.txt

| | | | |
|--------------|----|---------|-----------|
| 11340.42197 | | | |
| | 5 | 0.00000 | 3.51211 |
| 15922.52974 | | | |
| | 6 | 0.00000 | -2.07786 |
| 16443.52186 | | | |
| | 7 | 0.00000 | -7.66783 |
| 12903.39833 | | | |
| | 8 | 0.00000 | -13.25781 |
| 5302.15915 | | | |
| | 9 | 0.00000 | -18.84778 |
| -6360.19568 | | | |
| | 10 | 0.00000 | -24.43775 |
| -22083.66616 | | | |
| SPAN | 5 | | |
| | 0 | 0.00000 | 21.91352 |
| -22083.66616 | | | |
| | 1 | 0.00000 | 18.88767 |
| -10995.94151 | | | |
| | 2 | 0.00000 | 14.96070 |
| -1591.96335 | | | |
| | 3 | 0.00000 | 6.30537 |
| 4187.09028 | | | |
| | 4 | 0.00000 | 1.83461 |
| 6107.25536 | | | |
| | 5 | 0.00000 | -1.19124 |
| 6282.09019 | | | |
| | 6 | 0.00000 | -4.21709 |
| 4812.37775 | | | |
| | 7 | 0.00000 | -7.24293 |
| 1698.11805 | | | |
| | 8 | 0.00000 | -10.26878 |
| -3060.68892 | | | |
| | 9 | 0.00000 | -13.29462 |
| -9464.04316 | | | |
| | 10 | 0.00000 | -16.32047 |
| -17511.94465 | | | |
| SPAN | 6 | | |
| | 0 | 0.00000 | 17.90701 |
| -17511.94465 | | | |
| | 1 | 0.00000 | 14.17745 |
| -6765.25485 | | | |
| | 2 | 0.00000 | 10.44789 |
| 1483.00477 | | | |
| | 3 | 0.00000 | 6.71834 |
| 7232.83420 | | | |
| | 4 | 0.00000 | 2.98878 |
| 10484.23345 | | | |
| | 5 | 0.00000 | -0.74078 |
| 11237.20251 | | | |
| | 6 | 0.00000 | -4.47033 |
| 9491.74138 | | | |
| | 7 | 0.00000 | -8.19989 |
| 5247.85006 | | | |
| | 8 | 0.00000 | -11.92945 |
| -1494.47144 | | | |
| | 9 | 0.00000 | -15.65900 |
| -10735.22313 | | | |
| | 10 | 0.00000 | -19.38856 |
| -22474.40501 | | | |

SUPPORT JOINT DISPLACEMENTS (in direction of rotated joint axes)

| Z-ROTATION | JOINT | X-DISPLACEMENT | Y-DISPLACEMENT |
|------------|-------|----------------|----------------|
| | 1 | 0.000000000 | -0.011760939 |

segmentos final 2.dtb.txt

| | | | |
|--------------|---|-------------|-------------|
| 0.000029249 | 2 | 0.000000000 | 0.000000000 |
| -0.000006386 | 3 | 0.000000000 | 0.000000000 |
| -0.000002323 | 4 | 0.000000000 | 0.000000000 |
| 0.000050724 | 5 | 0.000000000 | 0.000000000 |
| 0.000031429 | 6 | 0.000000000 | 0.000000000 |
| -0.000026497 | 7 | 0.000000000 | 0.000000000 |
| 0.000000000 | | | |

MEMBER DISPLACEMENTS (at even intervals along span length)

| SPAN | | X-DISPLACEMENT | Y-DISPLACEMENT |
|--------------|----|----------------|----------------|
| Z-ROTATION | | | |
| SPAN 1 | 0 | 0.000000000 | -0.011760939 |
| 0.000029249 | 1 | 0.000000000 | -0.009797365 |
| 0.000028901 | 2 | 0.000000000 | -0.007880775 |
| 0.000027854 | 3 | 0.000000000 | -0.006058501 |
| 0.000026101 | 4 | 0.000000000 | -0.004378262 |
| 0.000023638 | 5 | 0.000000000 | -0.002888158 |
| 0.000020459 | 6 | 0.000000000 | -0.001636673 |
| 0.000016557 | 7 | 0.000000000 | -0.000672673 |
| 0.000011927 | 8 | 0.000000000 | -0.000045408 |
| 0.000006564 | 9 | 0.000000000 | 0.000195488 |
| 0.000000461 | 10 | 0.000000000 | 0.000000000 |
| -0.000006386 | | | |
| SPAN 2 | 0 | 0.000000000 | 0.000000000 |
| -0.000006386 | 1 | 0.000000000 | -0.048264505 |
| -0.000090931 | 2 | 0.000000000 | -0.145169233 |
| -0.000117797 | 3 | 0.000000000 | -0.245723508 |
| -0.000101534 | 4 | 0.000000000 | -0.317924398 |
| -0.000056692 | 5 | 0.000000000 | -0.342756712 |
| 0.000002177 | 6 | 0.000000000 | -0.314193003 |
| 0.000060524 | 7 | 0.000000000 | -0.239193568 |
| 0.000103798 | 8 | 0.000000000 | -0.137706444 |
| 0.000117449 | 9 | 0.000000000 | -0.042667413 |
| 0.000086925 | 10 | 0.000000000 | 0.000000000 |
| -0.000002323 | | | |
| SPAN 3 | 0 | 0.000000000 | 0.000000000 |
| -0.000002323 | | | |

segmentos final 2.dtb.txt

| | | | |
|--------------|----|-------------|--------------|
| -0.000087772 | 1 | 0.000000000 | -0.042001163 |
| -0.000119834 | 2 | 0.000000000 | -0.132508283 |
| -0.000110636 | 3 | 0.000000000 | -0.231769662 |
| -0.000072305 | 4 | 0.000000000 | -0.310220061 |
| -0.000016968 | 5 | 0.000000000 | -0.348480701 |
| 0.000043250 | 6 | 0.000000000 | -0.337359265 |
| 0.000096221 | 7 | 0.000000000 | -0.277849894 |
| 0.000125018 | 8 | 0.000000000 | -0.181637084 |
| 0.000119831 | 9 | 0.000000000 | -0.076701179 |
| 0.000050724 | 10 | 0.000000000 | 0.000000000 |
| SPAN 4 | 0 | 0.000000000 | 0.000000000 |
| 0.000050724 | 1 | 0.000000000 | 0.008557758 |
| -0.000020459 | 2 | 0.000000000 | -0.020934002 |
| -0.000055331 | 3 | 0.000000000 | -0.064945458 |
| -0.000061738 | 4 | 0.000000000 | -0.105646448 |
| -0.000047526 | 5 | 0.000000000 | -0.130906462 |
| -0.000020538 | 6 | 0.000000000 | -0.134294647 |
| 0.000011378 | 7 | 0.000000000 | -0.115079807 |
| 0.000040379 | 8 | 0.000000000 | -0.078230400 |
| 0.000058618 | 9 | 0.000000000 | -0.034414541 |
| 0.000058249 | 10 | 0.000000000 | 0.000000000 |
| SPAN 5 | 0 | 0.000000000 | 0.000000000 |
| 0.000031429 | 1 | 0.000000000 | 0.004190511 |
| -0.000011205 | 2 | 0.000000000 | -0.007307584 |
| -0.000026355 | 3 | 0.000000000 | -0.021558606 |
| -0.000025732 | 4 | 0.000000000 | -0.033238021 |
| -0.000014509 | 5 | 0.000000000 | -0.036671875 |
| 0.000001949 | 6 | 0.000000000 | -0.031424848 |
| 0.000016723 | 7 | 0.000000000 | -0.019573150 |
| 0.000025540 | 8 | 0.000000000 | -0.005516182 |
| 0.000024126 | 9 | 0.000000000 | 0.004023463 |
| 0.000008205 | 10 | 0.000000000 | 0.000000000 |
| SPAN 6 | 0 | 0.000000000 | 0.000000000 |

segmentos final 2.dtb.txt

| | | | |
|--------------|----|-------------|--------------|
| -0.000026497 | 1 | 0.000000000 | -0.032474484 |
| -0.000064718 | 2 | 0.000000000 | -0.079915037 |
| -0.000072512 | 3 | 0.000000000 | -0.124619676 |
| -0.000057884 | 4 | 0.000000000 | -0.154248419 |
| -0.000028837 | 5 | 0.000000000 | -0.161823281 |
| 0.000006624 | 6 | 0.000000000 | -0.145728280 |
| 0.000040496 | 7 | 0.000000000 | -0.109709434 |
| 0.000064773 | 8 | 0.000000000 | -0.062874761 |
| 0.000071453 | 9 | 0.000000000 | -0.019694276 |
| 0.000052530 | 10 | 0.000000000 | 0.000000000 |
| 0.000000000 | | | |

MAXIMUM / MINIMUM SPAN SHEARS

| SPAN | MAX SHEAR | LOCATION | MIN SHEAR |
|------------|-----------|----------|-----------|
| LOCATION 1 | 0.00000 | 0.0000 | -76.81765 |
| 674.0000 | 34.09341 | 0.0000 | -34.58671 |
| 8926.0000 | 34.91729 | 0.0000 | -41.81993 |
| 8400.0000 | 31.46198 | 0.0000 | -24.43775 |
| 7265.0000 | 21.91352 | 0.0000 | -16.32047 |
| 5435.0000 | 17.90701 | 0.0000 | -19.38856 |
| 6699.0000 | | | |

MAXIMUM / MINIMUM SPAN MOMENTS

| SPAN | MAX MOMENT | LOCATION | MIN MOMENT |
|------------|-------------|-----------|--------------|
| LOCATION 1 | 0.00000 | 0.0000 | -49814.54746 |
| 674.0000 | 25718.44353 | 4432.2207 | -52016.13209 |
| 8926.0000 | 27211.50199 | 4542.2222 | -52016.13209 |
| 0.0000 | 16724.06180 | 4086.5625 | -47599.16561 |
| 0.0000 | 6409.51575 | 2506.1389 | -22083.66616 |
| 0.0000 | 11286.13269 | 3227.7000 | -22474.40501 |
| 6699.0000 | | | |

MAXIMUM / MINIMUM VERTICAL SPAN DEFLECTIONS

| SPAN | MAX DEFLECTION | LOCATION | MIN DEFLECTION |
|------------|----------------|----------|----------------|
| LOCATION 1 | 0.000195488 | 606.6000 | -0.011760939 |
| 0.0000 | | | |

| | | segmentos | final | 2.dtb.txt | |
|-----------|---|-------------|-----------|-----------|--------------|
| 4432.2207 | 2 | 0.000006417 | 8895.2207 | | -0.342791335 |
| 4448.8889 | 3 | 0.000000000 | 0.0000 | | -0.350484323 |
| 4086.5625 | 4 | 0.011259050 | 484.3333 | | -0.135757963 |
| 2657.1111 | 5 | 0.005266827 | 362.3333 | | -0.036734569 |
| 3227.7000 | 6 | 0.000000000 | 0.0000 | | -0.162230666 |

